

# Rapport Thématique

RECENSEMENT GENERAL DE LA POPULATION  
ET DE L'HABITAT 2021

**TOME 5**



# MORTALITÉ



## EQUIPE DE RÉDACTION

### COORDINATION GÉNÉRALE

#### **Thiékoro DOUMBIA**

Directeur Général de l'Agence Nationale  
de la Statistique (ANStat)

### COORDINATION TECHNIQUE

#### **TOURE Brahma**

Démographe, Coordonnateur de  
l'Équipe Technique de Finalisation (ETF)  
du RGPH 2021

#### **KOUMA MADASSA**

Coordonnateur Technique Adjoint  
chargé des Activités Techniques

### ANALYSTES - RÉDACTEURS

#### **DJENI Koleti Clément**

Démographe

#### **EHOUMAN N'Dry Firmin**

Démographe

### ENCADREUR - LECTEUR

#### **ABBAS Sanoussi**

Ingénieur Statisticien Démographe Général

## ACTEURS DE MISE EN ŒUVRE DU RGPH 2021

### COORDINATION OPERATIONNELLE

NOM ET PRÉNOMS	FONCTIONS SUR LE PROJET
Mme NIALE KABA	Ministre de l'Economie, du Plan et du Développement (MEPD)
THIEKORO DOUMBIA	Directeur Général de l'Agence Nationale de la Statistique (ANSTAT)
KOUMA MADASSA	Ingénieur Statisticien Economiste, Conseiller Technique du MEPD
YAO KOFFI EDMOND	Démographe, Directeur des Statistiques Dermographiques et Sociales

### BUREAU TECHNIQUE PERMANENT DU RECENSEMENT

NOM ET PRÉNOMS	FONCTIONS SUR LE PROJET	UNITÉS
Feu SIRIKI ZANGA COULIBALY	coordonnateur Technique	SECRÉTARIAT DU BTPR
AKA DORÉ DÉSIRÉ EMMANUEL	Chef de la Cellule Collecte	
AMY epse ZONGO	Assistante du Coordination Technique	
AKA EHUI ADUA	Assistante de Direction	
GOHO GNONSIAH MÉLAINE PRISCA	Assistante de Direction	
KOUAKOU KONAN JACQUES	Chauffeur	
YOMI JUSLAIN	Chauffeur	
GOUN ANDERSON	Chauffeur	
BAKAYOKO MASSOMA	Chef d'unité	
TOURE BRAHIMA	Chef de la Cellule Collecte	
GNANZOU KOUTOUA N'GUETHAS S.	Chef de la Cellule centralisation	UNITÉ COLLECTE ET CENTRALISATION
ASSI YAPO	Membre de la Cellule Collecte	
KOUAKOU KOFFI SÉVÉRIN	Membre de la Cellule Collecte	
KOCHOU ASSI SALOMON	Membre de la Cellule Centralisation	
DAGO AIMÉ	Membre de la Cellule Centralisation	
DEZA AKOISSO DORIA	Chef d'unité	
KRA KÔ FIE DIDIER LAURENT	Chef de la Cellule Exploitation	
KOUAKOU AMOIN BERTHE	Chef de la Cellule Publication et Dissémination	
KAKOU NIANMININ MARTIN	Membre de la Cellule Exploitation	
KOFFI MIAN ROSELIN NADÈGE	Membre de la Cellule Exploitation	
SEMOM N'GORAN	Membre de la Cellule Publication et Dissémination	UNITÉ ANALYSE ET PUBLICATION
ABOU TANONTCHI HENRI	Membre de la Cellule Publication et Dissémination	
KOUASSI BRUNO MICHEL	Chef d'unité	
AKADIE DOMINIQUE Epse TAPE	Chef de la Cellule Cartographie Numérique	
AMAN Epse N'GUESSAN A. Hortanse	Chef de la Cellule Cartographie de Base	
DIE VILASCO	Membre de la Cellule Cartographie Numérique	
BABACAUH EPSE KOUYA ABENAN	Membre de la Cellule Cartographie Numérique	
AKPA JUSTIN	Membre de la Cellule Cartographie de Base	
ANOH ANZIAN EUGÈNE	Membre de la Cellule Cartographie de Base	
DIOMANDE SYNDOU	Chef d'unité	
KOUADIO YAO MARIUS	Chef de la cellule réseau, Sécurité Informatique	UNITÉ CARTOGRAPHIE
KOFFI AKPOTIKI CHARLES	Chef de la cellule Développement Informatique	
COULIBALY EPSE SEHI JOSEPHINE	Membre de la Cellule Réseau, Sécurité Informatique	
SEREBOU CONSTANT EVARISTE	Membre de la Cellule Réseau, Sécurité Informatique	
KEHOUA VALIO APPOLINAIRE	Membre de la Cellule Développement Informatique	
N'GBE ANGE ERIC	Membre de la Cellule Développement Informatique	UNITÉ INFORMATIQUE

NOM ET PRÉNOMS	FONCTIONS SUR LE PROJET	UNITÉS
KOUAKOU ARNAUD	Chef d'unité	UNITÉ BUDGET ET FINANCES
KONE FATOUMATA EPSE KOUMAN	Membre de la Cellule Finances	
DIALLO PELETIONRI MAMADOU	Membre de la Cellule Finances	
KABA MORY JUNIOR	Chef d'unité	UNITÉ LOGISTIQUE
BAMBA EPSE MEITE TOUMOUTOU	Chef de la Cellule Moyens Généraux	
CABA GAOUSSOU KAROU	Chef de la Cellule Logistique	
YESSO JULIEN	Membre de la Cellule Moyens Généraux	
N'GUESSAN APONU FRÉDÉRIC	Membre de la Cellule Moyens Généraux	
PESSON NESSEMON FIDÈLE	Membre de la Cellule Logistique	
Feu CAPRI Née TRAORE MASSANDJE	Chef d'unité	UNITÉ RESSOURCES HUMAINES ET DES AFFAIRES JURIDIQUES
MONNET Epse KOBENAN A. AGATHE	Chef de la cellule Ressources humaines	
DIAKITE MOHAMED VAKABA	Chef de la cellule Juridique	
KOLEYA OUNGOUANKEU JUSTIN	Membre de la Cellule Ressources Humaines	
DOGOU EPSE DOUDOU DÉSIRÉE	Membre de la Cellule Ressources Humaines	
COULIBALY ALIMATA EPSE DIGRE	Membre de la Cellule Ressources Humaines	
MIREILLE-RENEE TAHO Epse ZAGADOU	Chef d'unité	UNITÉ INFORMATION, SENSIBILISATION ET COMMUNICATION
KOUAHO AKOI ARSENE	Chef de la Cellule Communication et sensibilisation	
OUATTARA ABDOULAYE	Chef de la cellule Information et TIC	
ATSAIN N'CHO SERGE	Membre de la Cellule Communication et Sensibilisation	

## EQUIPE TECHNIQUE DE FINALISATION

NOM ET PRÉNOMS	FONCTION SUR LE PROJET	QUALITÉ
TOURE BRAHIMA	Responsable Technique	Démographe
ABDOUL KARIM TRAORE	Membre	Statisticien
DAGO AIME	Membre	Démographe
COULIBALY AMINATA S. BLANDINE	Membre	Statisticienne Economiste
KEHOUA VALIO APOLLINAIRE	Membre	Informaticien
KOUAKOU YAO KAN HIPPOLYTE	Membre	Statisticien
KAKOU NIAMININ MARTIN ROGER	Membre	Démographe
KOUASSI MICHEL BRUNO	Membre	Cartographe
DOMINIQUE AKADIE EPSE TAPE	Membre	Cartographe
ANNICK BABACAUH EPSE KOUYA	Membre	Cartographe
AMON CHRISTELLE ELODIE	Membre	Comptable
ADJABE EMMANUELLA FLORISE ADJARA	Membre	Comptable
FATOUMATA KONE EPSE KOUMAN	Membre	Comptable
OUATTARA ANGE EMMANUEL JORIS	Membre	Comptable
GOHO MELAINE PRISCA	Membre	Assistante
OUATTARA SEYDOU	Membre	Chauffeur

## EQUIPE D'APPUI TECHNIQUE INTERNATIONAL DU RECENSEMENT

NOM ET PRÉNOMS	FONCTIONS SUR LE PROJET
Feu LOTFI HARIKI	Conseiller technique principal UNFPA
Dr N'DA CONSTANT	Spécialiste Population et Développement UNFPA
Dr SADIA JEAN YVES TOUSSAINT	Expert Dividende Démographique
SAMSON LAMLENN	Expert UNFPA

**INFOGRAPHIE**

OTHNIEL CISSE  
ATSAIN N'CHO SERGE  
YAPI AMON RAFFARIN JUSTIN

**WEBMASTER**

IBO LANDRY ERIC JOEL



# SOMMAIRE

TITRE	PAGE
PRÉFACE	8 - 9
AVANT PROPOS	10
AVERTISSEMENT	11
SIGLES ET ABREVIATIONS	12
LISTE DES TABLEAUX	13 - 14
LISTE DES GRAPHIQUES, FIGURES ET CARTES	15
TABLEAU SYNOPTIQUE DES PRINCIPAUX INDICATEURS	16
INTRODUCTION	17
CHAPITRE I : CONTEXTE	18 - 23
1.1 Contexte géographique et socio-culturel	
1.2 Contexte démographique et socio-économique	
1.3 Contexte socio-sanitaire	
CHAPITRE II : ASPECTS MÉTHODOLOGIQUES	24 - 40
2.1 Définition des concepts opératoires et mesure du phénomène	
2.2 Données	
2.3 Évaluation de la qualité des données	
2.4 Conclusion sur l'évaluation des données	
2.5 Méthode d'analyse	
CHAPITRE III : MORTALITÉ GÉNÉRALE	42 - 54
3.1 Niveau et structure de la mortalité	
3.2. Evolution de la mortalité générale	
CHAPITRE IV : MORTALITÉ DES ENFANTS	56 - 68
4.1. Niveau et structure de la mortalité des enfants	
4.2. Évolution de la mortalité des enfants	
CHAPITRE V : MORTALITÉ MATERNELLE	70 - 74
5.1 Niveau de la mortalité maternelle	
5.2 Mortalité maternelle par milieu et région de résidence	
CONCLUSION GÉNÉRALE	75 - 76
RÉFÉRENCES BIBLIOGRAPHIQUES	77
TABLE DES MATIERES	78 - 79
ANNEXES	80 - 101

## PRÉFACE

Le Décret n°2018-656 du 1er août 2018 portant institution et organisation du Recensement Général de la Population et de l'Habitat (RGPH) en Côte d'Ivoire est la cinquième opération du genre, après ceux de 1975, 1988, 1998 et 2014. Il traduit la ferme volonté du Président de la République, **Son Excellence Monsieur Alassane OUATTARA**, et l'engagement du Gouvernement ivoirien à doter le pays de données sociodémographiques actualisées, exhaustives et fiables.

En effet, le RGPH est une opération d'envergure nationale qui permet entre autres, de déterminer au niveau géographique le plus fin (région, département, sous-préfecture, village et campement), le volume global de la population, sa répartition spatiale et ses caractéristiques sociodémographiques et économiques, ainsi que ses conditions de vie. Il permet donc d'établir le portrait statistique détaillé de la Côte d'Ivoire, indispensable à une prise de décision fondée sur des données fiables et actualisées. Les résultats obtenus servent, en outre, de socle au suivi-évaluation des plans cadres de développement tels que les Plans Nationaux de Développement (PND), des politiques sectorielles et des agendas internationaux, notamment les Objectifs de Développement Durable (ODD) des Nations Unies et l'Agenda 2063 de l'Union Africaine.

Le Conseil National du Recensement (CNR) présidé par le Ministre de l'Economie, du Plan et du Développement (MEPD), avec l'assistance technique et financière des partenaires au développement dont le Fonds des Nations Unies pour la Population (UNFPA), a coordonné la mise en œuvre du cinquième RGPH.

Au plan technique, l'Agence Nationale de la Statistique (ANStat), à travers le Bureau Technique Permanent du Recensement (BTPR), a relevé le défi de l'exhaustivité, de la simultanéité, de l'instantanéité, de l'intégrité et de la fiabilité des données du recensement. Cette opération s'est réalisée conformément aux normes des Nations-Unies et aux méthodologies en vigueur dans les recensements généraux de population du round 2020 (imprégnés des nouvelles technologies de l'information, avec l'utilisation des tablettes comme outils de collecte des données).

Le RGPH de 2021 s'est déroulé en cinq grandes phases, dont la phase de cartographie censitaire, qui a permis d'actualiser, en 2019, la liste des localités, et la phase de dénombrement, qui s'est réalisée du 1er au 30 novembre 2021. Après la réalisation de l'enquête post-censitaire et le traitement des données, les résultats globaux définitifs ont été publiés le 6 juillet 2022.

La production de rapports thématiques s'inscrit dans le cadre de l'exploitation des données du RGPH 2021 et a pour but d'approfondir la compréhension de certains sujets essentiels à la vie de la nation. Les thèmes abordés dans ces rapports sont les suivants :

- 1. État et structure de la population**
- 2. Migration**
- 3. État matrimonial et nuptialité**
- 4. Fécondité**
- 5. Mortalité**
- 6. Alphabétisation, niveau d'instruction et fréquentation scolaire**
- 7. Situation de l'emploi**
- 8. Situation socio-économique des enfants et des jeunes**
- 9. Statut socio-économique de la femme**
- 10. Situation socio-économique des personnes handicapées**
- 11. Situation socio-économique des personnes âgées**
- 12. Caractéristiques des ménages et conditions de vie des populations**
- 13. Urbanisation**
- 14. Mesure et cartographie du bien-être économique des ménages**
- 15. Caractéristiques des localités et équipements socio-économiques**

Ces quinze (15) rapports fournissent une analyse riche et diversifiée des réalités démographiques, économiques et sociales de la Côte d'Ivoire. Ils permettent de mieux comprendre les dynamiques qui façonnent la structure de la population, les conditions de vie et les défis socio-économiques, et jouent par conséquent un rôle clé dans l'élaboration de politiques publiques adaptées aux besoins spécifiques des différentes populations.

Les rapports thématiques sont le fruit de la franche collaboration entre les services du MEPD, de la Banque Mondiale, à travers le Projet d'Harmonisation et d'Amélioration des Statistiques en Afrique de l'Ouest (PHAS), et du Fonds des Nations-Unies pour la Population (UNFPA). A ces institutions, j'adresse mes félicitations et remerciements pour leur appui technique et leur soutien financier.

Je formule le vœu que ces publications contribuent de manière significative à une meilleure compréhension des enjeux de développement en Côte d'Ivoire et à la formulation de stratégies efficaces pour un avenir harmonieux et durable.

*Le Ministre de l'Economie,  
du Plan et du Développement*

**Nialé KABA**

# AVANT PROPOS

Les rapports thématiques du RGPH 2021 constituent un atout indispensable pour comprendre les dynamiques socio-économiques et démographiques de la Côte d'Ivoire. Fruit d'une analyse minutieuse des données du recensement, chaque rapport se concentre sur une thématique précise et ensemble, ils forment un cadre analytique exhaustif qui éclaire la situation actuelle de la population, ses transformations, ainsi que les défis qui se profilent à l'horizon.

En se penchant sur des sujets clés tels que l'état et la structure de la population, les mouvements migratoires, la nuptialité, la mortalité et la fécondité, ces rapports permettent de saisir avec plus de précision les transformations démographiques en cours, tout en mettant en lumière les disparités régionales. Ils explorent également l'alphabétisation, le niveau d'instruction, et les activités économiques permettant d'approfondir la compréhension des écarts de développement et d'identifier des axes d'amélioration cruciaux.

Au-delà des chiffres, ces rapports dévoilent les réalités quotidiennes des populations vivant en Côte d'Ivoire en examinant les caractéristiques des ménages, les conditions de vie, ainsi que les enjeux liés à l'urbanisation galopante. Ils mettent en lumière des franges de la population souvent marginalisées, notamment les femmes, les enfants, les personnes handicapées et les personnes âgées, en soulignant les défis spécifiques auxquels ils sont confrontés. Cette attention portée aux groupes vulnérables permet de concevoir des politiques publiques plus inclusives, visant à réduire les inégalités et à promouvoir une croissance partagée.

Les rapports thématiques ne se contentent pas d'analyser le présent, ils offrent également des projections détaillées sur les dynamiques futures, permettant ainsi une anticipation éclairée des besoins de la population. Cette capacité à prévoir les évolutions démographiques facilite la planification à long terme, pour qu'elle soit plus efficace et plus adaptée aux défis à venir.

Bien plus que de simples documents techniques, les rapports thématiques du RGPH 2021 sont de véritables outils de diagnostic qui transforment les données brutes collectées en connaissances exploitables. Que ce soit pour les chercheurs, les planificateurs, les décideurs politiques ou les acteurs du développement, ces rapports fournissent les clés d'une meilleure compréhension des enjeux démographiques et sociaux du pays, tout en favorisant la mise en place de stratégies adaptées aux réalités locales et nationales. Ils constituent un guide précieux pour ceux qui, à différents niveaux, œuvrent pour un développement harmonieux et durable de la Côte d'Ivoire.

*Le Directeur Général de l'Agence Nationale de la Statistique (ANStat)*

**Thiekoro DOUMBIA**

# AVERTISSEMENT

La mise en œuvre du RGPH 2021 a consisté en la collecte de données auprès des trois (03) types de populations, à savoir : (i) les ménages ordinaires ; (ii) les ménages collectifs ; et (iii) la population dite flottante.

Le **ménage ordinaire** se définit comme un ensemble d'un ou plusieurs individus ayant des liens de parenté ou non, vivant sous le même toit, partageant un même repas et dont l'autorité de l'un est reconnue comme chef de ménage.

Le **ménage collectif** est constitué par un groupe de personnes généralement sans lien de parenté entre elles, habitant ensemble dans des conditions spéciales, c'est-à-dire utilisant principalement les installations qu'un établissement met à leur disposition pour subvenir à leurs besoins essentiels (repas, logement, soins, etc.).

La **population dite « flottante » ou sans-abris** est celle constituée de personnes sans logis vivant aux abords des marchés, dans la rue, etc.

L'ensemble de la population recensée est de 29 389 150 habitants dont 29 276 660 vivent dans les ménages ordinaires, soit 99,6%. La spécificité des deux dernières catégories de ménages ne permet pas de recueillir les caractéristiques individuelles telles que collectées dans le questionnaire de ménage ordinaire.

Ainsi, les analyses contenues dans les présents documents sont basées uniquement sur les populations vivant dans les ménages ordinaires. Le tableau synoptique, quant à lui, contient les effectifs de l'ensemble de la population pour ce qui est de la répartition par sexe et par âge.

## Bonne Lecture

# SIGLES ET ABRÉVATIONS

<b>AVP</b>	Accidents de la Voie Publique
<b>Cf</b>	Confère
<b>CHR</b>	Centre Hospitalier Régional
<b>CHU</b>	Centre Hospitalier Universitaire
<b>CIPHIA</b>	Côte d'Ivoire Population-Based HIV Impact Assessment
<b>EDS</b>	Enquête Démographique et de Santé
<b>ESPC</b>	Établissements Sanitaires de Premier Contact
<b>FAP</b>	Femmes en Âge de Procréer
<b>HG</b>	Hôpital Général
<b>HSH</b>	Hommes ayant des Rapports Sexuels avec d'autres Hommes
<b>HTA</b>	Hypertension Artérielle
<b>IDH</b>	Indice de Développement Humain
<b>MICS</b>	Multiple Indicator Cluster Survey (Enquête par grappe à Indicateurs Multiples)
<b>MVE</b>	Maladie à Virus Ebola
<b>OMS</b>	Organisation Mondiale de la Santé
<b>PIB</b>	Produit Intérieur Brut
<b>PMT</b>	Praticiens de la Médecine Traditionnelle
<b>PND</b>	Plan National de Développement
<b>PNUD</b>	Programme des Nations Unies pour le Développement
<b>PSGouv</b>	Programme Social du Gouvernement
<b>RASS</b>	Rapport Annuel sur la Situation Sanitaire
<b>RGPH</b>	Recensement Général de la Population et de l'Habitat
<b>RMMG</b>	Rapport de Mortalité Maternelle lié à la Grossesse
<b>RMM</b>	Rapport de mortalité maternelle
<b>TBM</b>	Taux Brut de Mortalité
<b>TDR</b>	Test de Diagnostic Rapide
<b>TS</b>	Travailleurs/Travailleuses du Sexe
<b>UD</b>	Usagers de Drogue
<b>UEMOA</b>	Union Économique et Monétaire Ouest Africaine
<b>VHB</b>	Virus de l'Hépatite B
<b>VHC</b>	Virus de l'Hépatite C
<b>VIH</b>	Virus Immunodéficience Humaine

# LISTE DES TABLEAUX

TITRE	PAGE
Tableau synoptique des principaux indicateurs	16
Tableau 2.1 : Questions relatives à la mortalité dans le questionnaire du RGPH-2021	31 - 32
Tableau 2.2 : Taux de non-réponse des variables de la mortalité	32
Tableau 2.3 : Taux brut de mortalité de 1998 à 2021 (%)	33
Tableau 2.4 : Rapports de masculinité des enfants nés vivants par groupe d'âges des mères selon le milieu de résidence.	36
Tableau 2.5 : Taux de non-réponse (%) de la question sur la survie des parents au RGPH-2021.	37
Tableau 2.6 : Proportion de la population de 15 à 49 ans dont les parents biologiques sont en vie par groupe d'âges selon le milieu de résidence (%).	37
Tableau 2.7 : Évolution de quelques indicateurs de mortalité au cours de la période 1988 – 2021 avec les résultats issus des méthodes directes en 2021	38
Tableau 2.8. Taux brut de mortalité observé issus du RGPH-2021 et des différentes sources (EDS)	39
Tableau 3.1: Taux bruts de mortalité par milieu de résidence selon le sexe	44
Tableau 3.2: Taux brut de mortalité par régions administratives selon le sexe	45 - 46
Tableau 3.3 : Table de mortalité de la Côte d'Ivoire selon le sexe	47
Tableau 3.4 : Table de mortalité de la ville d'Abidjan selon le sexe	48
Tableau 3.5 : Table de mortalité des autres villes selon le sexe	48
Tableau 3.6 : Table de mortalité du milieu urbain selon le sexe	49
Tableau 3.7 : Table de mortalité du milieu rural selon le sexe	49
Tableau 3.8 : Espérance de vie à la naissance par milieu de résidence selon le sexe	50
Tableau 3.9 : Espérance de vie à la naissance (en années) par sexe selon la région de résidence	51 - 52
Tableau 3.10 : Évolution des taux bruts de mortalité à différentes dates selon le sexe, le milieu de résidence et la nationalité de 1988 à 2021	53
Tableau 3.11 : Espérance de vie à la naissance par milieu de résidence, sexe et nationalité de 1988 à 2021	54
Tableau 4.1 : Quotients de mortalité infantile par milieu de résidence et nationalité selon le sexe	58

# **LISTE DES TABLEAUX**

TITRE	PAGE
Tableau 4.2 : Quotients de mortalité infantile par région administrative selon le sexe	60
Tableau 4.3 : Quotients de mortalité juvénile par milieu de résidence et nationalité selon le sexe	61
Tableau 4.4 : Quotients de mortalité juvénile par région administrative selon le sexe	62 - 63
Tableau 4.5 : Quotients de mortalité infanto-juvénile par milieu de résidence et nationalité selon le sexe	64
Tableau 4.6 : Quotients de mortalité infanto-juvénile par région administrative selon le sexe	65
Tableau 4.7 : Évolution du niveau de la mortalité infantile par sexe, milieu de résidence et nationalité de 1988 à 2021	66
Tableau 4.8 : Évolution du niveau de la mortalité juvénile de 1988 à 2021	67
Tableau 4.9 : Évolution du niveau de la mortalité des enfants de moins de 5 ans de 1988 à 2021	68

# LISTE DES GRAPHIQUES, FIGURES ET CARTES

TITRE	PAGE
Graphique 1.1 : Taux de mortalité générale dans les pays de l'UEMOA et au Rwanda en 2020 (%)	21
Graphique 2.1 : Taux spécifique de mortalité (%) observés par âge selon le sexe	34
Graphique 2.2 : Rapport de masculinité des taux de mortalité par groupes d'âges	34
Graphique 2.3 Parités moyennes des enfants nés vivants par groupe d'âges des mères selon le sexe de l'enfant	35
Graphique 2.4 Parités moyennes des enfants nés vivants au total par groupe d'âges des mères selon le milieu de résidence	35
Graphique 2.5 Parités moyennes des enfants survivants par groupe d'âges des mères selon le sexe de l'enfant	36
Graphique 2.6 Parités moyennes des enfants survivants au total par groupe d'âges des mères selon le milieu de résidence	36
Graphique 2.7 Proportion de la population 15 à 49 ans dont les parents biologiques sont en vie par groupe d'âges (%)	38
Graphique 3.1 : Taux brut de mortalité selon la région administrative	45
Graphique 3.2 : Espérance de vie à la naissance selon la région administrative (pour les 2 sexes)	51
Graphique 3.3 : Évolution de l'espérance de vie à la naissance de 1988 à 2021	53
Graphique 4.1 : Quotient de mortalité infantile selon la région administrative	59
Graphique 4.2 : Quotient de mortalité juvénile selon la région administrative	62
Graphique 4.3 : Quotient de mortalité infanto-juvénile selon la région administrative	64
Graphique 4.4 : Évolution du quotient de mortalité infantile (lq0 en %) de 1988 à 2021	66
Graphique 4.5 : Évolution du quotient de mortalité juvénile4q1 (en %) de 1988 à 2021	67
Graphique 4.6 : Évolution du quotient de mortalité infanto-juvénile ( en %) de 1988 à 2021	67
Graphique 5.1 : Rapport de mortalité maternelle lié à la grossesse par milieu de résidence	72
Graphique 5.2 : Taux de mortalité maternelle par milieu de résidence	72
Graphique 5.3 : Rapport de mortalité maternelle lié à la grossesse par région	73
Graphique 5.4 : Taux de mortalité maternelle par région (%)	74

# TABLEAU SYNOPTIQUE DES PRINCIPAUX INDICATEURS

LIBELLÉS DES INDICATEURS	VALEURS
Taux brut de mortalité ensemble Côte d'Ivoire	<b>9,4</b>
Taux brut de mortalité milieu urbain (%)	<b>6,5</b>
Taux brut de mortalité milieu rural (%)	<b>12,5</b>
Espérance de vie à la naissance ensemble Côte d'Ivoire	<b>61,2</b>
Espérance de vie à la naissance homme	<b>59,2</b>
Espérance de vie à la naissance femme	<b>63,9</b>
Espérance de vie à la naissance milieu urbain	<b>65,5</b>
Espérance de vie à la naissance milieu rural	<b>57,4</b>
Quotient de mortalité infantile, 1q0 (%) ensemble Côte d'Ivoire	<b>58,5</b>
Quotient de mortalité infantile, 1q0 (%) fille	<b>55,1</b>
Quotient de mortalité infantile, 1q0 (%) garçon	<b>60,8</b>
Quotient de mortalité infantile, 1q0 (%) milieu urbain	<b>51,8</b>
Quotient de mortalité infantile, 1q0 (%) milieu rural	<b>64,1</b>
Quotient de mortalité juvénile, 4q1 (%) ensemble Côte d'Ivoire	<b>32,2</b>
Quotient de mortalité juvénile, 4q1 (%) fille	<b>29,1</b>
Quotient de mortalité juvénile, 4q1 (%) garçon	<b>35,5</b>
Quotient de mortalité juvénile, 4q1 (%) milieu urbain	<b>22,9</b>
Quotient de mortalité juvénile, 4q1 (%) milieu rural	<b>40,3</b>
Quotient de mortalité infanto-juvénile, 5q0 (%) ensemble Côte d'Ivoire	<b>78,7</b>
Quotient de mortalité infanto-juvénile, 5q0 (%) fille	<b>73,4</b>
Quotient de mortalité infanto-juvénile, 5q0 (%) garçon	<b>85,1</b>
Quotient de mortalité infanto-juvénile, 5q0 (%) milieu urbain	<b>73,5</b>
Quotient de mortalité infanto-juvénile, 5q0 (%) milieu rural	<b>101,9</b>
Taux de mortalité maternelle (%) en Côte d'Ivoire	<b>0,76</b>
Taux de mortalité maternelle (%) urbain	<b>0,54</b>
Taux de mortalité maternelle (%) rural	<b>1,23</b>
Taux de mortalité maternelle (%) Abidjan	<b>0,39</b>
Taux de mortalité maternelle (%) Autres villes	<b>0,65</b>
Rapport de mortalité maternelle lié à la grossesse (pour 100 000) en Côte d'Ivoire	<b>460,2</b>
Rapport de mortalité maternelle lié à la grossesse (pour 100 000) urbain	<b>354,1</b>
Rapport de mortalité maternelle lié à la grossesse (pour 100 000) rural	<b>556,4</b>
Rapport de mortalité maternelle lié à la grossesse (pour 100000) Abidjan	<b>284,8</b>
Rapport de mortalité maternelle lié à la grossesse (pour 100 000) Autres villes	<b>354,1</b>

# INTRODUCTION

La mortalité, et plus particulièrement ses indicateurs clés tels que les taux de mortalité infantile et maternelle, constitue un baromètre essentiel de l'état de santé d'une population. Ces indicateurs, sensibles aux dynamiques socio-économiques et aux interventions sanitaires, sont cruciaux pour la santé publique. L'étude de la mortalité humaine se justifie par plusieurs aspects fondamentaux : elle permet, en combinaison avec les données de fécondité, de déterminer l'accroissement naturel d'une population et ses indicateurs, comme l'espérance de vie, sont indispensables dans des secteurs tels que les assurances.

En Côte d'Ivoire, comme dans de nombreux pays africains, les données d'état-civil, source privilégiée pour l'analyse de la mortalité, présentent des lacunes. Par conséquent, les opérations de collecte d'envergure nationale, telles que les enquêtes et les recensements, bien que coûteuses, demeurent les principales sources fiables pour appréhender les phénomènes démographiques. Le Recensement Général de la Population et de l'Habitat de 2021 (RGPH 2021) s'inscrit dans cette lignée, représentant la cinquième opération de ce type en Côte d'Ivoire permettant une étude approfondie de la mortalité, après notamment l'enquête à passage répété de 1978 et les recensements de 1988 et 1998.

Pour cerner la mortalité lors du RGPH 2021, trois ensembles de questions ont été administrés pour recueillir les informations sur les enfants nés vivants et les enfants survivants, collecter les données sur la survie des parents biologiques, et recenser les décès survenus au sein des ménages durant les douze mois précédent l'opération. L'objectif principal de cette analyse est de fournir aux décideurs, planificateurs et autres utilisateurs des indicateurs de mortalité actualisés et précis, indispensables au suivi efficace des programmes de population et de santé.

Plus spécifiquement, le rapport vise à :

- ▶ présenter les niveaux de mortalité générale, infantile (moins de cinq ans) et maternelle ;
- ▶ identifier les disparités spatiales (région, milieu de résidence) et démographiques (sexe, âge) de la mortalité ;
- ▶ établir des tables de mortalité détaillées aux niveaux national, régional et selon le milieu de résidence (Abidjan, autres villes, ensemble urbain et rural) ;
- ▶ analyser les tendances évolutives de la mortalité en Côte d'Ivoire.

Le rapport thématique sur la mortalité est structuré en cinq chapitres. Le premier chapitre décrit le contexte général de l'étude, incluant les aspects sanitaires, démographiques, politiques et économiques prévalant au moment du recensement, afin de mieux interpréter les niveaux et l'évolution de la mortalité observée. Le deuxième chapitre est consacré aux aspects méthodologiques, précisant les concepts, les données collectées, les indicateurs, ainsi que l'évaluation de la qualité des données qui guide le choix des méthodes de calcul (directes ou indirectes). Le troisième chapitre analyse la mortalité générale, en soulignant ses variations spatiales et différentielles selon divers facteurs socio-démographiques. Le quatrième chapitre se concentre sur la mortalité infantile et juvénile (avant cinq ans), en examinant son niveau, son évolution et ses disparités. Enfin, le cinquième chapitre aborde la mortalité maternelle, avec une attention particulière aux variations selon le milieu de résidence.

# Mortalité

RAPPORT THEMATIQUE | TOME 5

## **CHAPITRE I**

---

# **CONTEXTE**

- 
- 1.1 Contexte géographique et socio-culturel**
  - 1.2 Contexte démographique et socio-économique**
  - 1.3 Contexte socio-sanitaire**
    - 1.3.1 Situation épidémiologique
    - 1.3.2 Personnel et infrastructures de santé

# CHAPITRE 1 : CONTEXTE

Ce chapitre a pour objectif de présenter les éléments contextuels géographiques, socio-économiques, sanitaires et socioculturels susceptibles d'influencer les niveaux, structures et différentiels de la mortalité en Côte d'Ivoire. Une bonne compréhension de ce contexte est essentielle pour interpréter adéquatement les indicateurs de mortalité qui seront analysés dans les chapitres suivants.

## 1.1 Contexte géographique et socio-culturel

La Côte d'Ivoire, située en Afrique de l'Ouest subsaharienne (entre le 5ème et le 10ème degré de latitude Nord, et le 4ème et le 8ème degré de longitude Ouest), s'étend sur une superficie de 322 462 km<sup>2</sup>. Le pays dispose d'un littoral de 550 kilomètres sur le Golfe de Guinée et partage ses frontières avec le Burkina Faso et le Mali au Nord, le Libéria et la Guinée à l'Ouest, et le Ghana à l'Est.

Le climat ivoirien est de type tropical humide. Il se décline en un climat équatorial humide au Sud et un climat tropical de type soudanais au Nord. Ce climat est rythmé par quatre saisons : une grande saison des pluies (mars à juin), une petite saison sèche (juillet à août), une petite saison des pluies (septembre à octobre) et une grande saison sèche (novembre à février).

Les précipitations sont abondantes sur la côte, variant de 1 500 à 2 500 millimètres par an. À l'intérieur des terres, elles sont généralement moins intenses (1 200 à 1 500 millimètres), tandis que les zones montagneuses peuvent recevoir jusqu'à 2 000 millimètres de pluie. Ce profil climatologique et la géomorphologie du pays ont une influence notable sur le profil épidémiologique de la Côte d'Ivoire.

## 1.2 Contexte démographique et socio-économique

Selon le RGPH 2021, la population de la Côte d'Ivoire s'élève à 29 389 150 habitants. La densité démographique est de 91 habitants au km<sup>2</sup>, avec un taux d'accroissement annuel moyen de 2,9% entre 1998 et 2021. La population est majoritairement masculine (52% d'hommes contre 48% de femmes), avec un rapport de masculinité de 109 hommes pour 100 femmes. Les femmes en âge de procréer (15-49 ans) représentent 25,2% de la population totale, et les enfants de moins de 5 ans en constituent 12,6%. Le taux d'urbanisation est de 53,5%, contre 46,5% de population rurale.

La structure par âge de la population ivoirienne se caractérise par son extrême jeunesse : l'âge moyen est de 23 ans et l'âge médian de 20 ans. Les moins de 35 ans représentent 75,6% de la population totale. Cette jeunesse est la conséquence d'une fécondité encore élevée, marquée par sa précocité et sa relative stabilité, conjuguée à une mortalité en baisse.

Sur le plan économique, malgré un environnement international incertain, l'activité économique ivoirienne a bénéficié d'une amélioration continue du climat des affaires et de la gouvernance entre 2016 et 2020. Le taux de croissance du Produit Intérieur Brut (PIB) réel a atteint en moyenne 6,9% sur cette période, surpassant

largement celui de l'Afrique subsaharienne. Le revenu par habitant a progressé de 13,6% entre 2016 et 2019, et l'inflation est restée maîtrisée en dessous de 3%. Le déficit budgétaire s'est réduit progressivement pour s'établir à 2,3% du PIB en 2019.

Cette performance économique a permis de réduire la proportion de la population vivant en dessous du seuil national de pauvreté de 51% en 2011 à 46,3% en 2015, puis à 37,5% en 2021. Cependant, des disparités régionales persistent, et la pauvreté continue d'affecter davantage les femmes et les zones rurales.

Selon le rapport 2025 du Programme des Nations Unies pour le Développement (PNUD) sur le développement humain, l'Indice de Développement Humain (IDH) de la Côte d'Ivoire était de 0,557 en 2021, et 0,582 en 2023. Entre 2018 et 2019, l'IDH a progressé de 0,007 point, permettant au pays de quitter, pour la première fois en vingt ans, la catégorie des pays à faible développement humain pour rejoindre celle des pays à développement humain moyen. Globalement, cet indice a augmenté de plus de 43% entre 1990 et 2021.

Pour soutenir ces progrès, le Gouvernement a intensifié ses investissements dans le cadre du Plan National de Développement (PND 2016-2020) et du premier Programme Social du Gouvernement (PSGouv 1). Ces efforts ont contribué à la relance économique. Dans cette dynamique, le PND 2021-2025 a été adopté en décembre 2021, suivi de l'élaboration du PSGouv 2, tous deux actuellement en cours de mise en œuvre.

### 1.3 Contexte socio-sanitaire

#### 1.3.1 Situation épidémiologique

Le profil épidémiologique de la Côte d'Ivoire est caractérisé par la persistance de plusieurs facteurs contribuant à une morbidité importante. Il s'agit notamment de la prévalence des maladies transmissibles et non transmissibles, des maladies tropicales négligées, des grossesses précoces, des problèmes de sécurité routière et du vieillissement de la population.

Les estimations de la Banque Mondiale pour 2020 indiquent un niveau de mortalité générale élevé en Côte d'Ivoire, se situant à 9,9 pour 1000 habitants. Ce chiffre, contrastant fortement avec celui du Rwanda (5,1 pour 1000) par exemple, place la Côte d'Ivoire en tête des pays de l'Union Économique et Monétaire Ouest Africaine (UEMOA) en termes de mortalité générale (voir Graphique 1.1).

*Graphique 1.1 : Taux de mortalité générale dans les pays de l'UEMOA et au Rwanda en 2020 (%)*



Source : [www.donnees.banquemondiale.org](http://www.donnees.banquemondiale.org)

Le paludisme demeure un fardeau sanitaire et un frein au développement, malgré les progrès réalisés. Sa prévalence reste élevée, atteignant 26% chez les enfants de 6 à 59 mois (selon l'examen microscopique de la goutte épaisse).<sup>1</sup> D'après le Rapport Annuel sur la Situation Sanitaire (RASS), l'incidence du paludisme dans la population générale est passée de 154,6‰ en 2016 à 173,4‰ en 2020. Chez les enfants de moins de 5 ans, ce taux a augmenté de 286,9‰ en 2016 à 441,0‰ en 2020. Le taux de confirmation des cas suspects par tests (TDR/Goutte épaisse) est passé de 73% en 2016 à 88% en 2019. Le nombre de décès liés au paludisme rapportés en routine a diminué, passant de 3 340 en 2016 à 1 315 en 2020.<sup>2</sup>

La prévalence nationale du VIH était de 2,5% chez les 15-49 ans en 2017 (enquête CIPHIA 2017 : 3,6% chez les femmes, 1,4% chez les hommes). En 2020, elle était estimée à 2,4% dans la même tranche d'âge (3,3% chez les femmes, 1,5% chez les hommes). L'épidémie de VIH reste généralisée (102 des 113 districts sanitaires ont une prévalence supérieure à 1%) et concentrée chez les populations clés, avec des taux plus élevés (3,9% chez les travailleuses du sexe (TS), 6,4% chez les hommes ayant des rapports sexuels avec d'autres hommes (HSH), 3,4% chez les usagers de drogues (UD), 2,6% en milieu carcéral).

Le taux de notification de la tuberculose (nouveaux cas et rechutes, toutes formes confondues) était de 74,5 pour 100 000 habitants en 2020, en baisse par rapport à 2016 (89 cas pour 100 000 habitants). Le taux de décès liés à cette pathologie est resté stable à 9% entre 2015 et 2017<sup>3</sup>, avant d'augmenter à 14,7% en 2019.

La santé des adolescents et des jeunes (30,2% de la population générale en 2021 selon le RGPH 2021) est marquée par une morbidité accrue. Les principales causes en sont : le paludisme, les infections respiratoires aiguës, les diarrhées, les infections sexuellement transmissibles (IST) et l'anémie. L'incidence des IST est passée de 8 001 cas en 2016 à 11 965 en 2020 (augmentation de 49,5%).<sup>4</sup> En 2020, le paludisme et les infections respiratoires aiguës représentaient respectivement 41% et 16% de la morbidité générale chez les adolescents et jeunes.

Malgré une prévalence d'environ 12% pour le virus de l'hépatite B (VHB) et 5% pour le virus de l'hépatite C (VHC), le dépistage et la prise en charge de ces hépatites virales demeurent très limités.<sup>5</sup> Les maladies à potentiel épidémique et les urgences de santé publique font l'objet d'une surveillance régulière pour une alerte précoce, l'investigation des cas et la prise en charge. En 2020, la Côte d'Ivoire a enregistré 2 776 cas suspects de rougeole (516 confirmés), 123 cas suspects de méningite (30 confirmés) et 1 494 cas suspects de fièvre jaune (15 confirmés).

L'émergence de nouvelles épidémies telles que la maladie à virus Ebola (MVE), le Zika, le Lassa, la dengue, et plus récemment la pandémie de Covid-19 (22 362 cas positifs sur 217 534 échantillons en 2020, soit un taux de positivité de 10,3%), souligne la nécessité de renforcer le dispositif de surveillance, de rapportage des cas, le réseau national de laboratoires, le dispositif de riposte et la lutte antivectorielle.

Les maladies non transmissibles (MNT) sont responsables de 37% de l'ensemble des décès enregistrés. Les principales causes sont les affections cardiovasculaires (15%), les accidents de la voie publique (AVP) (10%), le cancer (4%), les maladies respiratoires chroniques (2%), le diabète (2%) et les autres MNT (14%). La prévalence du diabète et

<sup>1</sup> EDS-2021

<sup>2</sup> Rapport PNLP 2016-2020

<sup>3</sup> Rapport PNLT 2015 à 2017

<sup>4</sup> Rapport PNSSU-SAJ 2020

<sup>5</sup> Journal Africain d'Hépato-Gastroentérologie, 2015, 9 (3), p. 94-98. ISSN 1954-3204

de l'hypertension artérielle (HTA) reste importante chez les 20-79 ans, avec des taux respectifs de 6,2% et 39,9%.

Concernant les cancers, l'observatoire mondial du cancer (Globocan) a relevé 17 300 nouveaux cas et 11 760 décès en Côte d'Ivoire en 2020. La prévalence de l'insuffisance rénale chronique est de 39% chez les personnes de 60 ans et plus.

La mortalité liée aux accidents de la route a augmenté entre 2002 et 2016. Le nombre annuel d'AVP est passé de 6 000 (2002-2011) à 9 000 (2012-2015), soit une croissance annuelle de 13%. Le nombre de décès par AVP est passé de 600 à 840 par an sur les mêmes périodes, soit un taux d'accroissement de 21,9%.<sup>6</sup>

### 1.3.2 Personnel et infrastructures de santé

Les ressources du système de santé comprennent les ressources humaines, les ressources matérielles (infrastructures et équipements) et les produits médicaux et technologies de santé.

Grâce aux efforts de recrutement de ces dernières années, le nombre de personnel de santé a fortement progressé. Entre 2016 et 2020, le ratio médecin-population est passé de 1,3 à 1,4 médecin pour 10 000 habitants. Le ratio infirmier-population était de 2,4 infirmiers pour 5 000 habitants en 2020 (contre 2,1 en 2016). Quant au ratio sage-femme/femme en âge de procréer, il était en 2020 de 3,1 sages-femmes pour 3 000 femmes en âge de procréer (soit une sage-femme pour 984 FAP, contre 2,1 en 2016). Bien que la densité des personnels de santé (médecins, infirmiers et sages-femmes) pour 10 000 habitants soit passée de 6,6 en 2016 à 8,6 en 2020, elle reste inférieure au standard de l'OMS de 23 personnels de santé pour 10 000 habitants.

Depuis 2018, plus de 11 000 agents de santé communautaires (ASC) ont été identifiés et répertoriés à l'échelle nationale. Ils sont chargés d'interventions au profit des familles et des communautés dans les domaines de la santé maternelle et infantile, de la prise en charge intégrée des maladies de l'enfant, du VIH, de la promotion des pratiques familiales essentielles, de l'hygiène et de l'assainissement.

L'offre de soins est structurée en trois niveaux. Le réseau sanitaire public comprenait, en 2020, 2 442 établissements : 2 311 Établissements Sanitaires de Premier Contact (ESPC) au niveau primaire, 19 Centres Hospitaliers Régionaux (CHR) et 100 Hôpitaux Généraux (HG) au niveau secondaire, et 5 Centres Hospitaliers Universitaires (CHU) et 7 instituts spécialisés au niveau tertiaire.

À côté du secteur public, le secteur privé de la santé est en plein essor et contribue à environ 40% de l'offre nationale de services de santé. Fin 2020, on dénombrait 24 polycliniques médicales, 317 cliniques médicales, 465 centres médicaux, 55 cabinets médicaux, 114 maternités et 548 centres de soins infirmiers.<sup>7</sup>

En outre, le secteur de la médecine traditionnelle est en pleine expansion. Son exercice et son organisation sont réglementés par la Loi n°2015-536 du 20 juillet 2015 et le Code d'Éthique et de Déontologie des praticiens de médecine et pharmacopée traditionnelles (Décret n°2016-24 du 27 janvier 2016). Le répertoire national des Praticiens de la Médecine Traditionnelle (PMT) comptait 7 020 praticiens enregistrés en 2020.<sup>8</sup>

<sup>6</sup> Bilan de la sécurité routière : exposé 2019 des statistiques par pays

<sup>7</sup> Rapport d'activité 2020 DEPS

<sup>8</sup> Répertoire national des PMT, de leurs pratiques et des pathologies traitées, 2020

Mortalité

RAPPORT THEMATIQUE | TOME 5

**CHAPITRE II**

---

**ASPECTS  
MÉTHODOLOGIQUES**



## **2.1 Définition des concepts opératoires et mesure du phénomène**

2.1.1 Définition des concepts

2.1.2 Définition des indicateurs

### **2.2 Données**

2.2.1 Questions permettant de mesurer la mortalité à partir du RGPH 2021

### **2.3 Évaluation de la qualité des données**

2.3.1 Évaluation interne de la qualité des données

2.3.2 Évaluation externe de la qualité des données

### **2.4 Conclusion sur l'évaluation des données**

### **2.5 Méthode d'analyse**

2.5.1 Mortalité infantile

2.5.2 Mortalité générale

# CHAPITRE 2 : ASPECTS MÉTHODOLOGIQUES

Ce chapitre expose les fondements méthodologiques de l'étude de la mortalité. Il détaille la définition des concepts clés, les indicateurs utilisés pour mesurer le phénomène, ainsi que leurs modes de calcul et d'interprétation. Une attention particulière est accordée à la présentation des variables d'analyse issues du RGPH 2021 et à l'évaluation rigoureuse de la qualité des données collectées. Enfin, les méthodes d'analyse employées pour estimer les niveaux de mortalité sont explicitées.

## 2.1 Définition des concepts opératoires et mesure du phénomène

Cette section présente les définitions des concepts essentiels à la compréhension de l'étude de la mortalité, ainsi que les principaux indicateurs utilisés pour son analyse.

### 2.1.1 Définition des concepts

#### Mortalité

La mortalité est, selon le dictionnaire multilingue de Louis Henry, l'action de la mort sur les populations. De façon générale, l'étude de la mortalité consiste à mesurer l'impact de la mort sur une population donnée. Selon la tranche d'âges concernée, on parle de :

- ▶ mortalité infantile, pour les enfants de moins d'un an ;
- ▶ mortalité juvénile pour les enfants de 1 à 4 ans révolus ou 1 à 5 ans exacts ;
- ▶ mortalité infanto-juvénile ou mortalité des enfants qui s'intéresse aux enfants de moins de 5 ans.

#### Naissance vivante

L'Organisation Mondiale de la Santé (OMS), entend par naissance d'enfant vivant, « l'expulsion ou l'extraction complète du corps de la mère, indépendamment de la durée de gestation, d'un produit de conception qui, après cette séparation, respire ou manifeste tout autre signe de vie, tel que battement du cœur, pulsation du cordon ombilical, ou contraction effective d'un muscle soumis à l'action de la volonté, que le cordon ombilical ait été coupé ou non, et que le placenta soit ou non demeuré attaché. Tout produit d'une telle naissance est considéré comme enfant né vivant » (Pressat, 1985).

#### Décès

Le décès est défini comme étant la « disparition durable de toute évidence de vie à quelque moment que ce soit après la naissance » (Pressat, 1985).

#### Décès maternel

Un décès maternel est le décès d'une femme survenu au cours de la grossesse ou dans un délai de 42 jours après l'interruption de la grossesse, quelles qu'en soient la durée et la localisation, pour une cause quelconque déterminée ou aggravée par la grossesse ou les soins qu'elle a motivés, mais ni accidentelles ni fortuites (Organisation Mondiale de la Santé, 1993). La détermination du décès maternel nécessite de disposer des informations sur la cause spécifique du décès.

## Décès maternel relié à une grossesse

Un décès relié à une grossesse est le décès d'une femme survenu au cours de la grossesse ou dans un délai de 42 jours après l'interruption de la grossesse, quelle qu'en soit la cause. (Organisation Mondiale de la Santé, 1993). Ce type de décès se distingue du décès maternel car il est déterminé seulement par le moment du décès par rapport à la grossesse, l'accouchement et la période post-partum.

### 2.1.2 Définition des indicateurs

#### a) Mortalité générale

##### Taux Brut de Mortalité (TBM)

C'est le nombre de décès pour 1 000 habitants au cours d'une année. Cet indicateur rend compte du volume total des décès enregistrés au sein d'une population au cours d'une année, quels que soient l'âge et le sexe des individus décédés. Il s'obtient en divisant le nombre total des décès survenus au cours d'une année par la population moyenne du pays pour cette année et en multipliant le rapport obtenu par 1 000.

$$TBM = \frac{D}{P} * 1000$$

Où D est l'ensemble des décès enregistrés au cours des 12 derniers mois et P l'effectif moyen de la population au cours de la période ( $P = \frac{1}{2}(P_1+P_2)$ ) avec  $P_1$  = effectif de population en début de période et  $P_2$  = effectif de population en fin de période.

##### Taux de mortalité par groupe d'âges ou par année d'âge ( ${}_a t_x$ )

Ce sont les rapports entre les décès et les populations moyennes d'un âge ou un groupe d'âges donné.

$${}_a t_x = \frac{d(x, x+a-1)}{P(x, x+a-1)}$$

Où a est l'amplitude de l'intervalle d'âges, d (x, x+a-1) = Effectif des décès du groupe d'âges x, x+a-1 et P(x, x+a-1) = Effectif moyen de la population du même groupe d'âges. Les taux sont déduits des données empiriques.

##### Quotient de mortalité par groupe d'âges ( ${}_a q_x$ )

C'est le nombre moyen de décès survenus entre les âges x et x+a parmi les individus présents à l'âge x ou encore la proportion des individus en vie à l'âge x mais qui sont décédés avant l'âge x+a, ou mieux encore la probabilité de décéder avant d'atteindre l'âge x+a pour des individus âgés de x an(s) ; où a est l'amplitude de l'intervalle d'âges considérée.

Pour x positif,  ${}_a q_x$  se déduit de  ${}_a t_x$  par la formule suivante :  ${}_a q_x = \frac{2a * {}_a t_x}{2 + {}_a t_x}$

Avec les données du recensement sur la mortalité, on calculera d'abord les taux spécifiques de mortalité desquels seront déduits les quotients, si la méthode directe est utilisée.

A partir de ces quotients, on génère la table de mortalité, en prenant comme racine de la table, une puissance de 10 (souvent 100.000) pour calculer les survivants  $I_x$  de la table, les décès  $d(x, x+a)$  et l'espérance de vie à divers âges ( $e_x$ ).

## Table de mortalité du moment

La table de mortalité est constituée d'une série d'indicateurs de mortalité qui décrivent de façon complète le processus de la naissance à l'extinction d'une cohorte fictive. Elle comprend les éléments suivants :

- $S_x$ , l'effectif des survivants à l'âge  $x$  ;
- $d(x, x+n)$ , le nombre de décès survenus entre les âges  $x$  et  $x+n \Rightarrow d(x, x+n) = S_x - S_{x+n}$  ;
- $qx$ , le quotient de mortalité à l'âge révolu  $\Rightarrow qx = d(x, x+n) / S_x$

## Espérance de vie à la naissance ( $e_0$ )

L'espérance de vie à la naissance (ou à l'âge 0) représente la durée de vie moyenne ; autrement dit l'âge moyen au décès, d'une génération fictive qui serait soumise à chaque âge aux conditions de mortalité de l'année considérée. Elle caractérise la mortalité indépendamment de la structure par âge. L'espérance de vie à la naissance est un cas particulier de l'espérance de vie à l'âge  $x$ , qui représente le nombre moyen d'années restant à vivre au-delà de cet âge  $x$  (ou durée de survie moyenne à l'âge  $x$ ), dans les conditions de mortalité par âge de l'année considérée. En pratique, elle se déduit de la table de mortalité.

### b) Mortalité des enfants

#### Quotient de mortalité infantile ( ${}_1q_0$ )<sup>9</sup>

C'est le risque ou la probabilité pour un enfant né vivant, de décéder avant d'atteindre son premier anniversaire. On le confond souvent avec le taux de mortalité infantile (TMI)

$$\text{Quotient de mortalité infantile } {}_1q_0 = \frac{D(0-1)}{N}$$

Avec :  $D(0-1)$  = Décès des enfants de moins d'un an,  $N$ =Naissances au cours de l'année.

A partir du taux de mortalité, le quotient de mortalité infantile se déduit comme ci-après :

$${}_1q_0 = \frac{2 * {}_1t_0}{2 + 2k * {}_1t_0}$$

Sachant que parmi l'ensemble des décès qui surviennent au cours de la première année de vie, une fraction «  $k$  » de ces décès ont lieu avant les six premiers mois et le reste («  $1-k$  ») après. La fraction «  $k$  » est fonction du niveau réel de autour du niveau de référence qui est de 1.

#### Quotient de mortalité juvénile ( ${}_4q_1$ )

C'est le risque ou la probabilité pour un enfant âgé d'un an, de décéder avant d'atteindre son cinquième anniversaire. Il se calcule en général dans une cohorte d'enfants pris à la naissance (ou dans une cohorte fictive dans une table de mortalité).

$${}_4q_1 = \frac{D(1-4)}{S1}$$

$D(1-4)$  = Nombre de décès des individus âgés d'un à 4 ans révolus.

$S1$  = Survivants à un an.

<sup>9</sup> Le taux et le quotient de mortalité infantile ont la même valeur lorsqu'ils sont calculés par la méthode directe.

Par ailleurs, à partir des données empiriques, sa meilleure approximation à partir des taux de mortalité est donnée par l'expression ci-dessous :

$${}_4q_1 = \frac{8 * {}_4t_1}{2 + 2,88 * {}_4t_1}$$

---


$$\text{Taux de mortalité juvénile } m(1-4) = \frac{D(1-4)}{S(1-4)}$$


---

Avec :  $m(1-4)$  = Taux de mortalité des enfants âgés d'un à 4 ans révolus.

$D(1-4)$  = Nombre de décès des individus âgés de un à 4 ans révolus.

$S(1-4)$  = Effectif de la population âgée de un à 4 ans révolus.

### Quotient de mortalité infanto-juvénile ( ${}_5q_0$ )

---

C'est le risque ou probabilité pour un enfant né vivant, de décéder avant d'atteindre son cinquième anniversaire. Il se calcule en général dans une cohorte d'enfants pris à la naissance.

$${}_5q_0 = \frac{D(0-4)}{N}$$

$D(0-4)$  = Nombre de décès des individus âgés de moins de 5 ans.

$N$  = Naissance au cours de l'année.

En outre à partir des quotients de mortalité infantile ( ) et juvénile ( ), le quotient de mortalité infanto-juvénile se déduit par l'expression suivante :

$${}_5q_0 = {}_1q_0 + {}_4q_1 - {}_1q_0 * {}_4q_1$$

---


$$\text{Taux de mortalité infanto-juvénile } m(0-4) = \frac{D(0-4)}{S(0-4)}$$


---

Avec :  $m(0-4)$  = Taux de mortalité des enfants âgés de moins de 5 ans.

$D(0-4)$  = Nombre de décès des individus âgés de moins de 5 ans.

$S(0-4)$  = Effectif de la population âgée de moins de 5 ans.

## c) Mortalité maternelle

### Rapport de Mortalité Maternelle (RMM)

---

Souvent assimilé, à tort, au taux de mortalité maternelle, le rapport de mortalité maternelle est l'indicateur le plus souvent employé pour évaluer la mortalité maternelle car il exprime mieux le risque obstétrique. Le rapport de mortalité maternelle est le nombre de décès maternels par rapport au nombre de naissances vivantes au cours de l'année. Dans le cadre des recensements et enquêtes, cet indicateur est défini comme suit :

$$\text{RMM} = \frac{\text{Nombre de décès maternels au cours des 12 derniers mois}}{\text{Nombre de naissances vivantes au cours des 12 derniers mois}} * 100\ 000$$

Le RMM peut surestimer le risque obstétrique en excluant du dénominateur les naissances empêchées par des décès maternels, mais qui peuvent être la cause d'un décès maternel. Cet indicateur n'étant pas une mesure standardisée par âge il ne se prête donc pas pour une comparaison dans le temps et dans l'espace.

## Rapport de Mortalité Maternelle lié à la Grossesse (RMMG)

Le Rapport de Mortalité liée à la Grossesse (RMMG), mesure le risque de décès lié à la grossesse. Cet indicateur s'obtient en rapportant le nombre de décès liés à la grossesse au cours d'une période au nombre de naissances vivantes au cours de la même période. Le RMMG est habituellement multiplié par un facteur de 100 000. Un décès relié à une grossesse est le décès d'une femme survenu pendant la grossesse ou au cours de l'accouchement ou 42 jours suivant l'accouchement quelle qu'en soit la cause.

$$\text{RMMG} = \frac{\text{nombre de décès liés à la grossesse au cours des 12 derniers mois}}{\text{Nombre de naissances vivantes au cours des 12 derniers mois}} * 100\ 000$$

## Taux de Mortalité Maternelle (TMM)

Cet indicateur exprime le risque de mortalité parmi les femmes en âge de reproduction. Il traduit l'impact de la mortalité maternelle sur la population féminine adulte. Toutefois, il cache l'effet des niveaux différents de fécondité lors des comparaisons entre pays. Dans le cadre des recensements et enquêtes, cet indicateur est défini comme suit :

$$\text{TMM} = \frac{\text{Nombre de décès maternels au cours des 12 derniers mois}}{\text{Nombre de femmes de 15-49 ans}} * 1000$$

## Proportion de décès de femmes adultes reliés à des causes maternelles (PDCM) ou Proportion maternelle

Il traduit la part des femmes décédées des causes maternelles sur l'ensemble des décès des femmes en âge de procréation. Dans le cadre des recensements et enquêtes, cet indicateur est défini comme suit :

$$\text{PDCM} = \frac{\text{Nombre de décès maternels au cours des 12 derniers mois}}{\text{Nombre de décès chez les femmes de 15-49 ans}} * 1000$$

## Risque de décès maternel sur la durée de la vie (RDV)

Il reflète les risques d'une femme de mourir des causes maternelles au cours de sa vie reproductive (environ 35 ans). Il tient compte de la probabilité de décéder chaque fois qu'une femme tombe enceinte.

$$\text{RDV} = 35 * \text{TMM}$$

## 2.2 Données

L'analyse de la mortalité requiert des informations sur les décès survenus au sein d'une population à un moment donné. Ces informations proviennent principalement de trois sources : l'état civil, les recensements et les enquêtes démographiques.

Dans les recensements, les questionnaires sont généralement courts, tandis que les enquêtes spécialisées comme les Enquêtes Démographiques et de Santé (EDS) ou les Enquêtes par Grappes à Indicateurs Multiples (MICS) utilisent des questionnaires plus longs pour recueillir des informations détaillées. Ces dernières permettent une analyse d'un éventail plus large d'indicateurs, alors que les données de recensement, couvrant l'ensemble de la population, autorisent une désagrégation géographique et socio-économique plus fine. Ces deux types de sources sont donc complémentaires.

## 2.2.1 Questions permettant de mesurer la mortalité à partir du RGPH 2021

Le questionnaire ménage ordinaire administré lors du RGPH 2021 a permis de collecter trois types d'informations relatives à la mortalité, présentées dans le Tableau 2.1.

- ▶ **Décès survenus dans le ménage au cours des 12 derniers mois :** Pour chaque ménage, il a été demandé le nombre total de décès survenus entre novembre 2020 et novembre 2021 (période de référence de 12 mois précédant le passage de l'agent recenseur), ainsi que l'âge au décès et le sexe de chaque personne décédée. Pour les décès de femmes âgées de 12 à 49 ans, des questions spécifiques ont été posées pour identifier les décès maternels (décès pendant la grossesse, pendant l'accouchement, ou dans les 42 jours suivant l'accouchement).
- ▶ **Survie des enfants :** À chaque femme résidente âgée de 12 ans et plus, il a été demandé le nombre total d'enfants nés vivants (garçons et filles séparément) qu'elle a eus au cours de sa vie, et parmi ceux-ci, combien étaient encore en vie au moment de l'enquête.
- ▶ **Survie des parents biologiques :** Pour tous les membres résidents du ménage, il a été demandé si leur mère biologique et leur père biologique étaient encore en vie.

Tableau 2.1 : Questions relatives à la mortalité dans le questionnaire du RGPH-2021

Objets	Questions	Modalités	Cibles
Décès des 12 derniers mois	Y- a-t-il eu des décès dans votre ménage entre novembre 2020 et novembre 2021	Oui Non	Toute personne ayant été membre résidant du ménage dénombré au moment du décès
	SI OUI, Combien ?	Nombre de décès	
	Quel était le sexe de l'individu N°... ?	Masculin Féminin	
	Quel était l'âge de l'individu N°...à son décès	Age au décès	
	DECES MATERNEL (Décès de femme âgée de 12 à 49 ans) (Prénom) est-elle décédée ...	- Pendant la grossesse - Au cours de l'accouchement - 42 jours suivant l'accouchement	
		- N'était pas enceinte - Ne sait pas	
Survie des enfants	Combien de naissances vivantes de sexe masculin (PRÉNOM) a-t-elle eues dans sa vie ? (Y compris les enfants qui ne vivent pas avec vous actuellement et ceux qui sont malheureusement décédés)	Nombre total de garçons mis au monde	Aux femmes résidentes âgées de 12 ans et plus
	Parmi les enfants nés vivants de sexe masculin (PRÉNOM), combien sont vivants ?	Nombre total de garçons encore en vie (survivants)	
	Combien de naissances vivantes de sexe féminin (PRÉNOM) a-t-elle eues dans sa vie ? (Y compris les enfants qui ne vivent pas avec vous actuellement et ceux qui sont malheureusement décédés)	Nombre total de filles mises au monde	

Objets	Questions	Modalités	Cibles
Survie et Résidence de chacun des parents biologiques	Est-ce que la mère biologique de (PRÉNOM) est vivante ?	Mère vit dans le ménage Mère vit hors du ménage Mère décédée Ne sait pas.	Tous les membres du ménage
	Est-ce que le père biologique de (PRÉNOM) est vivant ?	Père vit dans le ménage Père vit hors du ménage Père décédé Ne sait pas	

Source : ANStat, RGPH 2021

## 2.3 Évaluation de la qualité des données

L'évaluation de la qualité des données observées est une étape cruciale. Elle a porté successivement sur les décès des douze derniers mois, sur la survie des enfants nés vivants, et enfin sur la survie des parents biologiques.

### 2.3.1 Évaluation interne de la qualité des données

Un dispositif global de contrôle de la qualité, incluant des contrôles de cohérence, a été mis en œuvre durant la phase de collecte des données du RGPH 2021. En complément, plusieurs indicateurs spécifiques permettent d'évaluer la qualité interne des données de mortalité. Pour le présent rapport, on a les taux de mortalité par âge, la courbe du rapport de masculinité des taux de mortalité par âge et les proportions des non déclarés liés à l'âge et au sexe des décédés.

#### a) Complétude de la déclaration des variables clés de la mortalité

Pour une analyse portant sur le phénomène de la mortalité à partir d'enquêtes/recensements, lorsque la proportion des non déclarés excède en général 5%, ce phénomène ne se prête pas à une étude. Dans le cas contraire, le phénomène peut être étudié en accordant une attention particulière aux proportions des non déclarés (ND).

Selon les données du RGPH 2021, la proportion des décès pour lesquels la variable âge n'a pas été renseignée est de 27,2%. De ce fait, les données ne se prêtent pas à une analyse de la mortalité si des ajustements ne sont pas faits.

Pour remédier à cette insuffisance mise en évidence par l'évaluation de la qualité des données, les non déclarés observés ont été répartis proportionnellement selon les âges déclarés.

Tableau 2.2 : Taux de non-réponse des variables de la mortalité

Variables	Effectifs	Effectifs des non déclarés (ND)	% des non déclarés (ND)
Sexe du décédé	283 226	0	0,0
Age au décès	283 226	76 959	27,2
Décès pendant la grossesse	1 312	0	0,0
Décès au cours de l'accouchement	2 147	0	0,0
Décès dans les 42 jours suivant l'accouchement	948	0	0,0

Source : ANStat, RGPH 2021

### b) Taux Brut de Mortalité (TBM)

La qualité des données sur les décès des douze derniers mois est également appréciée en calculant le taux brut de mortalité (TBM), les taux de mortalité par âge, les rapports de masculinité par âge des personnes décédées, les quotients de mortalité par âge et l'espérance de vie à la naissance.

On note que ce taux a diminué de 4,2 points en passant de 13,9% en 1998 à 9,7% en 2021 (Cf. Tableau 2.3). Ce résultat, proche du niveau des estimations de la Banque Mondiale qui est 9,0 en 2021.

Tableau 2.3 : Taux brut de mortalité de 1998 à 2021 (%)

Milieu de résidence	RGPH 2021	RGPH 98	RGPH 88
Abidjan	4,7	8,1	8,9
Urbain sans Abidjan	7,8	8,8	12,8
Rural	13,2	16,9	15
Ensemble	9,7	13,9	12,3

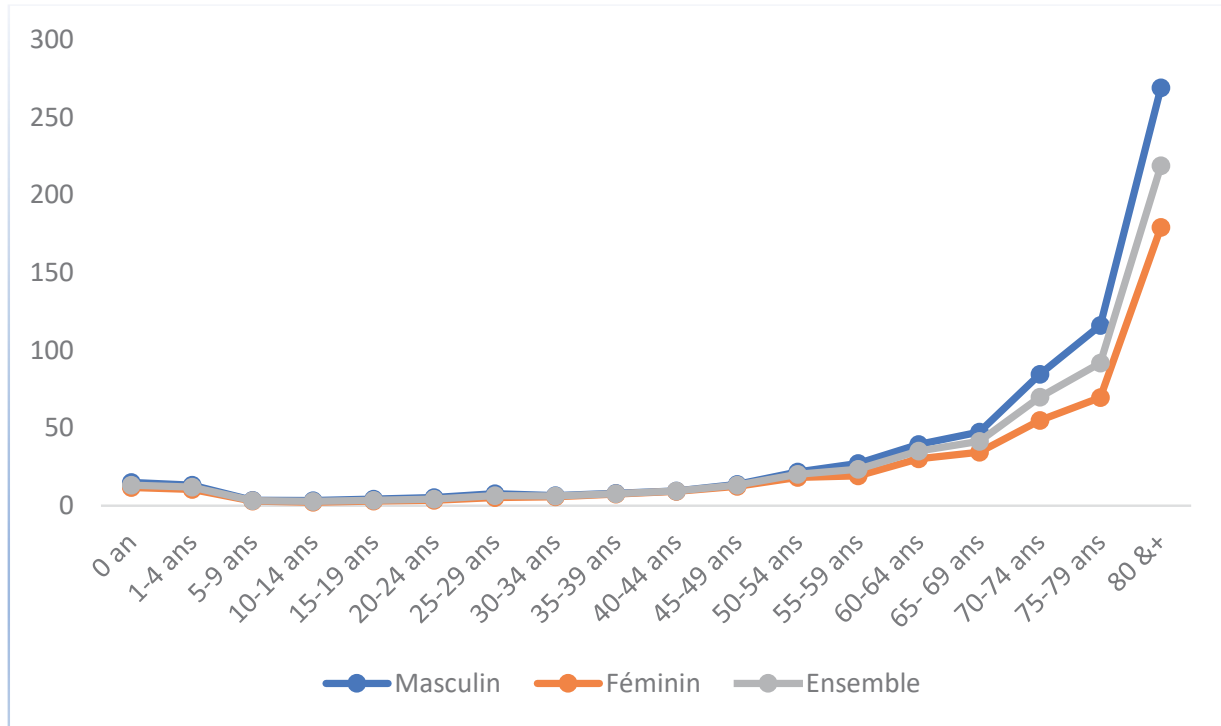
Source : ANStat, RGPH 1988, 1998, 2021

### c) Structure par sexe et par âge de la mortalité

En ce qui concerne la structure de la mortalité par âge selon le sexe dans les pays qui connaissent un niveau de mortalité élevé, à l'image de ceux de l'Afrique au sud du Sahara, la courbe des taux de mortalité par âge a une allure en forme de « U », ce qui signifie une surmortalité aux âges extrêmes (bas âges et âges élevés). Le schéma de mortalité de la Côte d'Ivoire obtenu à partir des données observées n'obéit pas à cette logique. Cette courbe présente une allure en J qui représente une mortalité plus élevée au-delà de 60 ans comparativement à la mortalité avant 5 ans qui est plus faible.

En effet, la structure de la mortalité par âge selon le sexe (cf. Graphique 2.1) cache des sous estimations importantes de décès avant 5 ans. Ainsi, il y ressort que la mortalité des enfants en bas âge est très faible contrairement à ce qu'on observe dans tous les pays au sud du Sahara avec une moyenne de 73% en 2021. Le taux de mortalité après 70 ans est également faible. Ces deux anomalies observées sur la courbe illustrent sans doute une sous-déclaration des décès à ces âges.

*Graphique 2.1 : Taux spécifique de mortalité (%) observés par âge selon le sexe*

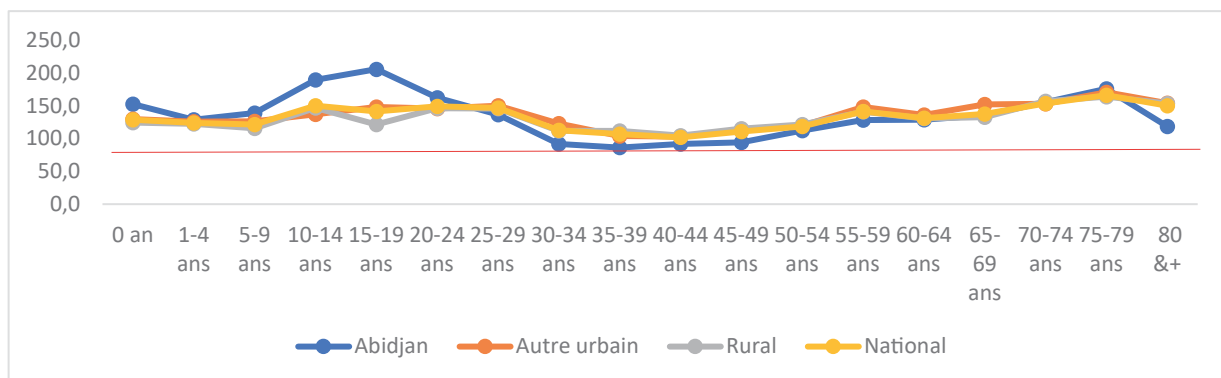


Source : ANStat, RGPH 2021

#### d) Rapport de masculinité des taux de mortalité par âge

Pour des données parfaites, le niveau de mortalité féminine est inférieur aux bas âges (avant 10 ans) et aux âges élevés (au-delà de 55 ans) à celui des hommes (Akoto E. M., 2000). Or, l'allure de la courbe du rapport de masculinité (graphique 2.2) montre une surmortalité masculine à tous les âges. Toutefois, cette surmortalité masculine baisse entre 25 et 55 ans qui correspond à la tranche d'âges où la fécondité est maximale et où les femmes sont par conséquent plus exposées au risque de décès maternel. Ces résultats montrent que les données présentent des aberrations dans la déclaration du sexe de l'enquêté.

*Graphique 2.2 : Rapport de masculinité des taux de mortalité par groupes d'âges*



Source : ANStat, RGPH 2021

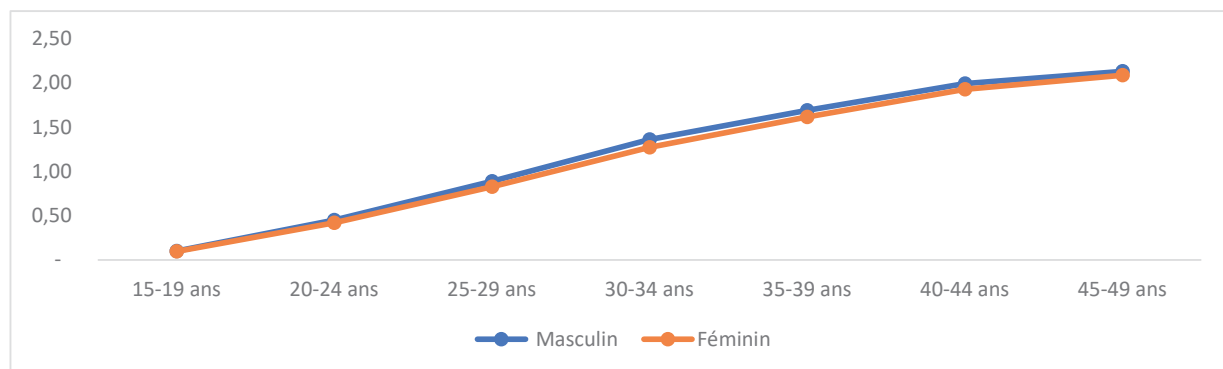
#### e) Survie des enfants

Les questions sur la survie des enfants s'adressaient aux femmes âgées de 12 ans et plus. Il s'agissait, pour chacune d'elles de donner le nombre d'enfants nés vivants qu'elle avait déjà eus au moment de l'interview et le nombre d'enfants qu'elle avait

encore en vie parmi ceux-ci à ce même moment. Ces informations sont recueillies et enregistrées selon le sexe de l'enfant et permettent une estimation indirecte des quotients de mortalité infantile et juvénile.

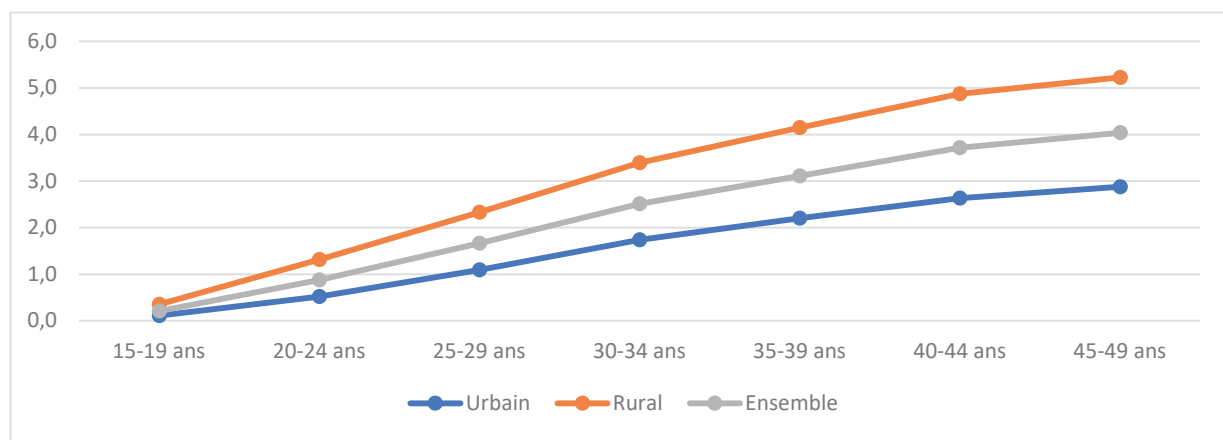
Le nombre moyen d'enfants nés vivants par femme devrait augmenter en principe régulièrement avec l'âge de la femme de 15 à 50 ans. Les graphiques 2.3 et 2.4 indiquent effectivement une augmentation régulière des parités moyennes selon le sexe de l'enfant et selon le milieu de résidence. En outre, les graphiques 2.4 et 2.5 montrent que la parité moyenne des enfants ne diffère pas fondamentalement selon le sexe, ce qui indique que les sexes des enfants nés vivants et des enfants survivants ont été bien déclarés. Il est aussi à noter qu'au regard des graphiques 2.4 et 2.6, que la parité moyenne en milieu rural est supérieure à celle du milieu urbain, quel que soit le groupe d'âges considéré. De tout ce qui précède, on peut conclure à une bonne qualité des données sur la survie des enfants pouvant conduire à une bonne estimation de la mortalité des enfants.

*Graphique 2.3 Parités moyennes des enfants nés vivants par groupe d'âges des mères selon le sexe de l'enfant*



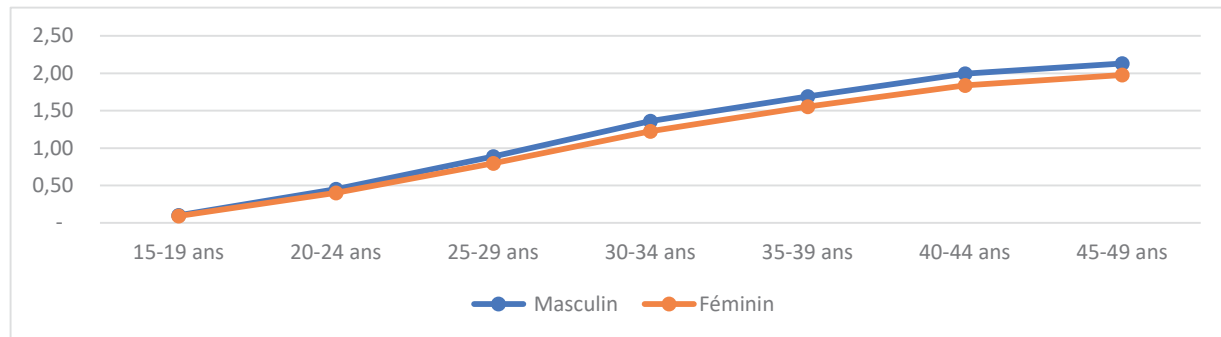
Source : ANStat, RGPH 2021

*Graphique 2.4 Parités moyennes des enfants nés vivants au total par groupe d'âges des mères selon le milieu de résidence.*



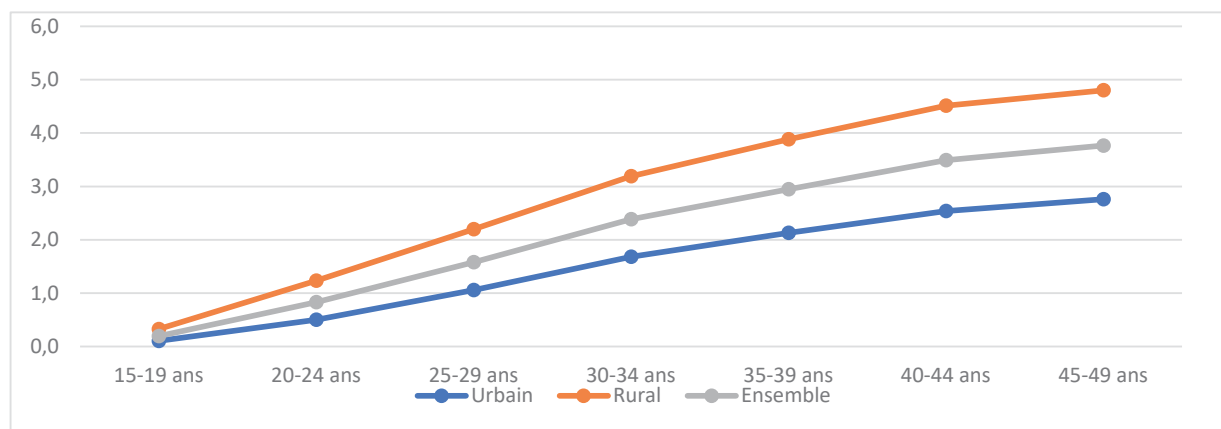
Source : ANStat, RGPH 2021

*Graphique 2.5 Parités moyennes des enfants survivants par groupe d'âges des mères selon le sexe de l'enfant.*



Source : ANStat, RGPH 2021

*Graphique 2.6 Parités moyennes des enfants survivants au total par groupe d'âges des mères selon le milieu de résidence.*



Source : ANStat, RGPH 2021

Les rapports de masculinité des enfants nés vivants présentés dans le tableau 2.4 sont légèrement au-dessus de la norme. En effet, il est communément admis que dans les populations d'origine africaine, ce rapport devrait se situer autour de 103 à 105 de manière générale, et ne devrait pas varier avec l'âge des mères. Ce qui n'est pas le cas avec les données du RGPH 2021. En effet, le rapport de masculinité par groupe d'âges des enfants survivants est d'une valeur minimale de 108,6 dans l'ensemble. Il est aussi à remarquer que les écarts les plus importants par rapport à la norme sont observés à la fois en milieu urbain et rural.

*Tableau 2.4 : Rapports de masculinité des enfants nés vivants par groupe d'âges des mères selon le milieu de résidence.*

Groupe d'âges	National		Urbain		Rural	
	Nés vivants	Encore en vie	Nés vivants	Encore en vie	Nés vivants	Encore en vie
15-19 ans	114,5	110,0	112,7	104,2	115,4	111,7
20-24 ans	115,8	112,0	115,7	108,4	115,9	112,4
25-29 ans	114,9	111,2	115,3	108,6	114,6	111,2
30-34 ans	114,8	111,0	114,5	107,7	115,0	111,4
35-39 ans	113,1	109,0	112,5	105,6	113,4	109,9
40-44 ans	112,8	108,4	112,2	104,5	113,1	109,4
45-49 ans	112,2	107,8	111,9	103,3	112,4	108,6
Ensemble	113,8	110,3	113,5	106,2	114,0	110,5

Source : ANStat, RGPH 2021

Enfin, de ce qui précède, on peut conclure que les données sur la survie des enfants peuvent servir à une estimation réaliste de la mortalité des enfants.

#### f) Survie des parents

La question sur la survie des parents biologiques a été posée à tous les membres des ménages recensés. Il s'agissait de savoir si le père biologique est encore en vie ou si la mère biologique est encore en vie. À l'une de ces questions, trois types de réponses ont été enregistrées : soit le parent en question est en vie, soit il ne l'est plus ou bien l'enquêté ne sait pas. Il ressort du tableau 2.5 que dans l'ensemble les niveaux de non déclaré sont faibles tant au niveau de la survie du père (1,3%), que pour la survie de la mère (1,4%). Ces taux bien que plus importants en milieu urbain qu'en milieu rural pour la survie du père, ne remettent pas en cause la qualité des données sur la survie des parents.

*Tableau 2.5 : Taux de non-réponse (%) de la question sur la survie des parents au RGPH-2021.*

Survie des parents	Milieu de résidence		
	Urbain	Rural	Ensemble
Survie de la mère	1,4	1,4	1,4
Survie du père	2,4	1,2	1,3

Source : ANStat, RGPH 2021

Les proportions de la population dont les parents biologiques sont en vie diminuent avec l'âge des enquêtés et cela s'explique par le fait que ceux qui sont plus jeunes ont encore majoritairement leurs parents en vie, contrairement à ceux qui sont plus âgés. Cette tendance est observée tant en milieu rural qu'urbain comme l'indique le tableau 2.6.

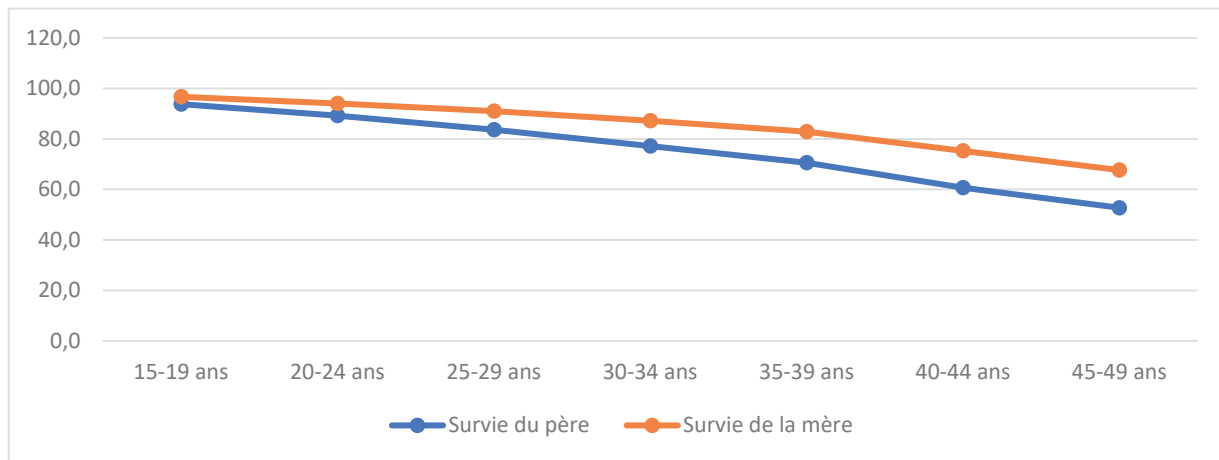
*Tableau 2.6 : Proportion de la population de 15 à 49 ans dont les parents biologiques sont en vie par groupe d'âges selon le milieu de résidence (%).*

Groupe d'âges	Survie du père			Survie de la mère		
	Urbain	Rural	Ensemble	Urbain	Rural	Ensemble
15-19 ans	94,1	93,6	93,8	97,0	96,6	96,7
20-24 ans	90,1	88,8	89,3	94,8	94,0	94,1
25-29 ans	84,9	83,0	83,6	91,9	91,2	91,1
30-34 ans	79,0	76,3	77,2	88,4	87,2	87,2
35-39 ans	72,9	69,4	70,5	84,5	82,7	82,9
40-44 ans	63,2	59,5	60,7	77,1	74,6	75,3
45-49 ans	55,7	51,4	52,8	70,0	66,3	67,7
<b>Ensemble</b>	<b>82,3</b>	<b>78,6</b>	<b>79,9</b>	<b>89,7</b>	<b>87,6</b>	<b>88,1</b>

Source : ANStat, RGPH 2021

Le graphique 2.7 illustre bien la surmortalité masculine. En effet, l'écart entre les deux courbes montre que les proportions des enquêtés dont le père est en vie sont inférieures aux proportions des enquêtés dont la mère est en vie. On peut alors conclure que les données sur la survie des parents semblent être de bonne qualité et peuvent servir convenablement à l'estimation de la mortalité adulte (espérance de vie à 20 ans).

*Graphique 2.7 Proportion de la population 15 à 49 ans dont les parents biologiques sont en vie par groupe d'âges (%)*



Source : ANStat, RGPH 2021

### 2.3.2 Évaluation externe de la qualité des données

L'évaluation externe de la qualité des données du RGPH 2021 sur la mortalité a été faite en comparant les indicateurs de mortalité calculés à partir des méthodes directes avec les valeurs trouvées à partir d'autres sources de données, notamment le RGPH 1988 et le RGPH 1998. Il s'agit des indicateurs tels que l'espérance de vie à la naissance , le quotient de mortalité infanto-juvénile et dans une certaine mesure le taux brut de mortalité (TBM).

Dans l'ensemble, les tendances à la baisse des taux bruts de mortalité et des quotients de mortalité infanto-juvénile sont cohérentes. Il en est de même pour l'augmentation de l'espérance de vie à la naissance comparativement aux années 1988 et 1998. Toutefois, les quotients de mortalité infanto-juvénile sont également très faibles selon le sexe et particulièrement bas. Ils confirment ainsi les réserves formulées plus haut à partir de l'allure en J des courbes de taux de mortalité, notamment la sous-estimation de la mortalité des enfants de moins de 5 ans.

*Tableau 2.7 : Évolution de quelques indicateurs de mortalité au cours de la période 1988 – 2021 avec les résultats issus des méthodes directes en 2021*

	TBM (%)			$(_5 q_0 \%)$			e₀ (en année)		
	Masculin	Féminin	Ensemble	Masculin	Féminin	Ensemble	Masculin	Féminin	Ensemble
RGPH-88	13,0	11,5	12,3	154,0	135,0	147,0	53,6	57,2	55,0
RGPH-98	14,9	13,0	13,9	180,3	160,4	170,6	58,8	56,7	57,7
RGPH-21	10,8	8,4	9,7	62,5	51,4	57,2	55,9	60,5	57,9

Source : ANStat, RGPH 1988, 1998, 2021

En ce qui concerne la comparaison des niveaux des indicateurs avec les autres sources de données, notamment les EDS, il en ressort une sous-estimation des décès. Cette sous-estimation est remarquable aux niveaux de la mortalité infantile et juvénile qui sont également en dehors des tendances d'évolution issues d'autres sources telles qu'elles transparaissent dans le tableau 2.8.

Tableau 2.8. Taux brut de mortalité observé issus du RGPH-2021 et des différentes sources (EDS)

	1q0 (%)			4q1 (%)			5q0 (%)		
	Masculin	Féminin	Ensemble	Masculin	Féminin	Ensemble	Masculin	Féminin	Ensemble
RGPH-21	12,1	10,5	11,1	51,0	41,4	46,4	62,5	51,4	57,2
EDS-2021	54,0	49,0	52,0	27,0	21,0	24,0	80,0	69,0	74,0
EDS-2012	90,0	61,0	68,0	47,0	40,0	43,0	133,0	98,0	108,0
EDS 1998	99,2	83,2	91,3	70,9	58,2	64,5	163,0	136,5	149,9

Source : ANStat, RGPH 1988, 1998, 2021

## 2.4 Conclusion sur l'évaluation des données

A l'issue de l'évaluation de la qualité des données sur les décès survenus dans les ménages au cours des 12 derniers mois ayant précédé le passage des agents recenseurs, on peut conclure que ces données sont entachées d'irrégularités.

En effet, la non-déclaration de certains décès, ainsi que les mauvaises déclarations de l'âge au décès et l'âge de la population dénombrée entraînent des erreurs dans le calcul des taux de mortalité par âge, avec comme conséquence directe la sous-estimation du niveau de la mortalité et des distorsions dans la structure de la mortalité.

Compte tenu des faiblesses constatées, les estimations de la mortalité (intensité et calendrier) réalisées dans le cadre de ce rapport ont utilisé les méthodes indirectes.

## 2.5 Méthode d'analyse

L'estimation de la mortalité par les méthodes indirectes a été faite pour le RGPH 2021 à deux niveaux. Elle porte sur les estimations de la mortalité infantile et l'appariement avec les données observées en utilisant le module LTPOPDT du Package PASEX<sup>10</sup> par le principe des tables types.

### 2.5.1 Mortalité infantile

Plusieurs techniques ont été développées pour l'estimation de la mortalité des enfants à partir des données imparfaites. Les informations qui sont requises pour calculer les différents indicateurs de la mortalité des enfants à partir des méthodes indirectes sont :

- a)** la descendance moyenne des femmes en âge de procréer (15-49 ans), classée par sexe des enfants et par groupe d'âges quinquennal de la mère ;
- b)** la proportion d'enfants survivants des femmes en âge de procréer, classée par sexe des enfants et par groupe d'âges quinquennal de la mère ;
- c)** l'âge moyen des mères à la naissance de leurs enfants.

Pour l'estimation de la mortalité, c'est la méthode de BRASS qui est employée. La relation fondamentale utilisée par BRASS est la suivante :  $q(x)=k(i)*D(i)^{11}$ ; où  $D(i)$  représente la proportion d'enfants décédés du groupe d'âges (i) de la mère, tandis que  $k(i)$  est un multiplicateur qui tient compte des facteurs autres que la mortalité.

<sup>10</sup> Ensemble d'outils et de méthodes développés par la Division de la Population des Nations Unies pour évaluer la qualité des données démographiques et effectuer des ajustements si nécessaire.

<sup>11</sup>  $P(i)$  : Parité moyenne des femmes du groupe d'âges i

i : Groupe quinquennal d'âges; Ainsi i=1 représente le 1er groupe : 15-19 ans, i=2 représente le 2e groupe : 20-24 ans, etc.

En effet, cette méthode permet de convertir la proportion d'enfants décédés parmi les enfants nés vivants déclarés par les femmes enquêtées en quotient de mortalité non-conditionnelle à un âge donné. Pour appliquer cette méthode, le logiciel MORTPAK (Nations Unies) a été utilisé à travers la procédure QFIVE.

### **2.5.2 Mortalité générale**

La mortalité générale a été estimée à travers le module LTPOPDTH du package PASEX. Cette méthode est basée sur un alignement du niveau de la mortalité infantile obtenu à l'aide de la procédure QFIVE de MORTPAK et la mortalité adulte, grâce aux tables type de Coale-Demeny, Région Ouest.

Les données entrées pour cette estimation sont le taux de mortalité infantile, le rapport de masculinité à la naissance, les effectifs des décès des douze derniers mois et les effectifs de la population classés par groupe d'âges quinquennal. Ces paramètres d'entrée ont été calculés pour chaque niveau d'analyse.



# Mortalité

RAPPORT THEMATIQUE | TOME 5

## **CHAPITRE III**

---

# **MORTALITÉ GÉNÉRALE**



### **3.1 Niveau et structure de la mortalité**

- 3.1.1 Niveau de la mortalité
- 3.1.2 Table de mortalité pour la Côte d'Ivoire
- 3.1.3. Espérance de vie à la naissance

### **3.2. Evolution de la mortalité générale**

- 3.2.1. Taux brut de mortalité
- 3.2.2. Espérance de vie à la naissance

# CHAPITRE 3 :

## MORTALITÉ GÉNÉRALE

Ce chapitre est consacré à l'analyse des niveaux et structures de la mortalité en Côte d'Ivoire pour l'année 2021. Il se fonde sur les estimations des niveaux de la mortalité obtenues à partir des méthodes démographiques d'analyses appropriées. Ces analyses ont été réalisées par sexe, âge, milieu de résidence et région.

### 3.1 Niveau et structure de la mortalité

#### 3.1.1 Niveau de la mortalité

##### a) Taux brut de mortalité

Selon les estimations issues du RGPH 2021, le Taux Brut de Mortalité (TBM) pour l'ensemble de la Côte d'Ivoire s'établit à 9,4 décès pour 1 000 habitants en 2021. Cela signifie qu'au cours de cette année, environ 9 individus sur 1 000 sont décédés.

Une différence notable est observée selon le sexe : le TBM des hommes (10,4‰) est supérieur à celui des femmes (8,2‰).

L'analyse selon le milieu de résidence révèle également des disparités importantes (Tableau 3.1) :

- ▶ Le niveau de mortalité est significativement plus élevé en milieu rural (12,5‰) qu'en milieu urbain (6,5‰).
- ▶ Au sein du milieu urbain, la ville d'Abidjan présente le TBM le plus bas (4,7‰), tandis que les autres villes affichent un taux de 7,6‰.

Tableau 3.1: Taux bruts de mortalité par milieu de résidence selon le sexe

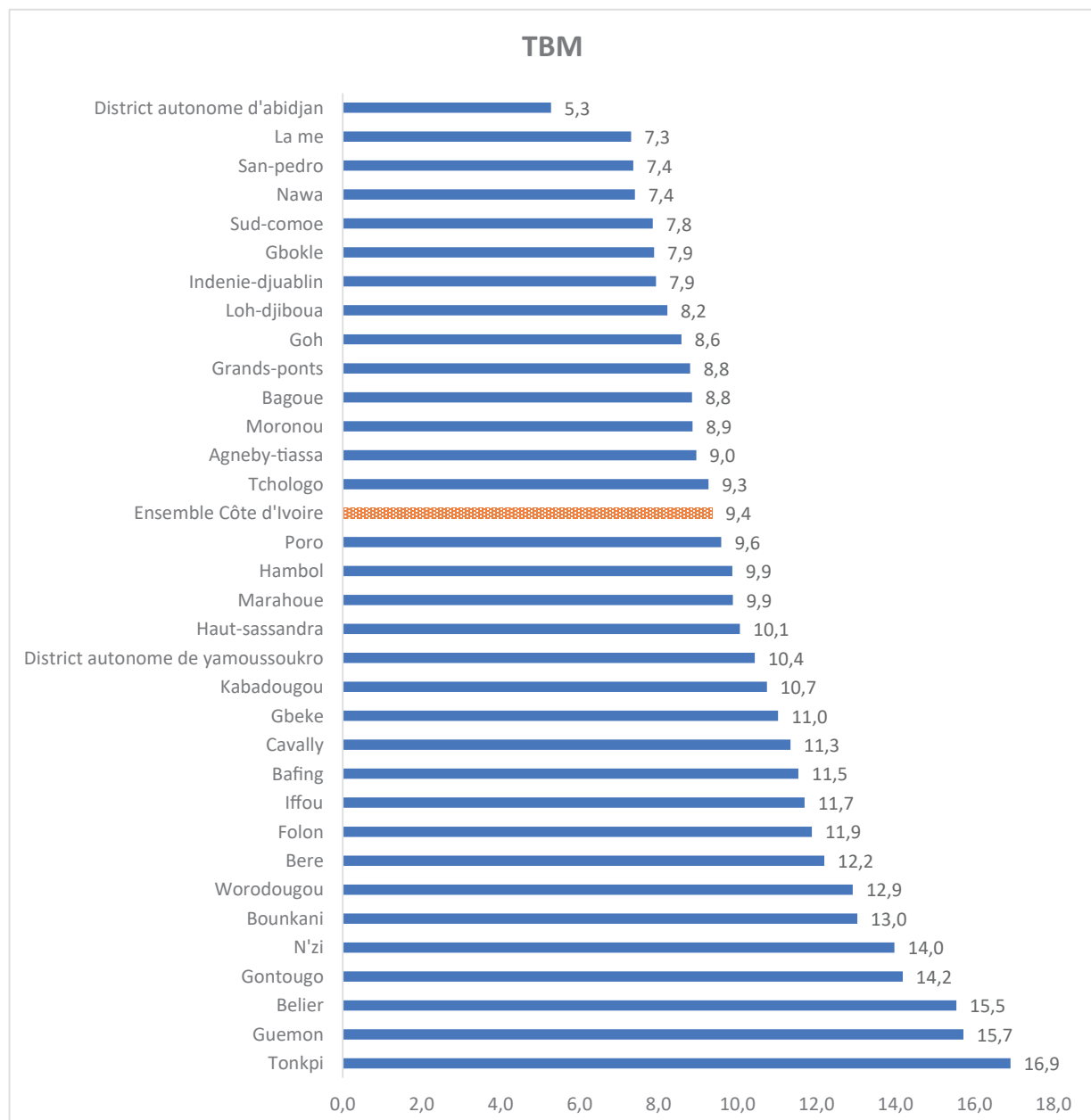
Milieu de résidence	Taux brut de mortalité (en ‰)		
	Masculin	Féminin	Ensemble
Abidjan	5,4	4,0	4,7
Autres villes	8,5	6,5	7,6
Ensemble Urbain	7,4	5,6	6,5
Rural	13,8	11,1	12,5
<b>Ensemble Côte d'Ivoire</b>	<b>10,4</b>	<b>8,2</b>	<b>9,4</b>

Source : ANStat, RGPH 2021

L'examen du TBM par région administrative met en évidence des variations géographiques notables. On peut distinguer deux grands groupes de régions :

1. Régions à TBM inférieur à la moyenne nationale (9,4‰) : Ce groupe inclut le District Autonome d'Abidjan, qui enregistre le niveau de mortalité le plus faible du pays (5,3‰). D'autres régions comme La Mé (7,3‰), San-Pédro et la Nawa (7,4‰) se situent également dans cette catégorie.
2. Régions à TBM supérieur à la moyenne nationale : Ces régions connaissent un niveau de mortalité générale plus élevé. Parmi elles, les TBM les plus importants sont observés dans les régions du Tonkpi (16,9‰), du Guémon (15,7‰), du Bélier (15,5‰), du Gontougo (14,2‰) et du N'Zi (14,0‰).

Graphique 3.1 : Taux brut de mortalité (en %) selon la région administrative



Source : ANStat, RGPH 2021

L'analyse désagrégée par sexe au niveau régional (Tableau 3.2) confirme la tendance nationale : les TBM observés chez les hommes sont systématiquement supérieurs à ceux des femmes dans toutes les régions. En moyenne, le TBM masculin est 1,3 fois plus élevé que le TBM féminin.

Tableau 3.2: Taux brut de mortalité par régions administratives selon le sexe

Région administrative	Taux brut de mortalité (en %)			Rapport de masculinité des quotients
	Masculin	Féminin	Ensemble	
District autonome d'Abidjan	6,0	4,5	5,3	1,3
Haut-Sassandra	11,4	8,6	10,1	1,3
Poro	10,9	8,2	9,6	1,3
Gbéké	11,9	10,1	11,0	1,2

Région administrative	Taux brut de mortalité (en %)			Rapport de masculinité des quotients
	Masculin	Féminin	Ensemble	
Indenie-djuablin	8,6	7,1	7,9	1,2
Tonkpi	18,2	15,4	16,9	1,2
District autonome de Yamoussoukro	11,3	9,5	10,4	1,2
Gontougo	15,7	12,5	14,2	1,3
San-pedro	8,4	6,1	7,4	1,4
Kabadougou	12,0	9,3	10,7	1,3
N'Zi	15,5	12,4	14,0	1,2
Marahoue	11,3	8,3	9,9	1,4
Sud-comoe	8,8	6,9	7,8	1,3
Worodougou	14,3	11,4	12,9	1,3
Loh-djiboua	9,2	7,1	8,2	1,3
Agneby-tiassa	9,6	8,2	9,0	1,2
Goh	9,4	7,7	8,6	1,2
Cavally	12,0	10,5	11,3	1,1
Bafing	12,9	10,0	11,5	1,3
Bagoue	9,8	7,8	8,8	1,2
Belier	16,7	14,3	15,5	1,2
Béré	13,4	10,8	12,2	1,2
Bounkani	15,0	11,0	13,0	1,4
Folon	12,9	10,7	11,9	1,2
Gbokle	9,1	6,5	7,9	1,4
Grands-ponts	9,5	8,0	8,8	1,2
Guemon	16,8	14,5	15,7	1,2
Hambol	11,1	8,6	9,9	1,3
La Mé	8,0	6,6	7,3	1,2
Iffou	13,0	10,3	11,7	1,3
Nawa	8,5	6,1	7,4	1,4
Tchologo	10,6	7,9	9,3	1,3
Moronou	9,2	8,5	8,9	1,1
<b>Ensemble Côte d'Ivoire</b>	<b>10,4</b>	<b>8,2</b>	<b>9,4</b>	<b>1,3</b>

Source : ANStat, RGPH 2021

### 3.1.2 Table de mortalité pour la Côte d'Ivoire

Les tables de mortalité, générées par des méthodes indirectes (notamment via le module LTPOPDTH du logiciel PASEX), décrivent le schéma de mortalité en Côte d'Ivoire pour l'ensemble de la population, par sexe, et selon le milieu de résidence. Elles fournissent un ensemble complet d'indicateurs de mortalité par âge.

Au niveau national (Tableau 3.3), la table de mortalité indique que l'espérance de vie à la naissance ( $e_0$ ) est de 61,2 ans pour les deux sexes confondus. Cela signifie

qu'un nouveau-né, s'il était soumis tout au long de sa vie aux conditions de mortalité prévalant en 2021, vivrait en moyenne 61,2 ans.

L'espérance de vie à un an ( $e_1$ ) s'élève à 64,0 ans, soit un gain de 2,8 années par rapport à  $e_0$ . Ce gain illustre l'impact encore significatif de la mortalité infantile sur l'espérance de vie à la naissance : un enfant qui survit à sa première année a une probabilité de vivre plus longtemps. Le quotient de mortalité infantile ( $q_0$ ) est de 58,5%. La probabilité de décéder (quotient de mortalité  $q(x)$ ) est très élevée durant la première année de vie, diminue rapidement pour atteindre son minimum entre 10 et 15 ans, puis remonte progressivement jusqu'aux environs de 45 ans, avant de s'accélérer brusquement à partir de 60 ans.

Les Tableaux 3.4, 3.5, 3.6 et 3.7 concernent les tables de mortalité respectivement de la ville d'Abidjan, des autres villes, du milieu urbain et du milieu rural.

*Tableau 3.3 : Table de mortalité de la Côte d'Ivoire selon le sexe*

x = âge	Sexes confondus				Sexe masculin				Sexe féminin			
	q(x) <sup>12</sup>	m(x) <sup>13</sup>	I(x) <sup>14</sup>	e(x) <sup>15</sup>	q(x)	m(x)	I(x)	e(x)	q(x)	m(x)	I(x)	e(x)
0	58,5	61,3	100 000	61,2	60,8	63,8	100 000	59,2	55,1	57,6	100 000	63,9
1	32,4	8,3	94 150	64,0	35,5	9,1	93 920	62,0	29,1	7,4	94 490	66,6
5	11,2	2,3	91 099	62,1	12,2	2,5	90 582	60,2	10,2	2,0	91 745	64,5
10	9,7	1,9	90 075	57,8	11,5	2,3	89 474	55,9	7,7	1,5	90 812	60,2
15	12,5	2,5	89 203	53,4	14,4	2,9	88 448	51,5	10,3	2,1	90 111	55,6
20	15,0	3,0	88 092	49,0	17,8	3,6	87 174	47,3	12,1	2,4	89 184	51,2
25	22,1	4,5	86 775	44,7	26,3	5,3	85 627	43,1	18,1	3,7	88 109	46,8
30	21,2	4,3	84 853	40,7	22,3	4,5	83 378	39,2	20,0	4,0	86 511	42,6
35	26,4	5,3	83 058	36,5	27,0	5,5	81 518	35,0	25,6	5,2	84 781	38,4
40	32,3	6,6	80 869	32,4	32,4	6,6	79 313	30,9	32,1	6,5	82 611	34,4
45	45,1	9,2	78 260	28,4	46,8	9,6	76 746	26,8	42,7	8,7	79 958	30,4
50	67,7	14,0	74 731	24,6	72,2	15,0	73 154	23,0	61,9	12,8	76 542	26,7
55	78,4	16,3	69 675	21,2	89,9	18,8	67 874	19,6	65,0	13,4	71 804	23,2
60	115,0	24,4	64 213	17,8	128,1	27,4	61 774	16,3	100,0	21,0	67 140	19,7
65	134,3	28,8	56 829	14,8	151,9	32,9	53 862	13,4	113,7	24,1	60 429	16,6
70	216,6	48,6	49 198	11,7	255,1	58,5	45 682	10,3	175,3	38,4	53 559	13,4
75	275,3	63,8	38 542	9,3	334,2	80,2	34 029	8,0	217,1	48,7	44 170	10,7
80	430,7	109,8	27 932	6,8	516,8	139,4	22 658	5,7	357,3	87,0	34 579	8,0
85	575,7	161,7	15 903	5,1	697,2	214,1	10 948	4,2	473,4	124,0	22 226	6,1
90	658,3	196,2	6 748	3,6	792,5	262,5	3 315	3,1	557,9	154,8	11 703	4,3
95	1 305,7	752,3	2 306	0,8	1 441,0	1 031,1	688	0,3	1 165,3	558,4	5 174	1,5
100	1 000,0	332,3		3,0	1 000,0	389,3	-	2,6	1 000,0	292,4	-	3,4

Source : ANStat, RGPH 2021

<sup>12</sup> Quotient de mortalité à l'âge x en pour mille (%)

<sup>13</sup> Taux de mortalité à l'âge x en pour mille (%)

<sup>14</sup> Survivants à l'âge x

<sup>15</sup> Espérance de vie à l'âge x en année

Tableau 3.4 : Table de mortalité de la ville d'Abidjan selon le sexe

x = âge	Sexes confondus				Sexe masculin				Sexe féminin				
	q(x)	m(x)	l(x)	e(x)	q(x)	m(x)	l(x)	e(x)	q(x)	m(x)	l(x)	e(x)	
0	44,8	46,5	100 000	69,5	46,5	48,4	100 000	67,6	42,2	43,7	100 000	71,8	
1	16,6	4,2	95 520	71,8	18,4	4,7	95 350	69,9	14,7	3,7	95 780	74,0	
5	7,1	1,4	93 933	68,9	8,2	1,6	93 592	67,2	6,0	1,2	94 373	71,1	
10	6,6	1,3	93 268	64,4	8,7	1,7	92 829	62,7	4,7	0,9	93 807	66,5	
15	7,5	1,5	92 653	59,8	10,3	2,1	92 025	58,2	5,2	1,0	93 368	61,8	
20	7,9	1,6	91 956	55,3	9,8	2,0	91 073	53,8	6,2	1,2	92 887	57,1	
25	10,7	2,2	91 228	50,7	12,3	2,5	90 183	49,3	9,2	1,9	92 313	52,4	
30	11,0	2,2	90 250	46,2	10,4	2,1	89 075	44,9	11,5	2,3	91 462	47,9	
35	13,1	2,6	89 261	41,7	12,1	2,4	88 151	40,3	14,3	2,9	90 406	43,4	
40	17,2	3,5	88 088	37,2	16,3	3,3	87 087	35,8	18,2	3,7	89 112	39,0	
45	24,6	5,0	86 577	32,8	23,8	4,8	85 664	31,3	25,7	5,2	87 487	34,7	
50	38,8	7,9	84 450	28,6	40,2	8,2	83 628	27,0	36,7	7,5	85 236	30,6	
55	47,0	9,6	81 176	24,6	51,8	10,6	80 263	23,1	41,5	8,5	82 107	26,6	
60	74,5	15,5	77 359	20,7	81,9	17,1	76 108	19,2	65,7	13,6	78 703	22,7	
65	94,2	19,8	71 593	17,2	105,0	22,2	69 874	15,7	80,4	16,8	73 535	19,1	
70	158,8	34,5	64 853	13,7	184,6	40,7	62 537	12,2	125,4	26,8	67 622	15,5	
75	226,6	51,1	54 553	10,8	276,9	64,3	50 994	9,4	170,4	37,3	59 139	12,4	
80	340,8	82,2	42 192	8,3	407,8	102,5	36 873	7,1	280,8	65,3	49 060	9,5	
85	471,3	123,3	27 813	6,3	591,0	167,8	21 835	5,3	378,0	93,2	35 284	7,2	
90	577,0	162,2	14 705	4,7	600,2	171,5	8 930	4,3	562,7	156,6	21 947	5,0	
95	987,6	390,2	6 220	2,6	1 072,8	462,8	3 570	1,9	908,7	333,1	9 597	3,3	
100	1 000,0	177,5		77	5,6	1 000,0	182,8		5,5	1 000,0	174,1	876	5,7

Source : ANStat, RGPH 2021

Tableau 3.5 : Table de mortalité des autres villes selon le sexe

x = âge	Sexes confondus				Sexe masculin				Sexe féminin			
	q(x)	m(x)	l(x)	e(x)	q(x)	m(x)	l(x)	e(x)	q(x)	m(x)	l(x)	e(x)
0	52,5	54,8	100 000	63,4	54,5	57,0	100 000	61,2	49,5	51,5	100 000	66,3
1	26,0	6,6	94 750	65,9	28,6	7,3	94 550	63,7	23,2	5,9	95 050	68,7
5	10,4	2,1	92 289	63,7	11,6	2,3	91 849	61,5	9,1	1,8	92 843	66,3
10	8,0	1,6	91 330	59,3	9,1	1,8	90 782	57,2	6,8	1,4	91 998	61,9
15	8,8	1,8	90 600	54,8	10,4	2,1	89 955	52,7	7,1	1,4	91 374	57,3
20	11,8	2,4	89 799	50,2	13,9	2,8	89 021	48,3	9,5	1,9	90 729	52,7
25	20,0	4,0	88 740	45,8	24,0	4,9	87 784	43,9	16,2	3,3	89 864	48,2
30	18,8	3,8	86 967	41,7	20,7	4,2	85 678	39,9	16,9	3,4	88 411	43,9
35	24,9	5,0	85 334	37,4	25,3	5,1	83 903	35,7	24,5	5,0	86 919	39,6
40	29,8	6,1	83 209	33,3	29,9	6,1	81 781	31,6	29,7	6,0	84 792	35,6
45	42,5	8,7	80 729	29,3	44,3	9,1	79 334	27,5	39,9	8,1	82 278	31,6
50	61,4	12,7	77 298	25,4	65,9	13,6	75 816	23,6	55,7	11,5	78 992	27,8
55	73,7	15,3	72 554	21,9	85,9	18,0	70 824	20,1	60,1	12,4	74 594	24,3
60	106,6	22,5	67 205	18,5	120,6	25,7	64 739	16,8	90,6	19,0	70 110	20,7
65	127,2	27,2	60 043	15,4	149,8	32,4	56 933	13,7	101,0	21,3	63 758	17,5
70	201,9	44,9	52 403	12,3	239,4	54,4	48 406	10,7	161,5	35,1	57 318	14,2
75	254,6	58,4	41 825	9,8	311,3	73,7	36 816	8,3	199,4	44,3	48 061	11,4
80	402,1	100,7	31 174	7,2	500,8	133,6	25 354	5,9	320,5	76,3	38 479	8,6
85	542,1	148,7	18 640	5,4	672,0	202,4	12 658	4,4	435,8	111,4	26 146	6,5
90	636,4	186,7	8 535	3,9	767,7	249,2	4 151	3,2	544,7	149,7	14 752	4,6
95	1 190,9	588,7	3 103	1,4	1 347,4	825,9	964	0,7	1 043,6	436,5	6 716	2,2
100	1 000,0	298,6		3,3	1 000,0	373,9		2,7	1 000,0	251,9		4,0

Source : ANStat, RGPH 2021

Tableau 3.6 : Table de mortalité du milieu urbain selon le sexe

x = âge	Sexes confondus				Sexe masculin				Sexe féminin			
	q(x)	m(x)	I(x)	e(x)	q(x)	m(x)	I(x)	e(x)	q(x)	m(x)	I(x)	e(x)
0	51,8	54,0	100 000	65,4	53,7	56,1	100 000	63,3	48,8	50,8	100 000	68,0
1	22,9	5,8	94 820	67,9	25,3	6,4	94 630	65,9	20,4	5,2	95 120	70,5
5	9,3	1,9	92 646	65,5	10,5	2,1	92 237	63,5	8,1	1,6	93 177	68,0
10	7,6	1,5	91 780	61,1	9,0	1,8	91 266	59,2	6,1	1,2	92 422	63,5
15	8,4	1,7	91 085	56,5	10,4	2,1	90 446	54,7	6,4	1,3	91 855	58,9
20	10,3	2,1	90 317	52,0	12,4	2,5	89 508	50,2	8,2	1,6	91 266	54,2
25	16,1	3,2	89 385	47,5	19,1	3,9	88 399	45,8	13,3	2,7	90 519	49,7
30	15,5	3,1	87 945	43,3	16,4	3,3	86 711	41,7	14,7	3,0	89 318	45,3
35	20,0	4,0	86 581	38,9	19,8	4,0	85 291	37,3	20,2	4,1	88 008	40,9
40	24,5	5,0	84 850	34,6	24,2	4,9	83 602	33,0	24,9	5,0	86 230	36,7
45	35,0	7,1	82 774	30,5	35,6	7,3	81 581	28,8	34,1	6,9	84 087	32,6
50	52,4	10,8	79 878	26,5	55,4	11,4	78 674	24,8	48,4	9,9	81 222	28,7
55	63,5	13,1	75 693	22,8	72,7	15,1	74 314	21,1	53,1	10,9	77 292	25,0
60	94,7	19,9	70 885	19,2	106,1	22,4	68 912	17,5	81,5	17,0	73 188	21,3
65	115,3	24,5	64 170	15,9	133,2	28,5	61 602	14,3	93,8	19,7	67 220	17,9
70	188,1	41,5	56 773	12,7	220,8	49,6	53 397	11,1	150,7	32,6	60 916	14,5
75	246,4	56,2	46 096	10,0	300,7	70,8	41 607	8,6	191,3	42,3	51 734	11,7
80	386,9	95,9	34 739	7,5	477,0	125,3	29 095	6,2	311,0	73,6	41 840	8,8
85	525,4	142,5	21 298	5,6	653,3	194,0	15 216	4,5	421,9	106,9	28 830	6,7
90	624,2	181,5	10 108	4,0	735,3	232,6	5 276	3,4	548,6	151,2	16 667	4,7
95	1 144,6	535,2	3 799	1,6	1 285,3	719,4	1 396	0,9	1 012,7	410,3	7 524	2,4
100	1 000,0	265,3		3,8	1 000,0	321,0		3,1	1 000,0	230,6	0,0	4,3

Source : ANStat, RGPH 2021

Tableau 3.6 : Table de mortalité du milieu urbain selon le sexe

x = âge	Sexes confondus				Sexe masculin				Sexe féminin			
	q(x)	m(x)	I(x)	e(x)	q(x)	m(x)	I(x)	e(x)	q(x)	m(x)	I(x)	e(x)
0	64,1	67,4	100 000	57,4	66,6	70,2	100 000	55,4	60,4	63,3	100 000	60,1
1	40,3	10,4	93 590	60,3	44,0	11,3	93 340	58,3	36,3	9,3	93 960	62,9
5	12,8	2,6	89 814	58,8	13,6	2,7	89 229	56,9	12,0	2,4	90 545	61,2
10	12,0	2,4	88 661	54,5	14,0	2,8	88 014	52,7	9,6	1,9	89 462	56,9
15	18,6	3,8	87 594	50,2	20,2	4,1	86 779	48,4	16,7	3,4	88 599	52,5
20	21,2	4,3	85 963	46,1	24,8	5,0	85 029	44,3	17,3	3,5	87 116	48,3
x = âge	q(x)	m(x)	I(x)	e(x)	q(x)	m(x)	I(x)	e(x)	q(x)	m(x)	I(x)	e(x)
25	29,9	6,1	84 144	42,0	35,2	7,2	82 917	40,4	24,5	5,0	85 609	44,1
30	28,2	5,7	81 630	38,2	29,5	6,0	79 996	36,8	26,8	5,4	83 510	40,2
35	34,3	7,0	79 329	34,3	35,8	7,3	77 633	32,8	32,5	6,6	81 272	36,2
40	41,8	8,5	76 609	30,4	42,6	8,7	74 852	28,9	40,8	8,3	78 630	32,3
45	57,1	11,8	73 406	26,6	60,4	12,5	71 666	25,1	52,7	10,8	75 419	28,6
50	83,9	17,5	69 212	23,1	90,5	19,0	67 336	21,6	75,7	15,7	71 441	25,1
55	93,3	19,6	63 404	20,0	106,7	22,5	61 239	18,5	77,2	16,1	66 031	21,9
60	135,3	29,0	57 490	16,8	150,3	32,5	54 705	15,4	118,2	25,1	60 935	18,5
65	152,8	33,1	49 714	14,0	170,5	37,3	46 481	12,6	132,6	28,4	53 735	15,7
70	240,6	54,7	42 116	11,1	285,5	66,6	38 557	9,7	194,8	43,2	46 608	12,7
75	297,2	69,8	31 983	8,8	360,1	87,8	27 548	7,6	236,3	53,6	37 529	10,2
80	460,2	119,6	22 479	6,5	543,5	149,3	17 629	5,5	388,8	96,5	28 662	7,5
85	607,9	174,7	12 134	4,8	724,4	227,2	8 048	4,0	507,4	136,0	17 518	5,7
90	678,2	205,3	4 757	3,5	823,3	279,9	2 218	2,9	563,8	157,0	8 629	4,1
95	1 385,4	901,6	1 531	0,5	1 512,3	1 240,2	100 000	0,0	1 246,7	662,0	3 764	1,2
100	1 000,0	380,2		2,6	1 000,0	432,5		2,3	1 000,0	340,3		2,9

Source : ANStat, RGPH 2021

### 3.1.3. Espérance de vie à la naissance

L'ensemble des espérances de vie à la naissance issues des tables de mortalité ci-dessus sont reprises dans le Tableau 3.8. Il en ressort au niveau national, que l'écart entre l'espérance de vie des hommes et celle des femmes est d'environ 4,7 ans en faveur des femmes alors que cet écart entre le milieu urbain et le milieu rural est d'environ 8 ans en faveur du milieu urbain. Cette espérance de vie est plus élevée dans la ville d'Abidjan que partout ailleurs avec un niveau de 69,5 ans dont 71,8 ans pour les femmes et 67,6 ans pour les hommes.

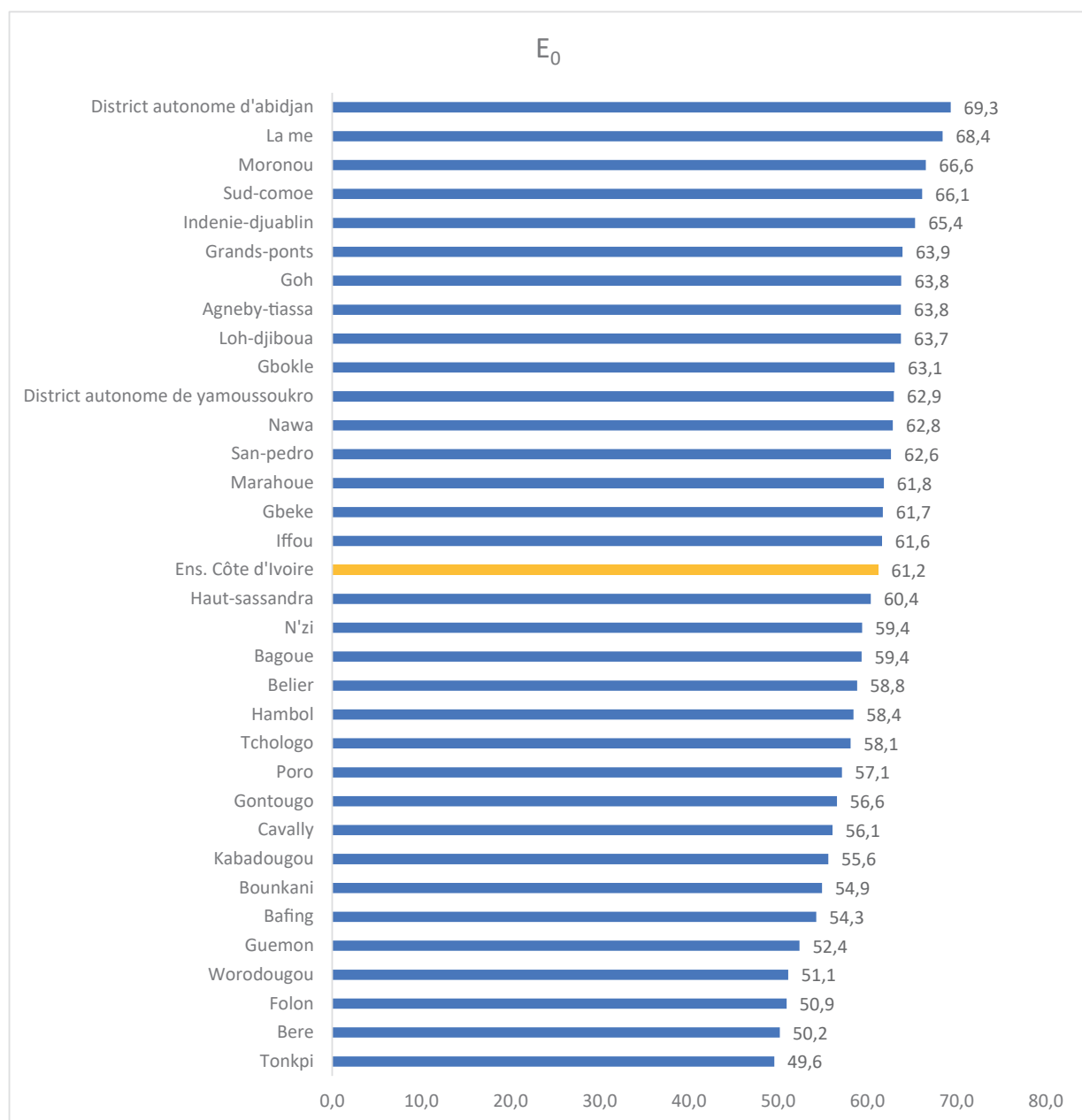
*Tableau 3.8 : Espérance de vie à la naissance par milieu de résidence selon le sexe*

Milieu de résidence	Espérances de vie à la naissance en Côte d'Ivoire 2021		
	Homme	Femme	Ensemble
Abidjan	67,6	71,8	69,5
Autres villes	63,7	66,3	63,4
Ensemble urbain	63,0	68,0	65,5
Ensemble rural	55,4	60,1	57,4
<b>Ensemble Côte d'Ivoire</b>	<b>59,2</b>	<b>63,9</b>	<b>61,2</b>

Source : ANStat, RGPH 2021

Les disparités régionales de l'espérance de vie à la naissance sont également marquées. Quinze régions ont une espérance de vie supérieure à la moyenne nationale, le District Autonome d'Abidjan (69,3 ans) et la région de La Mé (68,4 ans) enregistrant les niveaux les plus élevés. À l'inverse, dix-huit régions présentent une espérance de vie inférieure à la moyenne nationale, les niveaux les plus faibles étant observés dans les régions du Tonkpi (49,6 ans), du Béré (50,2 ans) et du Folon (50,9 ans).

Graphique 3.2 : Espérance de vie à la naissance selon la région administrative (pour les 2 sexes)



Source : ANStat, RGPH 2021

L'analyse de l'espérance de vie par sexe au niveau régional (Tableau 3.9) confirme la surmortalité masculine : l'espérance de vie des femmes est supérieure à celle des hommes dans toutes les régions. L'écart moyen national de 4,7 ans masque des variations régionales, avec des écarts plus importants dans des régions comme le N'Zi (8,9 ans) et l'Iffou (7,3 ans), et un écart plus faible dans la région du Cavally (1,1 an).

Tableau 3.9 : Espérance de vie à la naissance (en années) par sexe selon la région de résidence

Région administrative	Espérance de vie à la naissance			Écart entre les femmes et les hommes
	Homme	Femme	Ensemble	
District autonome d'Abidjan	67,2	71,9	69,3	4,7
Haut-Sassandra	58,4	62,9	60,4	4,5

Région administrative	Espérance de vie à la naissance			Écart entre les femmes et les hommes
	Homme	Femme	Ensemble	
Poro	54,7	60,1	57,1	5,5
Gbèkè	59,2	64,5	61,7	5,2
Indenie-djuablin	63,6	67,6	65,4	4,0
Tonkpi	47,8	51,8	49,6	4,1
District autonome de Yamoussoukro	61,4	64,7	62,9	3,3
Gontougo	53,7	60,0	56,6	6,3
San-pedro	60,9	63,4	62,6	2,5
Kabadougou	52,7	59,4	55,6	6,7
N'Zi	55,2	64,1	59,4	8,9
Marahoué	59,4	65,0	61,8	5,6
Sud-comoe	64,3	68,4	66,1	4,1
Worodougou	48,9	54,0	51,1	5,1
Loh-djiboua	61,4	66,8	63,7	5,4
Agneby-tiassa	62,6	65,3	63,8	2,7
Goh	62,4	65,4	63,8	3,0
Cavally	55,6	56,7	56,1	1,1
Bafing	52,3	56,8	54,3	4,5
Bagoué	56,9	62,2	59,4	5,4
Belier	56,0	61,9	58,8	5,9
Béré	48,9	51,9	50,2	3,0
Bounkani	52,3	58,0	54,9	5,7
Folon	49,5	52,7	50,9	3,3
Gboklé	61,3	65,3	63,1	4,1
Grands-ponts	61,8	66,5	63,9	4,7
Guemon	51,2	53,9	52,4	2,7
Hambol	55,6	62,1	58,4	6,5
La Mé	66,1	71,3	68,4	5,3
Iffou	58,3	65,6	61,6	7,3
Nawa	61,2	65,2	62,8	4,0
Tchologo	55,9	61,0	58,1	5,1
Moronou	64,7	68,7	66,6	4,0
<b>Ensemble Côte d'Ivoire</b>	<b>59,2</b>	<b>63,9</b>	<b>61,2</b>	<b>4,7</b>

Source : ANStat, RGPH 2021

### 3.2. Évolution de la mortalité générale

#### 3.2.1. Taux brut de mortalité

Le taux brut de mortalité qui avait connu une hausse entre 1988 et 1998 est en baisse entre 1998 et 2021. Il est passé de 13,9‰ en 1998 à 9,4‰ en 2021, soit une réduction d'environ 3 décès pour mille individus en 23 ans.

Une analyse selon le sexe et le milieu de résidence nous montre la même tendance et les mêmes ordres de grandeur chez les femmes et chez les hommes. En effet, le TBM est passé chez les hommes de 14,9‰ en 1998 à 10,4‰ en 2021 soit une baisse de 4,5‰. Tandis que chez les femmes, il est passé de 13,0‰ en 1998 à 8,2‰ en 2021 soit une baisse de 4,8‰.

En outre, en milieu urbain, il est passé de 8,8‰ en 1998 à 6,5‰ en 2021 et de 16,9‰ en 1998 en milieu rural à 12,5‰ en 2021. Ces chiffres montrent que la baisse en milieu rural est plus élevée que celle du milieu urbain avec respectivement 4,4‰ contre 2,3‰ points de baisse comme l'indique le tableau 3.10 ci-dessous.

*Tableau 3.10 : Évolution des taux bruts de mortalité à différentes dates selon le sexe, le milieu de résidence et la nationalité de 1988 à 2021*

Caractéristique	Taux brut de mortalité		
	RGPH 88	RGPH 98	RGPH 2021
<b>Sexe</b>			
Homme	13,0	14,9	10,4
Femme	11,5	13,0	8,2
<b>Milieu de résidence</b>			
Abidjan	6,9	8,1	4,7
Autres villes			7,6
Urbain	8,9	8,8	6,5
Rural	15,0	16,9	12,5
<b>Ensemble Côte d'Ivoire</b>	<b>12,3</b>	<b>13,9</b>	<b>9,4</b>

Source : ANStat, RGPH 2021

### 3.2.2. Espérance de vie à la naissance

L'espérance de vie à la naissance en Côte d'Ivoire a connu une évolution significative sur les trois dernières décennies. Après une baisse entre 1988 (55,0 ans) et 1998 (50,9 ans), elle a considérablement augmenté pour atteindre 61,2 ans en 2021. Cela représente un gain de 10,3 années entre 1998 et 2021, soit un gain annuel moyen d'environ 0,45 an sur cette période.

*Graphique 3.3 : Évolution de l'espérance de vie à la naissance de 1988 à 2021*



Source : ANStat, RGPH 1988, 1998, 2021

Ce gain en espérance de vie entre 1998 et 2021 est généralisé. Il est de 10,0 ans chez les hommes (passant de 49,2 à 59,2 ans) et de 11,2 ans chez les femmes (passant de 52,7 à 63,9 ans). Selon le milieu de résidence, le gain est particulièrement marqué à Abidjan (+11,3 ans) et en milieu rural (+9,8 ans), comparativement à l'ensemble du milieu urbain (+7,7 ans).

Tableau 3.11 : Espérance de vie à la naissance par milieu de résidence, sexe et nationalité de 1988 à 2021

Caractéristiques	Espérance de vie à la naissance ( $e_0$ )			Évolution de l'espérance de vie ( $e_0$ )	
	RGPH-88	RGPH-98	RGPH-2021	1988-1998	1998-2021
<b>Sexe</b>					
Homme	53,6	49,2	59,2	-4,4	10,0
Femme	57,0	52,7	63,9	-4,3	11,2
<b>Milieu de résidence</b>					
Abidjan	64,0	58,2	69,5	-5,8	11,3
Autres villes	61,0		63,4		
Ensemble urbain	61,1	57,7	65,4	-3,4	7,7
Ensemble rural	52,8	47,6	57,4	-5,2	9,8
<b>Ensemble Côte d'Ivoire</b>	55,0	50,9	61,2	-4,1	10,3

Source : ANStat, RGPH 1988, 1998, 2021



Mortalité

RAPPORT THEMATIQUE | TOME 5

**CHAPITRE IV**

---

**MORTALITÉ  
DES ENFANTS**



#### **4.1. Niveau et structure de la mortalité des enfants**

- 4.1.1 Mortalité infantile
- 4.1.2 Mortalité juvénile
- 4.1.3 Mortalité infanto-juvénile

#### **4.2. Évolution de la mortalité des enfants**

# CHAPITRE 4 : MORTALITÉ DES ENFANTS

La mortalité aux jeunes âges, c'est-à-dire celle des enfants de 0 à 4 ans révolus, constitue un indicateur majeur de l'état de santé global d'une population et pèse lourdement sur la mortalité générale. Ce groupe d'âge est en effet particulièrement vulnérable sur le plan sanitaire, et sa mortalité est influencée par une multitude de facteurs socio-économiques, environnementaux et d'accès aux soins.

Ce chapitre se consacre à l'analyse de la mortalité chez les enfants de moins de cinq ans en Côte d'Ivoire, sur la base des données du RGPH 2021. L'objectif est de déterminer les niveaux actuels de la mortalité infantile (avant 1 an), juvénile (de 1 à 4 ans) et infanto-juvénile (avant 5 ans), d'examiner leurs structures et d'analyser leur évolution.

## 4.1. Niveau et structure de la mortalité des enfants

### 4.1.1 Mortalité infantile

Le quotient de mortalité infantile exprime la probabilité pour un enfant né vivant de décéder avant d'avoir atteint son premier anniversaire. En 2021, au niveau national, le quotient de mortalité infantile est estimé à 58,5‰. Autrement dit, sur 1 000 naissances vivantes, près de 59 enfants décèdent avant de fêter leur premier anniversaire.

Une analyse différentielle selon le sexe révèle une surmortalité masculine : le risque de décès avant un an est de 60,8‰ pour les garçons, contre 55,1‰ pour les filles (Tableau 4.1).

La désagrégation selon le milieu de résidence met en évidence un désavantage notable pour les enfants vivant en milieu rural. Le quotient de mortalité infantile y est de 64,1‰, tandis qu'il s'établit à 51,8‰ en milieu urbain. Au sein du milieu urbain, Abidjan présente le niveau le plus bas avec 44,8‰, suivi des autres villes avec 52,5‰ (Tableau 4.1).

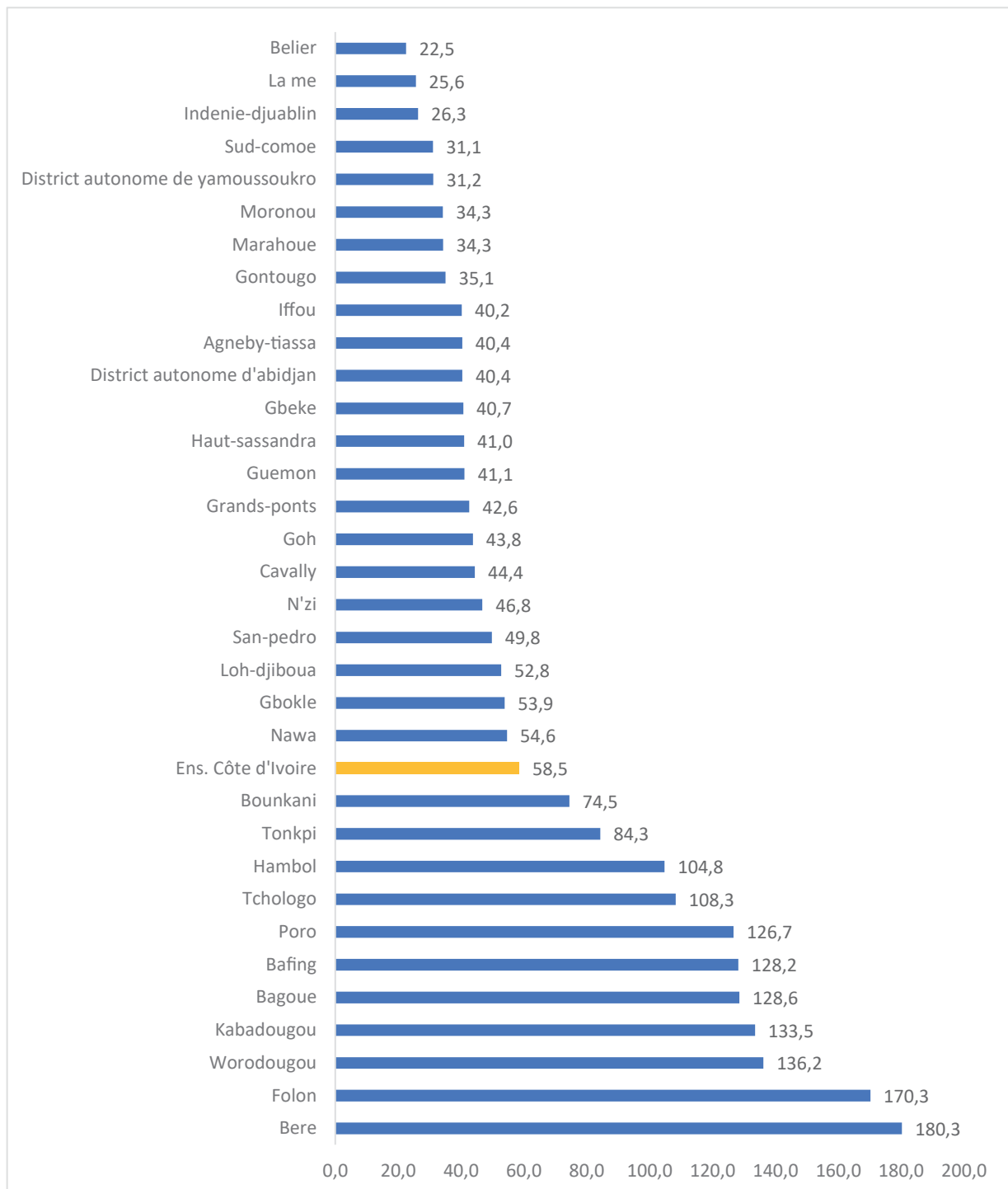
Tableau 4.1 : Quotients de mortalité infantile par milieu de résidence selon le sexe

Milieu de résidence	Quotient de mortalité infantile (‰ en ‰)		
	Garçon	Fille	Ensemble
Abidjan	46,5	42,2	44,8
Autres villes	54,5	49,5	52,5
Ensemble urbain	53,7	48,8	51,8
Ensemble rural	66,6	60,4	64,1
<b>Ensemble Côte d'Ivoire</b>	<b>60,8</b>	<b>55,1</b>	<b>58,5</b>

Source : ANStat, RGPH 2021

La distribution de la mortalité infantile au niveau régional (Graphique 4.1 et Tableau 4.2) permet de distinguer plusieurs groupes de régions. Certaines régions affichent des quotients inférieurs à la moyenne nationale de 58,5‰. D'autres, comme le Bounkani et le Tonkpi, présentent des niveaux intermédiaires (entre 58,5‰ et 85‰). Enfin, un dernier groupe de régions enregistre des quotients de mortalité infantile particulièrement élevés, dépassant 85‰. Les régions du Béré (180,3‰) et du Folon (170,3‰) détiennent les quotients de mortalité infantile les plus élevés.

*Graphique 4.1 : Quotients de mortalité infantile selon la région administrative*



Source : ANStat, RGPH 2021

Dans la majorité des régions, la mortalité infantile est plus élevée chez les garçons que chez les filles (Tableau 4.2). Des écarts significatifs sont observés dans les régions des Grands-Ponts, du Guemon, du Loh-Djiboua et du N'Zi, où les quotients des garçons sont au moins 1,5 fois supérieurs à ceux des filles. Cependant, dans le District autonome de Yamoussoukro et les régions du Gontougo, d'Agneby-Tiassa, du Bélier, de la Marahoué, du Sud-Comoé et du Tchologo, la mortalité infantile féminine apparaît plus élevée que la masculine. Dans les autres régions, les niveaux sont relativement similaires entre les deux sexes.

Tableau 4.2 : Quotients de mortalité infantile par région administrative selon le sexe

Régions administratives	Quotient de mortalité infantile ( ${}_1q_0$ en %)			Rapport de masculinité des quotients
	Homme	Femme	Ensemble	
District autonome d'Abidjan	43,8	35,8	40,4	1,2
Haut-Sassandra	42,4	38,8	41,0	1,1
Poro	123,3	129,4	126,7	1,0
Gbéké	40,4	40,7	40,7	1,0
Indenié-Djuablin	26,8	25,3	26,3	1,1
Tonkpi	90,3	76,2	84,3	1,2
District autonome de Yamoussoukro	27,3	35,4	31,2	0,8
Gontougo	31,4	38,9	35,1	0,8
San-pedro	59,8	59,8	49,8	1,0
Kabadougou	140,6	123,1	133,5	1,1
N'Zi	56,3	35,5	46,8	1,6
Marahoué	32,7	35,9	34,3	0,9
Sud-Comoé	29,7	32,5	31,1	0,9
Worodougou	148,9	120,4	136,2	1,2
Loh-Djiboua	64,2	38,5	52,8	1,7
Agneby-Tiassa	35,2	46,3	40,4	0,8
Goh	40,4	47,4	43,8	0,9
Cavally	45,4	42,6	44,4	1,1
Bafing	129,3	125,3	128,2	1,0
Bagoué	127,6	128,4	128,6	1,0
Belier	20,6	24,4	22,5	0,8
Béré	173,5	186,6	180,3	0,9
Bounkani	73,1	75,3	74,5	1,0
Folon	159,0	181,5	170,3	0,9
Gboklé	61,5	43,9	53,9	1,4
Grands-Ponts	53,6	29,3	42,6	1,8
Guéméné	47,8	32,0	41,1	1,5
Hambol	111,6	95,2	104,8	1,2
La Mé	27,8	22,8	25,6	1,2
Iffou	45,3	34,0	40,2	1,3
Nawa	59,3	48,3	54,6	1,2
Tchologo	104,8	111,3	108,3	0,9
Moronou	33,7	34,5	34,3	1,0
<b>Ensemble Côte d'Ivoire</b>	<b>60,8</b>	<b>55,1</b>	<b>58,5</b>	<b>1,1</b>

Source : ANStat, RGPH 2021

#### 4.1.2 Mortalité juvénile

La mortalité juvénile mesure la probabilité pour un enfant ayant survécu à sa première année de décéder avant d'atteindre son cinquième anniversaire. En Côte d'Ivoire, en 2021, sur 1 000 enfants ayant atteint l'âge d'un an, 32 décèdent avant l'âge

de cinq ans (soit un quotient de mortalité juvénile de 32,4‰ au niveau national). Comme pour la mortalité infantile, les garçons (35,5‰) sont plus exposés au risque de décès entre 1 et 4 ans que les filles (29,1‰) (Tableau 4.3).

L'analyse selon le milieu de résidence (Tableau 4.3) montre que les enfants du milieu rural (40,3‰) ont un niveau de mortalité juvénile près de deux fois supérieur à celui des enfants du milieu urbain (22,9‰). Abidjan enregistre le quotient de mortalité juvénile le plus faible (16,6‰ en moyenne).

*Tableau 4.3 : Quotients de mortalité juvénile par milieu de résidence et nationalité selon le sexe*

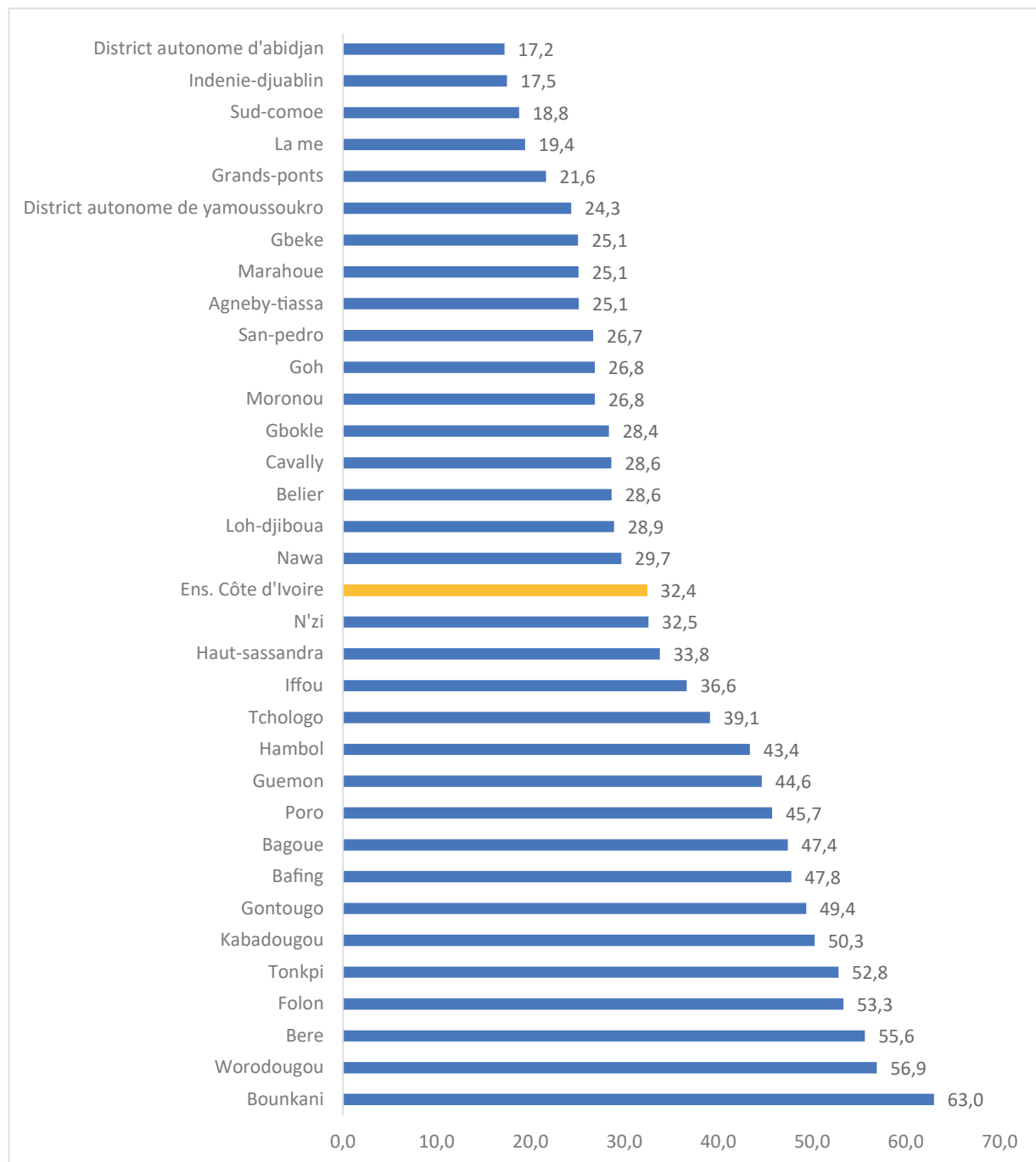
Milieu de résidence	Quotient de mortalité juvénile ( ${}_4q_1$ en ‰)		
	Garçon	Fille	Ensemble
Abidjan	18,4	14,7	16,6
Autres villes	28,6	23,2	26,0
Ensemble urbain	25,3	20,4	22,9
Ensemble rural	44,0	36,3	40,3
<b>Ensemble Côte d'Ivoire</b>	<b>35,5</b>	<b>29,1</b>	<b>32,4</b>

Source : ANStat, RGPH 2021

L'analyse géographique (Graphique 4.2 et Tableau 4.4) met en évidence une mortalité juvénile généralement plus faible dans les régions du sud et du centre, comparativement aux régions situées au nord et à l'ouest du pays. Dans les régions du sud et du centre, les quotients de mortalité juvénile estimés sont pour la plupart inférieurs à la moyenne nationale. En revanche, dans les régions du nord et de l'ouest (à l'exception du Cavally), les quotients varient de 32,5‰ dans le N'Zi à 63,0‰ dans le Bounkani. Outre le Bounkani, la mortalité juvénile demeure particulièrement élevée dans les régions du Worodougou (56,9‰), du Béré (55,6‰) et du Folon (53,3‰).

Le Tableau 4.4 indique que la mortalité juvénile chez les garçons est en moyenne 1,2 fois supérieure à celle des filles. Les différences les plus marquées se trouvent dans les régions de l'Indénié-Djuablin et de la Marahoué, où les quotients de mortalité juvénile des garçons sont respectivement 1,6 et 1,5 fois supérieurs à ceux des filles.

Graphique 4.2 : Quotients de mortalité juvénile selon la région administrative



Source : ANStat, RGPH 2021

Tableau 4.4 : Quotients de mortalité juvénile par région administrative selon le sexe

Région administrative	Quotient de mortalité infantile ( ${}_4q_1$ en %)			Rapport de masculinité des quotients
	Masculin	Féminin	Ensemble	
District autonome d'Abidjan	19,0	15,4	17,2	1,2
Haut-Sassandra	36,6	30,7	33,8	1,2
Poro	51,4	39,8	45,7	1,3
Gbèkè	27,5	22,4	25,1	1,2
Indenié-Djuablin	21,3	13,3	17,5	1,6

Région administrative	Quotient de mortalité infantile ( ${}_4q_1$ en %)			Rapport de masculinité des quotients
	Masculin	Féminin	Ensemble	
Tonkpi	56,9	48,2	52,8	1,2
District autonome de Yamoussoukro	25,9	22,7	24,3	1,1
Gontougo	51,8	46,8	49,4	1,1
San-Pedro	30,2	22,9	26,7	1,3
Kabadougou	57,1	43,0	50,3	1,3
N'Zi	36,8	28,1	32,5	1,3
Marahoue	29,6	20,2	25,1	1,5
Sud-Comoé	21,0	16,3	18,8	1,3
Worodougou	63,1	50,3	56,9	1,3
Loh-Djiboua	33,2	24,3	28,9	1,4
Agneby-Tiassa	26,3	23,9	25,1	1,1
Goh	30,2	23,3	26,8	1,3
Cavally	31,3	25,6	28,6	1,2
Bafing	55,9	39,0	47,8	1,4
Bagoué	50,9	43,6	47,4	1,2
Belier	31,8	25,2	28,6	1,3
Bere	62,4	48,2	55,6	1,3
Bounkani	70,0	55,6	63,0	1,3
Folon	57,3	49,0	53,3	1,2
Gboklé	30,8	25,7	28,4	1,2
Grands-Ponts	22,2	21,0	21,6	1,1
Guemon	46,7	42,4	44,6	1,1
Hambol	48,8	37,5	43,4	1,3
La Mé	20,5	18,2	19,4	1,1
Iffou	36,7	36,5	36,6	1,0
Nawa	31,5	27,7	29,7	1,1
Tchologo	41,2	36,8	39,1	1,1
Moronou	26,4	27,3	26,8	1,0
<b>Ensemble Côte d'Ivoire</b>	<b>35,5</b>	<b>29,1</b>	<b>32,4</b>	<b>1,2</b>

Source : ANStat, RGPH 2021

#### 4.1.3 Mortalité infanto-juvénile

Le quotient de mortalité infanto-juvénile ( $5q_0$ ) représente le risque pour un enfant né vivant de décéder avant son cinquième anniversaire. Cet indicateur demeure élevé en Côte d'Ivoire. Au niveau national, environ 79 enfants sur 1 000 naissances vivantes n'atteignent pas leur cinquième anniversaire. Le niveau est plus élevé chez les garçons (85,1%) que chez les filles (73,4%) (Tableau 4.5).

L'analyse selon le milieu de résidence (Tableau 4.5) montre un écart important : en milieu rural, environ 102 enfants sur 1 000 nés vivants décèdent avant cinq ans, contre 74 enfants sur 1 000 en milieu urbain. Les enfants vivant à Abidjan (60,7%) bénéficient des conditions de survie les plus favorables par rapport à leurs homologues du milieu rural et des autres villes.

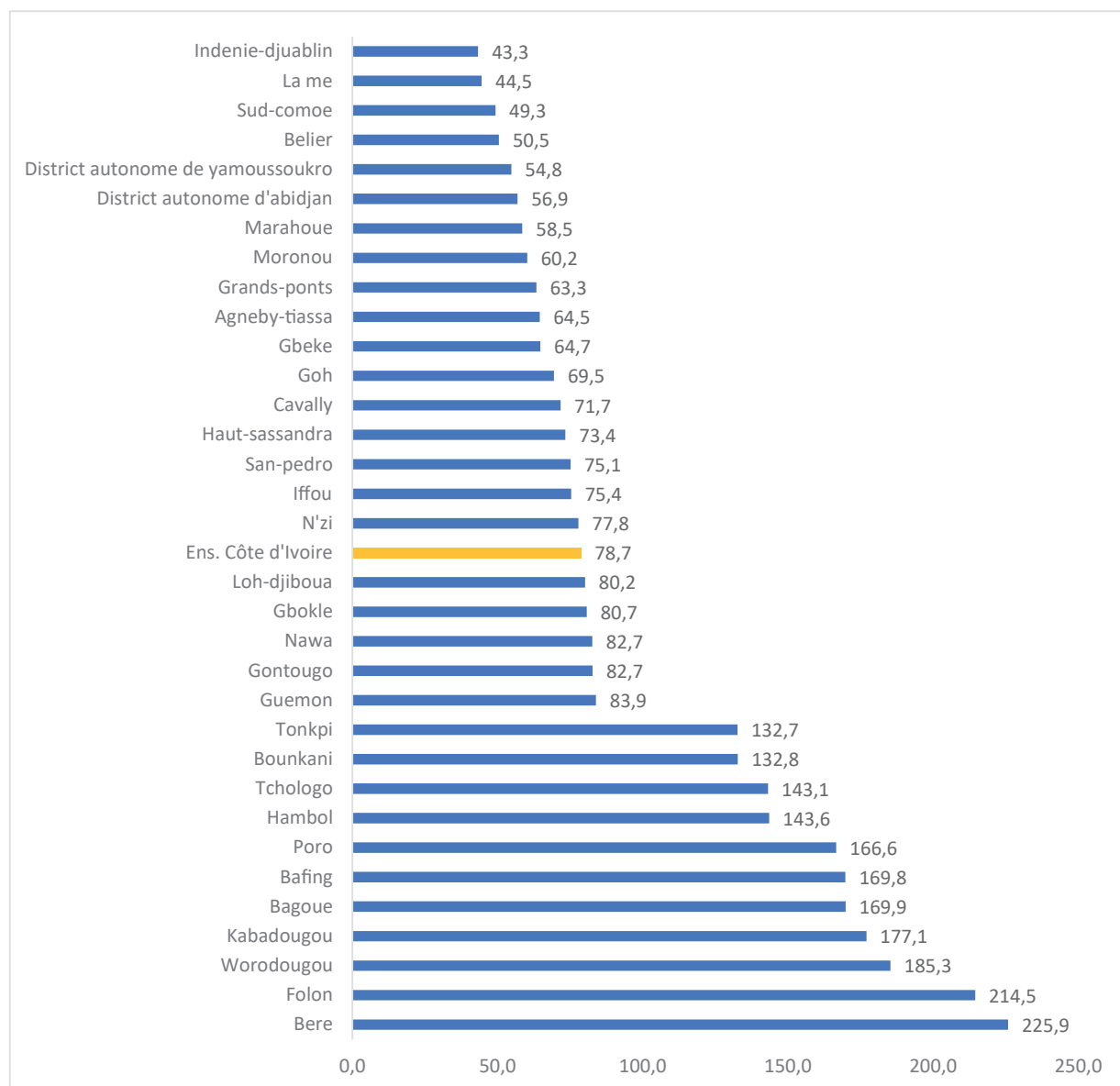
Tableau 4.5 : Quotients de mortalité infanto-juvénile par milieu de résidence selon le sexe

Milieu de résidence	Quotient de mortalité infanto-juvénile ( ${}_5q_0$ ) en %		
	Garçon	Fille	Ensemble
Abidjan	64,1	56,3	60,7
Autres villes	81,5	71,6	77,1
Ensemble urbain	77,6	68,2	73,5
Ensemble rural	107,7	94,6	101,9
<b>Ensemble Côte d'Ivoire</b>	<b>85,1</b>	<b>73,4</b>	<b>78,7</b>

Source : ANStat, RGPH 2021

L'analyse au niveau régional de la mortalité infanto-juvénile (Graphique 4.3 et Tableau 4.6) indique qu'environ la moitié des régions ont un quotient supérieur à la moyenne nationale. Les régions où le quotient de mortalité infanto-juvénile dépasse 100% sont : le Béré, le Folon, le Worodougou, le Kabadougou, la Bagoué, le Bafing, le Poro, le Hambol, le Tchologo, le Bounkani et le Tonkpi. À l'opposé, les régions du Sud-Comoé, de La Mé et de l'Indénié-Djuablin affichent les quotients de mortalité infanto-juvénile les plus faibles, avec des niveaux inférieurs à 50%.

Graphique 4.3: Quotients de mortalité infanto-juvénile selon la région administrative



Source : ANStat, RGPH 2021

Dans l'ensemble, le niveau de la mortalité infanto-juvénile chez les garçons est 1,2 fois celui des filles (Tableau 4.6). Les régions du Guémon, du Gboklè, du N'Zi, des Grands-Ponts et du Loh-Djiboua enregistrent des écarts entre les sexes supérieurs à la moyenne nationale. Cependant, dans les régions de l'Agneby-Tiassa, du Folon et dans le District autonome de Yamoussoukro, la mortalité infanto-juvénile apparaît plus élevée chez les filles que chez les garçons.

Tableau 4.6 : Quotients de mortalité infanto-juvénile par région administrative selon le sexe

Région administrative	Quotient de mortalité infantile ( ${}_5q_0$ en %)			Rapport de masculinité des quotients
	Garçon	Fille	Ensemble	
D.A Abidjan	64,1	56,3	60,7	1,2
Haut-Sassandra	77,5	68,3	73,4	1,1
Poro	168,3	164,1	166,6	1,0
Gbèkè	66,8	62,1	64,7	1,1
Indenie-djuablin	47,5	38,3	43,3	1,2
Tonkpi	142,1	120,8	132,7	1,2
D.A Yamoussoukro	52,5	57,3	54,8	0,9
Gontougo	81,6	83,9	82,7	1,0
San-Pedro	88,2	81,3	75,1	1,1
Kabadougou	189,7	160,8	177,1	1,2
N'Zi	91,0	62,6	77,8	1,5
Marahoué	61,3	55,3	58,5	1,1
Sud-Comoé	50,1	48,3	49,3	1,0
Worodougou	202,6	164,7	185,3	1,2
Loh-Djiboua	95,2	61,9	80,2	1,5
Agneby-Tiassa	60,6	69,1	64,5	0,9
Goh	69,4	69,6	69,5	1,0
Cavally	75,3	67,1	71,7	1,1
Bafing	178,0	159,5	169,8	1,1
Bagoué	172,0	166,4	169,9	1,0
Belier	51,8	49,0	50,5	1,1
Bere	225,1	225,8	225,9	1,0
Bounkani	138,0	126,7	132,8	1,1
Folon	207,2	221,6	214,5	0,9
Gboklé	90,4	68,5	80,7	1,3
Grands-Ponts	74,6	49,7	63,3	1,5
Guéméné	92,3	73,1	83,9	1,3
Hambol	155,0	129,1	143,6	1,2
La Mé	47,7	40,6	44,5	1,2
Iffou	80,3	69,3	75,4	1,2
Nawa	88,9	74,6	82,7	1,2
Tchologo	141,7	144,0	143,1	1,0
Moronou	59,2	60,9	60,2	1,0
<b>Ensemble Côte d'Ivoire</b>	<b>85,1</b>	<b>73,4</b>	<b>78,7</b>	<b>1,2</b>

Source : ANStat, RGPH 2021

## 4.2. Évolution de la mortalité des enfants

L'analyse de l'évolution des indicateurs de mortalité des enfants sur plusieurs décennies permet d'apprécier les progrès accomplis et les défis persistants.

Le quotient de mortalité infantile, qui avait légèrement augmenté entre 1988 et 1998, a connu une baisse considérable entre 1998 et 2021. Il est passé de 103,5‰ en 1998 à 58,5‰ en 2021, soit une baisse de 43,5% sur cette période (Graphique 4.4 et Tableau 4.7).

*Graphique 4.4 : Évolution du quotient de mortalité infantile ( $lq_0$  en ‰) de 1988 à 2021*



Source : ANStat, RGPH 2021

Cette baisse est d'une ampleur similaire chez les filles et les garçons. Le risque de décéder avant le premier anniversaire est passé de 112‰ à 60,8‰ chez les garçons (baisse de 45,7%), et de 94,8‰ à 55,1‰ chez les filles (baisse de 41,9%) entre 1998 et 2021. Selon le milieu de résidence, la mortalité infantile a davantage baissé en milieu rural (46,2%) qu'en milieu urbain (30,6%) sur la même période (Tableau 4.7).

*Tableau 4.7 : Évolution du niveau de la mortalité infantile par sexe, milieu de résidence de 1988 à 2021*

Caractéristiques socio-démographiques	Quotient de mortalité infantile ( $lq_0$ en ‰)			Baisse entre 1998 et 2021 (en %)
	RGPH 88	RGPH 98	RGPH 2021	
<b>Sexe</b>				
Garçon	103,3	112,0	60,8	45,7
Fille	85,0	94,8	55,1	41,9
<b>Milieu de résidence</b>				
Abidjan	64,0	72,6	44,8	38,3
Autres villes	74,0		52,5	-
Ensemble urbain	74,0	74,6	51,8	30,6
Ensemble rural	108,0	119,1	64,1	46,2
<b>Ensemble Côte d'Ivoire</b>	<b>97,0</b>	<b>103,5</b>	<b>58,5</b>	<b>43,5</b>

Source : ANStat, RGPH 1988, 1998, 2021

À l'instar de la mortalité infantile, le quotient de mortalité juvénile a connu une hausse entre 1988 et 1998, suivie d'une forte baisse de plus de 50 points pour mille entre 1998 et 2021. Il est ainsi passé de 74,8‰ en 1998 à 21,4‰ en 2021, ce qui représente une baisse de 71,4% (Graphique 4.5 et Tableau 4.8).

Graphique 4.5 : Évolution du quotient de mortalité juvénile ${}_4q_1$  (en %) de 1988 à 2021



Source : ANStat, RGPH 2021

Cette baisse de la mortalité juvénile est observée à tous les niveaux, que ce soit selon le sexe ou le milieu de résidence (Tableau 4.8). Elle a été plus importante chez les filles (74,2%) que chez les garçons (68,7%). Le milieu rural a enregistré le pourcentage de baisse le plus important (72,9%), contre 61,7% pour le milieu urbain. La baisse à Abidjan (62,9%) est légèrement supérieure à celle de l'ensemble du milieu urbain.

Tableau 4.8 : Évolution du niveau de la mortalité juvénile de 1988 à 2021

Caractéristiques socio-démographiques	Quotient de juvénile ( ${}_4q_1$ ) en %			Baisse entre 1998 et 2021 (en %)
	RGPH 88	RGPH 98	RGPH 2021	
<b>Sexe</b>				
Masculin	60	76,9	24,1	68,7
Féminin	57	72,5	18,7	74,2
<b>Milieu de résidence</b>				
Abidjan	29	44,8	16,6	62,9
Autres villes	38,1	46,5	26	-
Ensemble urbain	38	46,5	17,8	61,7
Ensemble rural	71	92,2	25	72,9
<b>Ensemble Côte d'Ivoire</b>	<b>59</b>	<b>74,8</b>	<b>21,4</b>	<b>71,4</b>

Source : ANStat, RGPH 1988, 1998, 2021

Concernant le quotient de mortalité infanto-juvénile, il a également connu une hausse entre 1988 et 1998, puis une baisse considérable entre 1998 et 2021. Il est passé de 170,6‰ en 1998 à 78,7‰ en 2021, soit une baisse de 53,9% sur la période (Graphique 4.6 et Tableau 4.9).

Graphique 4.6 : Évolution du quotient de mortalité infanto-juvénile ( ${}_5q_0$ ) en ‰ de 1988 à 2021



Source : ANStat, RGPH 1988, 1998, 2021

L'analyse des évolutions selon le sexe montre que l'ampleur de la baisse est quasiment la même chez les filles (54,2%) que chez les garçons (52,8%). Cette baisse est plus marquée en milieu rural qu'en milieu urbain. En effet, le Tableau 4.9 indique une baisse de 55,4% en milieu rural, contre 46,8% à Abidjan et 42,1% dans l'ensemble du milieu urbain.

*Tableau 4.9: Évolution du niveau de la mortalité des enfants de moins de 5 ans de 1988 à 2021*

Caractéristiques Socio-démographiques	Quotient de juvénile ( ${}_5q_0$ en %)			Pourcentage de baisse entre 1998 et 2021
	RGPH 88	RGPH 98	RGPH 2021	
<b>Sexe</b>				
MASCULIN	157,1	180,3	85,1	52,8
FÉMININ	137,2	160,4	73,4	54,2
<b>Milieu de résidence</b>				
Abidjan	91,1	114,1	60,7	46,8
Autre urbain	109,3		77,1	-
ENSEMBLE URBAIN	109,2	117,6	68,1	42,1
RURAL	171,3	200,3	89,3	55,4
<b>ENSEMBLE Côte d'Ivoire</b>	<b>150,3</b>	<b>170,6</b>	<b>78,7</b>	<b>53,9</b>

Source : ANStat, RGPH 1988, 1998, 2021



Mortalité

RAPPORT THEMATIQUE | TOME 5

**CHAPITRE V**

---

# **MORTALITÉ MATERNELLE**



**5.1 Niveau de la mortalité maternelle**  
**5.2 Mortalité maternelle par milieu et région de résidence**

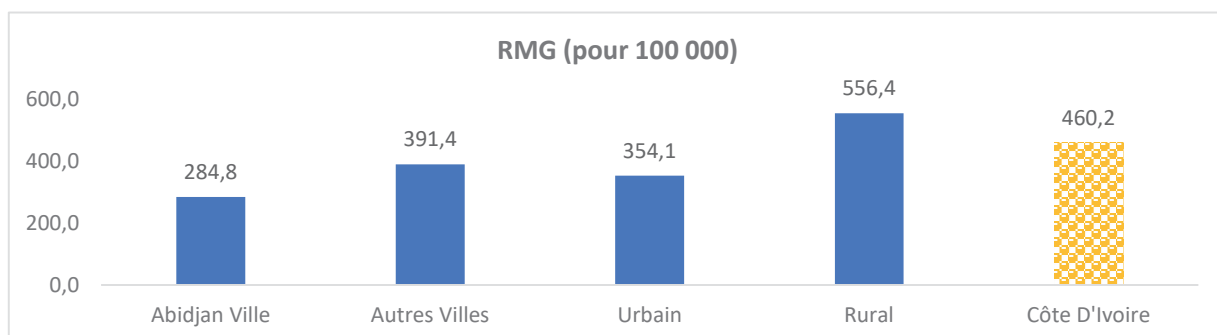
# CHAPITRE 5 : MORTALITÉ MATERNELLE

Le rapport de mortalité maternelle (RMM) est aujourd’hui reconnu comme une mesure cruciale du niveau de développement humain et social d’un pays ou d’une région. Cet indicateur est particulièrement sensible à l’accès des femmes aux soins de santé et à la capacité du système de santé à répondre à leurs besoins spécifiques (Ayad M., 2006). Ce chapitre se penche sur l’analyse des niveaux de la mortalité maternelle. Ces informations sont essentielles non seulement parce qu’elles renseignent sur les risques associés à la grossesse et à l’accouchement, mais également parce qu’elles offrent un éclairage sur la santé des femmes et, indirectement, sur leur situation économique et sociale. Dans le cadre du RGPH 2021, deux indicateurs principaux ont été utilisés pour analyser la mortalité maternelle : le Rapport de Mortalité Maternelle lié à la Grossesse (RMMG) et le Taux de Mortalité Maternelle (TMM).

## 5.1 Niveau de la mortalité maternelle

Au niveau national, le Rapport de Mortalité Maternelle lié à la Grossesse (RMMG) est estimé à 460,2 décès pour 100 000 naissances vivantes en 2021. Des disparités significatives existent selon le milieu de résidence. En effet, le RMMG est plus élevé en milieu rural, atteignant 556,4 décès pour 100 000 naissances vivantes. Il est plus faible en milieu urbain, avec 391,4 décès pour 100 000 naissances vivantes pour les autres villes (hors Abidjan), et 284,8 décès pour 100 000 naissances vivantes pour Abidjan.

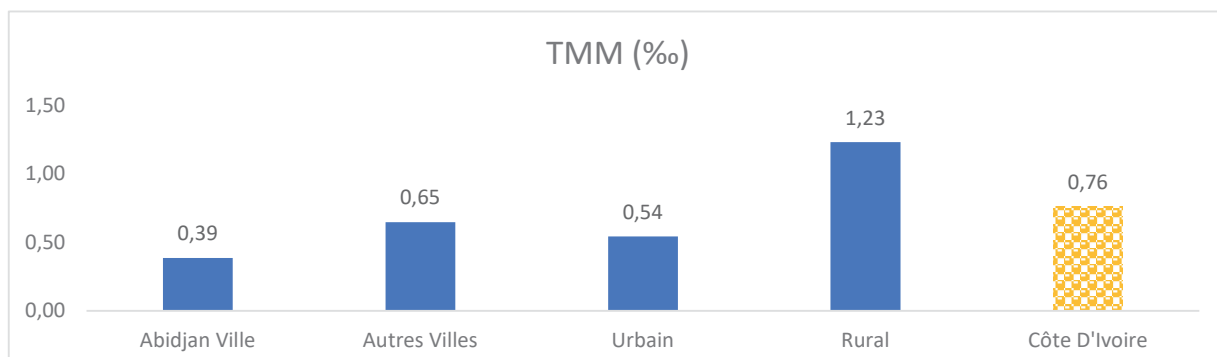
Graphique 5.1 : Rapport de mortalité maternelle lié à la grossesse par milieu de résidence



Source : ANStat, RGPH 2021

Concernant le taux de mortalité maternelle, il est de 0,76‰ pour l’ensemble du pays. Le milieu rural reste encore la zone où cet indicateur est le plus élevé avec un TMM de 1,23‰ contre 0,54‰ pour le milieu urbain. En outre, avec une valeur de 0,39‰, la ville d’Abidjan a le TMM le plus faible.

Graphique 5.2 : Taux de mortalité maternelle par milieu de résidence

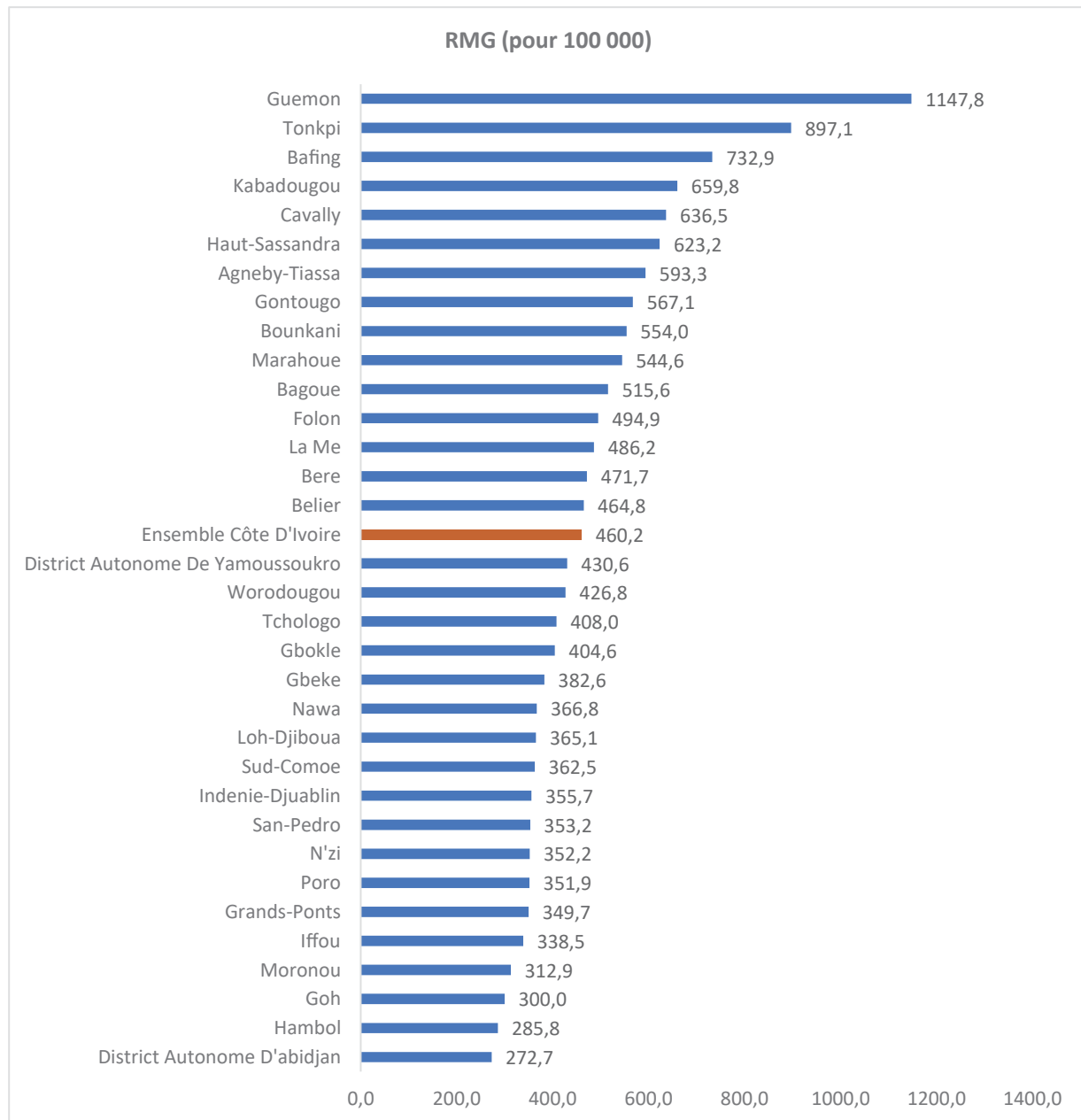


Source : ANStat, RGPH 2021

## 5.2 Mortalité maternelle par milieu et région de résidence

L'analyse régionale du RMMG révèle des inégalités à travers le pays. Les régions du Guémon (1 147,8 décès pour 100 000 naissances vivantes), du Tonkpi (897,1 décès) et du Bafing (732,9 décès) enregistrent les niveaux de RMMG les plus élevés, indiquant un risque obstétrical particulièrement important dans ces zones. À l'inverse, les rapports les plus faibles sont observés dans les régions du Goh (300,0 décès pour 100 000 naissances vivantes), du Hambol (285,8 décès) et dans le District Autonome d'Abidjan (272,7 décès).

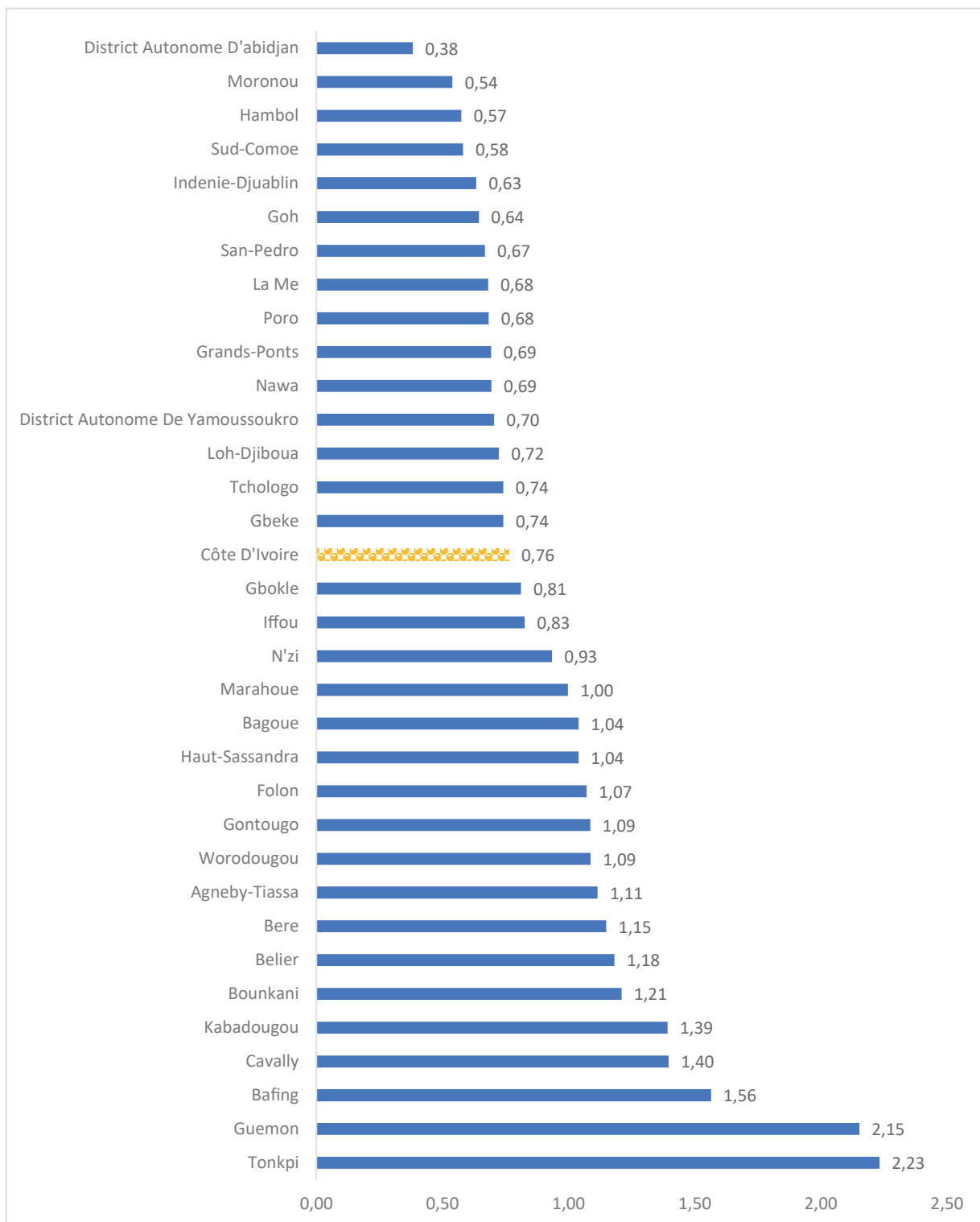
*Graphique 5.3 : Rapport de mortalité maternelle lié à la grossesse par région*



Source : ANStat, RGPH 2021

Quant à l'analyse du taux de mortalité maternelle par région, elle met en évidence des tendances variées. En effet, les niveaux les plus élevés sont observés dans les régions du Tonkpi, Guemon et Bafing et le plus faible observé dans le district autonome d'Abidjan.

Graphique 5.4 : Taux de mortalité maternelle par région (%)



Source : ANStat, RGPH 2021

# CONCLUSION GÉNÉRALE

Le rapport thématique du RGPH 2021 portant sur la mortalité a permis de mettre en lumière, à travers divers indicateurs, les avancées réalisées au cours des dernières années et les défis restant à adresser dans le domaine de la santé en Côte d'Ivoire.

En effet, l'espérance de vie à la naissance en Côte d'Ivoire est estimée à 61,2 ans en 2021 pour les deux sexes confondus. Une disparité significative persiste entre les sexes, les femmes ayant une espérance de vie plus élevée (63,9 ans) que les hommes (59,2 ans). La ville d'Abidjan, bénéficiant d'un cadre de vie et d'un accès aux services plus favorables, affiche l'espérance de vie la plus élevée du pays, avec une moyenne de 69,5 ans (71,8 ans pour les femmes et 67,6 ans pour les hommes). Il est important de souligner le gain notable de 10,3 années d'espérance de vie à la naissance par rapport à la valeur enregistrée en 1998. Au niveau régional, toutes les régions de la Côte d'Ivoire présentent une espérance de vie à la naissance supérieure ou égale à 50 ans. Néanmoins, des écarts importants subsistent. Le District Autonome d'Abidjan se distingue par les meilleurs indicateurs de mortalité, avec une durée de vie moyenne supérieure d'environ 20 ans à celle de la région la moins favorisée (le Tonkpi) et de 8 ans à la moyenne nationale.

Le taux brut de mortalité (TBM) révèle que la mortalité affecte davantage le milieu rural et la population masculine. En effet, on dénombre environ 12 décès pour 1 000 habitants en milieu rural, contre 6‰ en milieu urbain. Annuellement, environ 10 hommes sur 1 000 décèdent, contre 8 femmes sur 1 000. L'analyse comparative régionale met en exergue des niveaux de mortalité particulièrement élevés dans les régions du Tonkpi (16,7‰), du Guémon (15,5‰), du Bélier (15,3‰), du Gontougo (14,0‰) et du N'Zi (13,8‰).

Malgré les efforts consentis, la Côte d'Ivoire affiche encore un niveau élevé de mortalité infantile. En moyenne, 59 enfants sur 1 000 nés vivants décèdent avant leur premier anniversaire. Les régions les plus touchées par ce phénomène sont le Béré, le Folon et le Worodougou, avec respectivement 180, 170 et 136 décès d'enfants de moins d'un an pour 1 000 naissances vivantes. Le risque de décès infantile est également plus prononcé en milieu rural qu'en milieu urbain.

Par ailleurs, le niveau de mortalité infanto-juvénile (enfants de moins de cinq ans) reste préoccupant. Au niveau national, environ 79 enfants sur 1 000 naissances vivantes courent le risque de mourir avant leur cinquième anniversaire. Ce risque est plus élevé pour les garçons (85,1‰) que pour les filles (73,4‰). D'importants écarts persistent entre le milieu rural, où 102 enfants sur 1 000 nés vivants n'atteignent pas l'âge de cinq ans, et le milieu urbain (74 enfants sur 1 000). Au niveau régional, la mortalité infanto-juvénile est particulièrement alarmante dans le Béré, le Folon, le Worodougou et le Kabadougou, avec respectivement 226, 215, 185 et 177 décès d'enfants de moins de 5 ans pour 1 000 naissances vivantes.

Concernant la mortalité maternelle, les données du RGPH 2021 indiquent que son niveau demeure élevé, bien qu'une baisse ait été enregistrée. Les zones où ce fardeau est particulièrement lourd restent le milieu rural ainsi que les régions de l'ouest et du nord de la Côte d'Ivoire. Notamment, les régions du Guémon, du Tonkpi, du Bafing, du Kabadougou, du Cavally et du Haut-Sassandra affichent plus de 620 décès liés à la grossesse pour 100 000 naissances vivantes.

En définitive, l'analyse des données du RGPH 2021 permet de conclure à une baisse globale de la mortalité en Côte d'Ivoire sur la période allant de 1998 à 2021. Cette amélioration se traduit par une augmentation de l'espérance de vie à la naissance et par une réduction des risques de décès avant le premier anniversaire, entre un et quatre ans, et avant le cinquième anniversaire. Toutefois, des défis majeurs persistent, notamment en ce qui concerne la réduction des disparités géographiques et socio-démographiques, ainsi que la lutte contre la mortalité maternelle et infantile dans les régions les plus vulnérables.

# RÉFÉRENCES BIBLIOGRAPHIQUES

**Arthur Haupt et Thomas T. Kane. (2004).** Guide de démographie du population référence bureau.

**Banza BAYA, ISSP Hélène ZIDA/BANGRE, & Zakaliyat BONKOUNGOU. (2009).** Recensement général de la population et de l'habitation de 2006 (rgph-2006) analyse des résultats définitifs ; THEME 7 : MORTALITE.

**Bureau Central des Recensements et des Études de Population,** Cameroun. (s. d.). Troisième Recensement Général de la Population et de l'Habitat (3ème RGPH) Tome 8 : Mortalité.

**CISSE Siaka, & Dr. COULIBALY Youma SALL. (2012).** 4ème recensement général de la population et de l'habitat du mali (rgph-2009) ; analyse des résultats définitifs thème mortalité.

**Francis Gendreau. (1993).** La population de l'Afrique Manuel de Démographie.

**Francis Gendreau, François Gubry, Louis Lohle Tart, Etienne Van De Walle, & Dominique Waltisperger. (1985).** Manuel de Yaoudé :Estimations indirectes en démographie africaine.

**Institut National de la Statistique (INS), Programme National de Lutte contre le Paludisme (PNLP) et ICF. 2016. (2016).** Enquête de prévalence parasitaire du paludisme et de l'anémie en Côte d'Ivoire 2016.

**Institut National de la Statistique-INS et ICF 2023. (2021).** Enquête Démographique et de Santé de Côte d'Ivoire, 2021.

**Kenneth Hill Cynthia Stanton Neeru Gupta. (2001).** Mesurer la mortalité maternelle à partir du recensement : Guide pour les utilisateurs potentiels.

**Ministère de la Santé, de l'Hygiène Publique et de la Couverture Maladie Universelle. (2021).** Plan national de développement sanitaire 2021-2025.

**Ministere du Plan et du Developpement. (2022).** Second rapport national volontaire de la Côte d'Ivoire.

**Nations Unie. (1982).** Manuel X : Techniques indirectes d'estimation démographique.

# TABLE DES MATIÈRES

TITRE	PAGE
PRÉFACE	8 - 9
AVANT PROPOS	10
AVERTISSEMENT	11
SIGLES ET ABREVIATIONS	12
LISTE DES TABLEAUX	13 - 14
LISTE DES GRAPHIQUES, FIGURES ET CARTES	15
TABLEAU SYNOPTIQUE DES PRINCIPAUX INDICATEURS	16
INTRODUCTION	17
CHAPITRE I : CONTEXTE	18 - 23
1.1 Contexte géographique et socio-culturel	
1.2 Contexte démographique et socio-économique	
1.3 Contexte socio-sanitaire	
1.3.1 Situation épidémiologique	
1.3.2 Personnel et infrastructures de santé	
CHAPITRE II : ASPECTS MÉTHODOLOGIQUES	24 - 40
2.1 Définition des concepts opératoires et mesure du phénomène	
2.1.1 Définition des concepts	
2.1.2 Définition des indicateurs	
2.2 Données	
2.2.1 Questions permettant de mesurer la mortalité à partir du RGPH 2021	
2.3 Évaluation de la qualité des données	
2.3.1 Évaluation interne de la qualité des données	
2.3.2 Évaluation externe de la qualité des données	
2.4 Conclusion sur l'évaluation des données	
2.5 Méthode d'analyse	
2.5.1 Mortalité infantile	
2.5.2 Mortalité générale	
CHAPITRE III : MORTALITÉ GÉNÉRALE	42 - 54
3.1 Niveau et structure de la mortalité	
3.1.1 Niveau de la mortalité	
3.1.2 Table de mortalité pour la Côte d'Ivoire	
3.1.3. Espérance de vie à la naissance	

# TABLE DES MATIÈRES

TITRE	PAGE
3.2. Evolution de la mortalité générale	
3.2.1. Taux brut de mortalité	
3.2.2. Espérance de vie à la naissance	
CHAPITRE IV : MORTALITÉ DES ENFANTS	56 - 68
4.1. Niveau et structure de la mortalité des enfants	
4.1.1 Mortalité infantile	
4.1.2 Mortalité juvénile	
4.1.3 Mortalité infanto-juvénile	
4.2. Évolution de la mortalité des enfants	
CHAPITRE V : MORTALITÉ MATERNELLE	70 - 74
5.1 Niveau de la mortalité maternelle	
5.2 Mortalité maternelle par milieu et région de résidence	
CONCLUSION GÉNÉRALE	75 - 76
RÉFÉRENCES BIBLIOGRAPHIQUES	77
TABLES DES MATIERES	78 - 79
ANNEXES	80 - 101

# Mortalité

RAPPORT THEMATIQUE | TOME 5

---

## ANNEXES



## Annexe 1 : Tables de mortalité selon la région administrative et le sexe

### Annexe 1.1 : Table de mortalité du district autonome d'Abidjan

x	Sexes confondus				Sexe masculin				Sexe féminin			
	nMx	nqx	Ix	ex	nMx	nqx	Ix	ex	nMx	nqx	Ix	ex
0	0,0425	0,0410	100000	60,4	0,0440	0,0424	100000	58,4	0,0401	0,0388	100000	62,9
1	0,0086	0,0338	95900	62,0	0,0094	0,0366	95760	59,9	0,0078	0,0307	96120	64,4
5	0,0027	0,0132	92661	60,1	0,0028	0,0141	92253	58,1	0,0025	0,0123	93170	62,4
10	0,0027	0,0132	91434	55,8	0,0031	0,0152	90948	53,9	0,0022	0,0108	92028	58,2
15	0,0031	0,0154	90230	51,6	0,0036	0,0180	89570	49,7	0,0026	0,0127	91030	53,8
20	0,0042	0,0206	88836	47,3	0,0046	0,0228	87955	45,6	0,0028	0,0138	89876	49,4
25	0,0048	0,0239	87005	43,3	0,0077	0,0378	85951	41,6	0,0051	0,0251	88636	45,1
30	0,0057	0,0283	84926	39,3	0,0054	0,0265	82706	38,1	0,0045	0,0224	86415	41,2
35	0,0058	0,0288	82526	35,3	0,0067	0,0328	80512	34,1	0,0057	0,0280	84481	37,1
40	0,0076	0,0372	80150	31,3	0,0070	0,0342	77869	30,2	0,0064	0,0316	82112	33,1
45	0,0102	0,0499	77171	27,4	0,0109	0,0533	75207	26,2	0,0105	0,0510	79517	29,1
50	0,0140	0,0679	73323	23,7	0,0158	0,0761	71200	22,5	0,0146	0,0702	75461	25,5
55	0,0186	0,0890	68347	20,3	0,0183	0,0875	65783	19,1	0,0163	0,0782	70163	22,2
60	0,0241	0,1138	62264	17,0	0,0286	0,1333	60030	15,7	0,0205	0,0974	64674	18,9

### Annexe 1.2 : Table de mortalité de la région du Haut-Sassandra

x	Sexes confondus				Sexe masculin				Sexe féminin			
	nMx	nqx	Ix	ex	nMx	nqx	Ix	ex	nMx	nqx	Ix	ex
0	0,0425	0,0410	100000	60,4	0,0440	0,0424	100000	58,4	0,0401	0,0388	100000	62,9
1	0,0086	0,0338	95900	62,0	0,0094	0,0366	95760	59,9	0,0078	0,0307	96120	64,4
5	0,0027	0,0132	92661	60,1	0,0028	0,0141	92253	58,1	0,0025	0,0123	93170	62,4
10	0,0027	0,0132	91434	55,8	0,0031	0,0152	90948	53,9	0,0022	0,0108	92028	58,2
15	0,0031	0,0154	90230	51,6	0,0036	0,0180	89570	49,7	0,0026	0,0127	91030	53,8
20	0,0042	0,0206	88836	47,3	0,0046	0,0228	87955	45,6	0,0028	0,0138	89876	49,4
25	0,0048	0,0239	87005	43,3	0,0077	0,0378	85951	41,6	0,0051	0,0251	88636	45,1
30	0,0057	0,0283	84926	39,3	0,0054	0,0265	82706	38,1	0,0045	0,0224	86415	41,2
35	0,0058	0,0288	82526	35,3	0,0067	0,0328	80512	34,1	0,0057	0,0280	84481	37,1
40	0,0076	0,0372	80150	31,3	0,0070	0,0342	77869	30,2	0,0064	0,0316	82112	33,1
45	0,0102	0,0499	77171	27,4	0,0109	0,0533	75207	26,2	0,0105	0,0510	79517	29,1
50	0,0140	0,0679	73323	23,7	0,0158	0,0761	71200	22,5	0,0146	0,0702	75461	25,5
55	0,0186	0,0890	68347	20,3	0,0183	0,0875	65783	19,1	0,0163	0,0782	70163	22,2
60	0,0241	0,1138	62264	17,0	0,0286	0,1333	60030	15,7	0,0205	0,0974	64674	18,9
65	0,0352	0,1616	55177	13,9	0,0370	0,1695	52030	12,8	0,0277	0,1294	58378	15,7
70	0,0506	0,2247	46261	11,1	0,0623	0,2697	43211	9,9	0,0426	0,1924	50823	12,6
75	0,0773	0,3241	35864	8,5	0,0850	0,3506	31557	7,6	0,0622	0,2693	41044	10,1
80	0,1175	0,4542	24242	6,4	0,1494	0,5438	20493	5,4	0,0852	0,3511	29990	7,8
85	0,1629	0,5787	13230	4,7	0,2500	0,7692	9348	3,8	0,1325	0,4976	19462	5,7
90	0,3262	0,8984	5574	2,8	0,2535	0,7758	2157	3,0	0,1532	0,5538	9777	3,9
95	0,9507	1,4077	566	3,0	1,1529	1,4848	484	3,0	0,7811	1,3227	4362	3,0
100	0,3052	1,0000		3,3	0,2846	1,0000		3,5	0,3276	1,0000		3,1

### Annexe 1.3 : Table de mortalité de la région du Poro

x	Sexes confondus				Sexe masculin				Sexe féminin			
	nMx	nqx	Ix	ex	nMx	nqx	Ix	ex	nMx	nqx	Ix	ex
0	0,1383	0,1267	100000	57,1	0,1344	0,1233	100000	54,7	0,1413	0,1294	100000	60,1
1	0,0118	0,0457	87330	64,4	0,0133	0,0514	87670	61,3	0,0102	0,0398	87060	68,0

x	Sexes confondus				Sexe masculin				Sexe féminin			
	nMx	nqx	lx	ex	nMx	nqx	lx	ex	nMx	nqx	lx	ex
5	0,0029	0,0146	83336	63,4	0,0033	0,0166	83168	60,6	0,0025	0,0126	83593	66,8
10	0,0022	0,0111	82119	59,3	0,0026	0,0128	81789	56,5	0,0019	0,0094	82542	62,6
15	0,0023	0,0114	81204	54,9	0,0025	0,0125	80744	52,2	0,0021	0,0102	81765	58,2
20	0,0030	0,0147	80280	50,6	0,0033	0,0165	79738	47,9	0,0026	0,0128	80931	53,7
25	0,0039	0,0192	79103	46,3	0,0046	0,0229	78421	43,6	0,0032	0,0158	79891	49,4
30	0,0034	0,0169	77584	42,1	0,0037	0,0181	76624	39,6	0,0032	0,0157	78627	45,2
35	0,0050	0,0245	76274	37,8	0,0052	0,0258	75235	35,3	0,0047	0,0231	77389	40,8
40	0,0066	0,0323	74408	33,7	0,0069	0,0338	73294	31,1	0,0062	0,0306	75602	36,7
45	0,0091	0,0444	72005	29,7	0,0100	0,0488	70817	27,1	0,0080	0,0390	73291	32,8
50	0,0124	0,0603	68810	26,0	0,0136	0,0657	67360	23,4	0,0112	0,0546	70430	29,1
55	0,0145	0,0701	64658	22,5	0,0178	0,0850	62937	19,9	0,0115	0,0561	66585	25,6
60	0,0221	0,1045	60129	19,0	0,0266	0,1249	57586	16,5	0,0180	0,0861	62851	22,0
65	0,0264	0,1236	53843	15,9	0,0351	0,1614	50392	13,5	0,0191	0,0911	57437	18,8
70	0,0404	0,1837	47187	12,8	0,0574	0,2510	42260	10,6	0,0272	0,1274	52202	15,4
75	0,0497	0,2210	38520	10,2	0,0670	0,2870	31654	8,3	0,0361	0,1655	45552	12,3
80	0,0951	0,3843	30009	7,3	0,1392	0,5162	22569	5,7	0,0644	0,2773	38013	9,3
85	0,1542	0,5564	18477	5,3	0,2342	0,7387	10919	4,0	0,0936	0,3793	27473	6,9
90	0,1326	0,4980	8196	3,9	0,1942	0,6537	2854	3,4	0,0966	0,3889	17053	4,5
95	0,7976	1,3320	4115	0,3	1,0809	1,4598	988	0,1	0,6047	1,2038	10421	0,8
100	0,2476	1,0000		4,0	0,3637	1,0000		2,7	0,1736	1,0000		5,8

**Annexe 1.4 : Table de mortalité de la région du Gbeke**

x	Sexes confondus				Sexe masculin				Sexe féminin			
	nMx	nqx	lx	ex	nMx	nqx	lx	ex	nMx	nqx	lx	ex
0	0,0421	0,0407	100000	61,7	0,0418	0,0404	100000	59,2	0,0421	0,0407	100000	64,5
1	0,0064	0,0251	95930	63,4	0,0070	0,0275	95960	60,7	0,0057	0,0224	95930	66,2
5	0,0016	0,0081	93526	60,9	0,0016	0,0082	93316	58,4	0,0016	0,0081	93786	63,7
10	0,0016	0,0079	92766	56,4	0,0019	0,0095	92554	53,9	0,0012	0,0060	93027	59,2
15	0,0023	0,0114	92035	51,8	0,0025	0,0124	91671	49,4	0,0021	0,0103	92467	54,5
20	0,0024	0,0122	90984	47,4	0,0029	0,0143	90535	45,0	0,0020	0,0098	91514	50,1
25	0,0047	0,0231	89878	43,0	0,0054	0,0268	89242	40,6	0,0039	0,0192	90618	45,5
30	0,0052	0,0257	87803	38,9	0,0061	0,0300	86853	36,6	0,0043	0,0214	88880	41,4
35	0,0068	0,0335	85544	34,9	0,0076	0,0375	84246	32,7	0,0059	0,0291	86977	37,2
40	0,0090	0,0441	82680	31,0	0,0096	0,0470	81086	28,8	0,0083	0,0406	84445	33,3
45	0,0118	0,0574	79035	27,3	0,0121	0,0588	77274	25,1	0,0115	0,0558	81014	29,6
50	0,0178	0,0853	74497	23,8	0,0201	0,0955	72730	21,6	0,0155	0,0747	76496	26,2
55	0,0195	0,0931	68139	20,8	0,0251	0,1182	65783	18,6	0,0146	0,0704	70781	23,1
60	0,0284	0,1324	61794	17,7	0,0332	0,1534	58007	15,7	0,0240	0,1133	65798	19,7
65	0,0299	0,1391	53613	15,0	0,0372	0,1700	49111	13,1	0,0238	0,1121	58345	16,8
70	0,0487	0,2171	46157	12,1	0,0631	0,2724	40762	10,3	0,0380	0,1735	51803	13,7
75	0,0587	0,2560	36135	9,7	0,0728	0,3080	29657	8,2	0,0494	0,2197	42816	11,0
80	0,1064	0,4203	26884	7,2	0,1374	0,5114	20524	5,8	0,0888	0,3633	33410	8,4
85	0,1474	0,5384	15584	5,6	0,2156	0,7005	10027	4,2	0,1125	0,4391	21272	6,8
90	0,1859	0,6345	7193	4,2	0,2670	0,8006	3003	3,2	0,1456	0,5337	11931	5,1
95	0,4650	1,0751	2629	2,1	0,7248	1,2887	599	1,2	0,3222	0,8922	5563	3,1
100	0,4223	1,0000		2,4	0,4854	1,0000		2,1	0,3831	1,0000	600	2,6

**Annexe 1.5 : Table de mortalité de la région de l'Indenie-Djuablin**

x	Sexes confondus				Sexe masculin				Sexe féminin			
	nMx	nqx	lx	ex	nMx	nqx	lx	ex	nMx	nqx	lx	ex
0	0,0269	0,0263	100000	65,4	0,0274	0,0268	100000	63,6	0,0259	0,0253	100000	67,6
1	0,0044	0,0175	97370	66,1	0,0054	0,0213	97320	64,3	0,0034	0,0133	97470	68,3
5	0,0014	0,0067	95668	63,3	0,0015	0,0073	95251	61,7	0,0012	0,0061	96174	65,2
10	0,0014	0,0068	95023	58,7	0,0014	0,0069	94555	57,1	0,0013	0,0066	95584	60,6
15	0,0022	0,0109	94379	54,1	0,0024	0,0121	93902	52,5	0,0019	0,0093	94949	56,0
20	0,0027	0,0135	93355	49,6	0,0033	0,0163	92764	48,1	0,0021	0,0103	94063	51,5
25	0,0043	0,0211	92094	45,3	0,0052	0,0258	91255	43,9	0,0033	0,0162	93093	47,0
30	0,0038	0,0188	90154	41,2	0,0035	0,0172	88902	40,0	0,0041	0,0204	91581	42,7
35	0,0048	0,0235	88461	36,9	0,0049	0,0243	87373	35,6	0,0046	0,0226	89713	38,6
40	0,0068	0,0336	86379	32,8	0,0068	0,0333	85250	31,4	0,0069	0,0339	87683	34,4
45	0,0085	0,0418	83478	28,8	0,0085	0,0416	82408	27,4	0,0086	0,0420	84707	30,5
50	0,0135	0,0651	79991	25,0	0,0130	0,0630	78980	23,5	0,0141	0,0680	81146	26,8
55	0,0167	0,0801	74781	21,5	0,0183	0,0876	74006	19,9	0,0148	0,0712	75630	23,5
60	0,0250	0,1177	68791	18,2	0,0288	0,1341	67526	16,6	0,0207	0,0984	70244	20,2
65	0,0298	0,1386	60696	15,3	0,0343	0,1578	58468	13,8	0,0246	0,1158	63329	17,1
70	0,0461	0,2067	52284	12,3	0,0567	0,2485	49239	10,9	0,0350	0,1610	55996	14,0
75	0,0622	0,2691	41479	9,9	0,0702	0,2984	37005	8,7	0,0552	0,2426	46982	11,2
80	0,1079	0,4248	30316	7,6	0,1318	0,4955	25961	6,3	0,0898	0,3668	35583	9,0
85	0,1169	0,4522	17437	6,4	0,1555	0,5599	13096	5,1	0,0891	0,3642	22531	7,7
90	0,1650	0,5841	9552	4,6	0,2581	0,7844	5763	3,5	0,1033	0,4106	14325	5,7
95	0,4022	1,0028	3973	2,5	0,4906	1,1017	1242	1,9	0,3449	0,9260	8443	3,0
100	0,2899	1,0000		3,4	0,3231	1,0000		3,1	0,2667	1,0000	625	3,7

**Annexe 1.6 : Table de mortalité de la région du Tonkpi**

x	Sexes confondus				Sexe masculin				Sexe féminin			
	nMx	nqx	lx	ex	nMx	nqx	lx	ex	nMx	nqx	lx	ex
0	0,0896	0,0843	100000	49,6	0,0964	0,0903	100000	47,8	0,0806	0,0762	100000	51,8
1	0,0137	0,0528	91570	53,1	0,0148	0,0569	90970	51,5	0,0125	0,0482	92380	55,1
5	0,0039	0,0191	86734	52,0	0,0039	0,0195	85790	50,5	0,0038	0,0187	87923	53,8
10	0,0034	0,0169	85074	48,0	0,0039	0,0194	84115	46,4	0,0028	0,0140	86277	49,8
15	0,0051	0,0252	83634	43,7	0,0054	0,0266	82488	42,3	0,0048	0,0235	85072	45,5
20	0,0059	0,0290	81526	39,8	0,0068	0,0332	80294	38,4	0,0050	0,0248	83071	41,5
25	0,0090	0,0442	79163	35,9	0,0109	0,0529	77624	34,6	0,0073	0,0358	81007	37,5
30	0,0090	0,0440	75667	32,5	0,0094	0,0460	73519	31,4	0,0085	0,0418	78110	33,8
35	0,0106	0,0514	72335	28,8	0,0103	0,0504	70138	27,8	0,0108	0,0528	74842	30,2
40	0,0139	0,0673	68615	25,3	0,0135	0,0655	66600	24,2	0,0145	0,0700	70891	26,7
45	0,0185	0,0883	63998	21,9	0,0187	0,0893	62240	20,7	0,0181	0,0868	65927	23,5
50	0,0282	0,1319	58347	18,8	0,0296	0,1376	56679	17,5	0,0266	0,1249	60207	20,5
55	0,0296	0,1376	50650	16,3	0,0335	0,1545	48879	14,9	0,0252	0,1183	52689	18,1
60	0,0432	0,1951	43679	13,5	0,0491	0,2187	41328	12,1	0,0369	0,1690	46454	15,2
65	0,0494	0,2197	35156	11,1	0,0577	0,2521	32289	9,8	0,0403	0,1830	38603	12,8
70	0,0871	0,3577	27434	8,5	0,1083	0,4261	24148	7,3	0,0683	0,2915	31539	10,0
75	0,1086	0,4271	17620	6,9	0,1399	0,5183	13859	5,8	0,0796	0,3320	22344	8,2
80	0,1591	0,5692	10093	5,2	0,1967	0,6593	6675	4,4	0,1297	0,4898	14925	6,0
85	0,2462	0,7621	4348	3,7	0,2929	0,8455	2274	3,2	0,2091	0,6866	7614	4,3
90	0,3574	0,9438	1035	2,7	0,4993	1,1104	351	2,2	0,2758	0,8162	2386	3,2
95	0,9249	1,3962	58	0,9	1,2552	1,5167	20	0,6	0,6894	1,2657	439	1,3
100	0,6032	1,0000		1,7	0,8118	1,0000		1,2	0,4773	1,0000		2,1

**Annexe 1.7 : Table de mortalité du District Autonome de Yamoussoukro**

x	Sexes confondus				Sexe masculin				Sexe féminin			
	nMx	nqx	lx	ex	nMx	nqx	lx	ex	nMx	nqx	lx	ex
0	0,0321	0,0312	100000	62,9	0,0280	0,0273	100000	61,4	0,0365	0,0354	100000	64,7
1	0,0062	0,0243	96880	64,0	0,0066	0,0259	97270	62,2	0,0058	0,0227	96460	66,1
5	0,0015	0,0075	94524	61,5	0,0015	0,0075	94752	59,8	0,0015	0,0075	94273	63,6
10	0,0012	0,0060	93813	57,0	0,0016	0,0077	94038	55,2	0,0009	0,0043	93565	59,0
15	0,0017	0,0083	93246	52,3	0,0020	0,0099	93309	50,6	0,0013	0,0067	93164	54,3
20	0,0027	0,0132	92469	47,7	0,0029	0,0145	92389	46,1	0,0024	0,0120	92539	49,6
25	0,0047	0,0233	91244	43,3	0,0057	0,0281	91053	41,7	0,0038	0,0186	91433	45,2
30	0,0054	0,0265	89119	39,3	0,0049	0,0244	88494	37,9	0,0058	0,0287	89734	41,0
35	0,0058	0,0284	86754	35,3	0,0063	0,0312	86338	33,7	0,0052	0,0255	87158	37,1
40	0,0083	0,0406	84291	31,3	0,0086	0,0419	83646	29,8	0,0079	0,0390	84939	33,0
45	0,0103	0,0503	80873	27,5	0,0102	0,0499	80144	25,9	0,0104	0,0508	81629	29,3
50	0,0165	0,0792	76806	23,8	0,0174	0,0835	76147	22,2	0,0154	0,0742	77485	25,7
55	0,0161	0,0775	70724	20,6	0,0198	0,0945	69788	19,0	0,0124	0,0603	71733	22,6
60	0,0275	0,1287	65242	17,2	0,0325	0,1503	63193	15,7	0,0226	0,1068	67405	18,9
65	0,0300	0,1394	56843	14,3	0,0360	0,1650	53692	13,0	0,0237	0,1117	60206	15,8
70	0,0559	0,2451	48922	11,2	0,0655	0,2816	44835	10,1	0,0467	0,2091	53479	12,5
75	0,0573	0,2505	36930	9,1	0,0649	0,2793	32210	8,1	0,0500	0,2222	42295	10,1
80	0,1350	0,5047	27680	6,3	0,1768	0,6130	23212	5,2	0,1016	0,4051	32897	7,3
85	0,1458	0,5343	13711	5,1	0,1776	0,6149	8983	4,6	0,1273	0,4827	19572	5,6
90	0,1851	0,6328	6385	3,2	0,2485	0,7664	3460	2,9	0,1475	0,5389	10124	3,4
95	1,4649	1,5710	2345	2,0	1,7589	1,6294	808	2,0	1,2356	1,5109	4669	2,0
100	0,3306	1,0000		3,0	0,3717	1,0000		2,7	0,3040	1,0000		3,3

**Annexe 1.8 : Table de mortalité de la région du Gontougo**

x	Sexes confondus				Sexe masculin				Sexe féminin			
	nMx	nqx	lx	ex	nMx	nqx	lx	ex	nMx	nqx	lx	ex
0	0,0362	0,0351	100000	56,6	0,0323	0,0314	100000	53,7	0,0402	0,0389	100000	60,0
1	0,0127	0,0494	96490	57,6	0,0134	0,0518	96860	54,5	0,0121	0,0468	96110	61,4
5	0,0032	0,0160	91727	56,5	0,0035	0,0174	91843	53,3	0,0029	0,0145	91614	60,4
10	0,0026	0,0128	90259	52,4	0,0031	0,0153	90249	49,2	0,0020	0,0100	90285	56,2
15	0,0038	0,0187	89100	48,1	0,0039	0,0192	88872	45,0	0,0034	0,0169	89384	51,8
20	0,0042	0,0207	87436	43,9	0,0055	0,0272	87169	40,8	0,0037	0,0181	87877	47,6
25	0,0070	0,0344	85625	39,8	0,0071	0,0351	84798	36,9	0,0052	0,0255	86285	43,5
30	0,0076	0,0375	82678	36,1	0,0094	0,0460	81824	33,1	0,0065	0,0318	84087	39,5
35	0,0098	0,0477	79578	32,4	0,0102	0,0499	78064	29,6	0,0088	0,0431	81412	35,8
40	0,0107	0,0521	75779	28,9	0,0131	0,0634	74168	26,0	0,0098	0,0480	77906	32,3
45	0,0158	0,0760	71833	25,4	0,0177	0,0847	69464	22,6	0,0127	0,0614	74165	28,8
50	0,0213	0,1012	66375	22,3	0,0254	0,1194	63577	19,5	0,0163	0,0783	69608	25,5
55	0,0249	0,1172	59657	19,5	0,0337	0,1555	55984	16,8	0,0172	0,0824	64154	22,4
60	0,0336	0,1550	52663	16,8	0,0399	0,1813	47279	14,4	0,0258	0,1210	58867	19,2
65	0,0330	0,1526	44500	14,4	0,0490	0,2181	38705	12,0	0,0246	0,1158	51745	16,5
70	0,0476	0,2125	37711	11,5	0,0611	0,2651	30264	9,7	0,0366	0,1675	45751	13,3
75	0,0630	0,2721	29696	9,0	0,0992	0,3974	22241	7,3	0,0480	0,2144	38088	10,5

x	Sexes confondus				Sexe masculin				Sexe féminin			
	nMx	nqx	lx	ex	nMx	nqx	lx	ex	nMx	nqx	lx	ex
75	0,0630	0,2721	29696	9,0	0,0992	0,3974	22241	7,3	0,0480	0,2144	38088	10,5
80	0,1291	0,4880	21615	6,4	0,1470	0,5376	13402	5,5	0,0943	0,3817	29923	7,7
85	0,1613	0,5746	11067	5,1	0,2266	0,7232	6197	3,9	0,1330	0,4991	18502	5,9
90	0,2122	0,6933	4707	3,6	0,4007	1,0009	1715	2,5	0,1658	0,5862	9268	4,4
95	0,6792	1,2587	1444	2,0	1,0321	1,4414	1	2,0	0,4718	1,0824	3835	2,0
100	0,2988	1,0000		3,3	0,2907	1,0000		3,4	0,3046	1,0000		3,3

**Annexe 1.9 : Table de mortalité de la région de San-Pedro**

x	Sexes confondus				Sexe masculin				Sexe féminin			
	nMx	nqx	lx	ex	nMx	nqx	lx	ex	nMx	nqx	lx	ex
0	0,0519	0,0498	100000	62,6	0,0627	0,0598	100000	60,9	0,0627	0,0598	100000	63,4
1	0,0068	0,0267	95020	64,9	0,0077	0,0302	94023	63,8	0,0058	0,0229	94023	66,4
5	0,0023	0,0113	92486	62,7	0,0025	0,0124	91184	61,7	0,0021	0,0103	91868	64,0
10	0,0020	0,0101	91436	58,3	0,0025	0,0122	90056	57,5	0,0016	0,0078	90926	59,6
15	0,0025	0,0126	90513	53,9	0,0030	0,0151	88957	53,2	0,0019	0,0097	90219	55,0
20	0,0028	0,0138	89371	49,6	0,0035	0,0173	87611	48,9	0,0020	0,0100	89345	50,6
25	0,0033	0,0162	88138	45,2	0,0040	0,0196	86099	44,7	0,0026	0,0128	88454	46,0
30	0,0032	0,0159	86709	40,9	0,0034	0,0169	84410	40,6	0,0030	0,0149	87325	41,6
35	0,0042	0,0210	85328	36,6	0,0042	0,0209	82983	36,2	0,0042	0,0210	86023	37,2
40	0,0054	0,0267	83539	32,3	0,0052	0,0255	81246	32,0	0,0058	0,0286	84217	32,9
45	0,0080	0,0393	81308	28,1	0,0081	0,0397	79178	27,7	0,0079	0,0385	81813	28,8
50	0,0118	0,0571	78115	24,2	0,0118	0,0575	76033	23,8	0,0116	0,0564	78661	24,9
55	0,0143	0,0691	73653	20,5	0,0137	0,0661	71660	20,1	0,0156	0,0749	74223	21,2
60	0,0212	0,1006	68561	16,8	0,0231	0,1090	66920	16,3	0,0173	0,0830	68661	17,7
65	0,0305	0,1419	61661	13,4	0,0302	0,1404	59624	13,0	0,0312	0,1449	62962	14,1
70	0,0535	0,2359	52913	10,2	0,0629	0,2718	51250	9,7	0,0360	0,1651	53838	11,1
75	0,0877	0,3596	40432	7,6	0,0931	0,3777	37318	7,4	0,0791	0,3302	44950	7,8
80	0,1312	0,4941	25894	5,4	0,1239	0,4729	23225	5,4	0,1417	0,5231	30106	5,4
85	0,2974	0,8529	13100	3,3	0,3203	0,8894	12241	3,1	0,2671	0,8008	14357	3,6
90	0,2932	0,8459	1927	2,9	0,3055	0,8660	1354	2,8	0,2798	0,8231	2860	3,0
95	1,2615	1,5185	297	1,5	1,4921	1,5772	181	2,0	1,0423	1,4453	506	0,3
100	0,4497	1,0000		2,2	0,4800	1,0000		2,1	0,4163	1,0000		2,4

**Annexe 1.10 : Table de mortalité de la région du Kabadougou**

x	Sexes confondus				Sexe masculin				Sexe féminin			
	nMx	nqx	lx	ex	nMx	nqx	lx	ex	nMx	nqx	lx	ex
0	0,1464	0,1335	100000	55,6	0,1552	0,1406	100000	52,7	0,1338	0,1231	100000	59,4
1	0,0130	0,0503	86650	63,1	0,0148	0,0571	85940	60,2	0,0111	0,0430	87690	66,7
5	0,0030	0,0147	82295	62,4	0,0033	0,0162	81035	59,8	0,0026	0,0130	83919	65,6
10	0,0032	0,0157	81085	58,3	0,0039	0,0195	79719	55,7	0,0022	0,0111	82830	61,5
15	0,0028	0,0141	79813	54,2	0,0032	0,0158	78168	51,8	0,0024	0,0121	81908	57,1
20	0,0036	0,0177	78686	49,9	0,0039	0,0194	76933	47,6	0,0032	0,0160	80919	52,8
25	0,0053	0,0262	77297	45,8	0,0057	0,0279	75444	43,5	0,0050	0,0246	79629	48,6

x	Sexes confondus				Sexe masculin				Sexe féminin			
	nMx	nqx	lx	ex	nMx	nqx	lx	ex	nMx	nqx	lx	ex
30	0,0046	0,0228	75272	41,9	0,0053	0,0263	73341	39,6	0,0039	0,0194	77672	44,8
35	0,0040	0,0197	73555	37,9	0,0037	0,0184	71412	35,7	0,0043	0,0212	76168	40,6
40	0,0070	0,0345	72103	33,6	0,0080	0,0390	70095	31,3	0,0059	0,0292	74554	36,4
45	0,0081	0,0396	69613	29,7	0,0107	0,0519	67360	27,4	0,0048	0,0237	72376	32,5
50	0,0124	0,0602	66856	25,8	0,0139	0,0674	63866	23,8	0,0107	0,0520	70661	28,2
55	0,0154	0,0741	62830	22,3	0,0170	0,0816	59563	20,3	0,0136	0,0657	66987	24,6
60	0,0222	0,1053	58172	18,9	0,0272	0,1276	54705	16,9	0,0176	0,0842	62582	21,1
65	0,0203	0,0968	52049	15,8	0,0278	0,1301	47727	14,0	0,0139	0,0670	57312	17,9
70	0,0463	0,2075	47011	12,2	0,0553	0,2428	41516	10,8	0,0385	0,1756	53474	14,0
75	0,0599	0,2604	37255	9,8	0,0758	0,3188	31437	8,4	0,0471	0,2108	44081	11,4
80	0,0977	0,3926	27552	7,4	0,1201	0,4620	21415	6,2	0,0801	0,3338	34788	8,8
85	0,1256	0,4779	16736	5,5	0,1865	0,6359	11522	4,4	0,0796	0,3320	23175	6,9
90	0,2232	0,7163	8738	3,2	0,3319	0,9069	4196	2,6	0,1591	0,5691	15481	4,1
95	0,9167	1,3924	2479	1,8	2,0877	1,6784	391	2,0	0,5783	1,1822	6671	1,3
100	0,2744	1,0000		3,6	0,3190	1,0000		3,1	0,2464	1,0000		4,1

**Annexe 1.11 : Table de mortalité de la région du N'zi**

x	Sexes confondus				Sexe masculin				Sexe féminin			
	nMx	nqx	lx	ex	nMx	nqx	lx	ex	nMx	nqx	lx	ex
0	0,0487	0,0468	100000	59,4	0,0589	0,0563	100000	55,2	0,0366	0,0355	100000	64,1
1	0,0083	0,0325	95320	61,3	0,0094	0,0368	94370	57,5	0,0071	0,0281	96450	65,5
5	0,0018	0,0089	92218	59,3	0,0015	0,0077	90898	55,6	0,0020	0,0101	93742	63,3
10	0,0015	0,0074	91399	54,8	0,0015	0,0074	90197	51,0	0,0015	0,0075	92792	59,0
15	0,0028	0,0141	90718	50,2	0,0032	0,0157	89529	46,4	0,0025	0,0122	92095	54,4
20	0,0043	0,0213	89436	45,9	0,0060	0,0295	88119	42,1	0,0024	0,0121	90972	50,0
25	0,0073	0,0357	87530	41,9	0,0088	0,0430	85519	38,3	0,0056	0,0278	89873	45,6
30	0,0087	0,0425	84402	38,3	0,0092	0,0450	81843	34,9	0,0081	0,0398	87375	41,8
35	0,0083	0,0409	80812	34,9	0,0094	0,0460	78158	31,4	0,0073	0,0356	83895	38,5
40	0,0112	0,0547	77511	31,3	0,0129	0,0625	74565	27,8	0,0095	0,0463	80904	34,8
45	0,0144	0,0697	73271	28,0	0,0178	0,0851	69906	24,5	0,0110	0,0533	77156	31,4
50	0,0198	0,0945	68164	24,9	0,0248	0,1166	63956	21,5	0,0155	0,0746	73041	28,0
55	0,0165	0,0791	61722	22,2	0,0242	0,1143	56499	19,1	0,0109	0,0533	67591	25,1
60	0,0264	0,1238	56837	18,9	0,0336	0,1550	50042	16,2	0,0210	0,0996	63990	21,3
65	0,0246	0,1159	49798	16,2	0,0316	0,1465	42285	13,7	0,0194	0,0925	57616	18,4
70	0,0386	0,1762	44027	13,0	0,0582	0,2541	36092	10,6	0,0266	0,1246	52285	15,0
75	0,0514	0,2278	36270	10,3	0,0724	0,3067	26921	8,4	0,0395	0,1796	45768	11,8
80	0,0940	0,3807	28006	7,5	0,1110	0,4343	18665	6,0	0,0840	0,3471	37549	8,8
85	0,1414	0,5224	17345	5,7	0,2648	0,7967	10559	3,7	0,0830	0,3437	24515	7,2
90	0,1807	0,6223	8283	4,1	0,2510	0,7711	2147	3,4	0,1508	0,5475	16090	4,7
95	0,5831	1,1863	3129	1,7	0,8218	1,3452	491	1,2	0,4255	1,0309	7280	2,4
100	0,6053	1,0000		1,7	0,8680	1,0000		1,2	0,4948	1,0000		2,0

**Annexe 1.12 : Table de mortalité de la région de la Marahoué**

x	Sexes confondus				Sexe masculin				Sexe féminin			
	nMx	nqx	Ix	ex	nMx	nqx	Ix	ex	nMx	nqx	Ix	ex
0	0,0353	0,0343	100000	61,8	0,0337	0,0327	100000	59,4	0,0370	0,0359	100000	65,0
1	0,0064	0,0251	96570	63,0	0,0075	0,0296	96730	60,4	0,0051	0,0202	96410	66,4
5	0,0020	0,0098	94147	60,6	0,0021	0,0103	93865	58,2	0,0018	0,0092	94465	63,7
10	0,0022	0,0108	93227	56,2	0,0026	0,0131	92895	53,8	0,0016	0,0081	93600	59,3
15	0,0030	0,0148	92216	51,8	0,0033	0,0163	91676	49,4	0,0026	0,0129	92842	54,8
20	0,0041	0,0203	90853	47,5	0,0050	0,0249	90183	45,2	0,0030	0,0151	91647	50,4
25	0,0065	0,0321	89013	43,4	0,0091	0,0445	87936	41,3	0,0040	0,0197	90266	46,2
30	0,0054	0,0268	86159	39,8	0,0061	0,0301	84022	38,1	0,0048	0,0235	88490	42,1
35	0,0071	0,0347	83849	35,8	0,0075	0,0367	81489	34,2	0,0066	0,0325	86410	38,0
40	0,0060	0,0296	80936	32,0	0,0062	0,0307	78495	30,4	0,0057	0,0283	83599	34,2
45	0,0099	0,0485	78537	27,9	0,0110	0,0533	76088	26,3	0,0086	0,0419	81232	30,1
50	0,0132	0,0638	74729	24,2	0,0137	0,0664	72032	22,7	0,0125	0,0606	77828	26,3
55	0,0178	0,0850	69961	20,7	0,0204	0,0970	67252	19,1	0,0146	0,0705	73115	22,9
60	0,0253	0,1188	64014	17,4	0,0281	0,1315	60727	15,9	0,0220	0,1041	67961	19,4
65	0,0332	0,1531	56407	14,4	0,0411	0,1862	52742	12,9	0,0241	0,1136	60885	16,4
70	0,0482	0,2152	47773	11,6	0,0600	0,2609	42923	10,3	0,0358	0,1642	53970	13,2
75	0,0620	0,2685	37490	9,0	0,0759	0,3190	31726	8,0	0,0480	0,2145	45107	10,3
80	0,1044	0,4141	27424	6,4	0,1312	0,4941	21604	5,6	0,0823	0,3414	35433	7,4
85	0,2169	0,7033	16067	4,2	0,2619	0,7913	10929	3,6	0,1800	0,6207	23336	4,9
90	0,2122	0,6933	4768	3,3	0,3206	0,8899	2281	2,8	0,1507	0,5473	8852	3,8
95	1,0560	1,4506	1462	0,7	1,2608	1,5183	251	1,0	0,8517	1,3608	4007	0,4
100	0,3354	1,0000		3,0	0,3718	1,0000		2,7	0,3049	1,0000		3,3

**Annexe 1.13 : Table de mortalité de la région du Sud-Comoé**

x	Sexes confondus				Sexe masculin				Sexe féminin			
	nMx	nqx	Ix	ex	nMx	nqx	Ix	ex	nMx	nqx	Ix	ex
0	0,0320	0,0311	100000	66,1	0,0305	0,0297	100000	64,3	0,0334	0,0325	100000	68,4
1	0,0047	0,0188	96890	67,2	0,0053	0,0210	97030	65,3	0,0041	0,0163	96750	69,7
5	0,0015	0,0074	95072	64,5	0,0016	0,0082	94988	62,7	0,0013	0,0066	95173	66,8
10	0,0016	0,0079	94365	60,0	0,0017	0,0085	94210	58,2	0,0015	0,0073	94543	62,2
15	0,0019	0,0097	93617	55,4	0,0023	0,0116	93410	53,6	0,0015	0,0077	93850	57,7
20	0,0027	0,0135	92711	50,9	0,0032	0,0161	92327	49,2	0,0022	0,0109	93131	53,1
25	0,0037	0,0184	91461	46,6	0,0044	0,0218	90845	45,0	0,0030	0,0151	92119	48,7
30	0,0038	0,0186	89779	42,4	0,0042	0,0206	88864	40,9	0,0034	0,0167	90728	44,4
35	0,0049	0,0240	88106	38,2	0,0048	0,0239	87033	36,8	0,0049	0,0242	89211	40,1
40	0,0055	0,0273	85989	34,1	0,0054	0,0268	84952	32,6	0,0057	0,0279	87056	36,0
45	0,0081	0,0398	83645	29,9	0,0084	0,0413	82679	28,4	0,0077	0,0377	84628	32,0
50	0,0113	0,0550	80317	26,1	0,0121	0,0589	79266	24,5	0,0102	0,0498	81438	28,1
55	0,0146	0,0707	75902	22,5	0,0182	0,0869	74598	20,9	0,0102	0,0496	77386	24,5
60	0,0206	0,0977	70539	19,0	0,0237	0,1117	68113	17,7	0,0168	0,0807	73544	20,6
65	0,0239	0,1130	63644	15,8	0,0267	0,1253	60505	14,6	0,0205	0,0974	67608	17,2
70	0,0460	0,2061	56454	12,4	0,0500	0,2222	52925	11,3	0,0416	0,1882	61020	13,8
75	0,0542	0,2385	44819	10,0	0,0686	0,2929	41164	8,8	0,0388	0,1768	49536	11,4

x	Sexes confondus				Sexe masculin				Sexe féminin			
	nMx	nqx	lx	ex	nMx	nqx	lx	ex	nMx	nqx	lx	ex
80	0,1006	0,4021	34130	7,4	0,1154	0,4478	29108	6,4	0,0893	0,3651	40779	8,3
85	0,1470	0,5375	20407	5,7	0,1892	0,6422	16073	4,6	0,1195	0,4601	25889	6,7
90	0,1982	0,6628	9439	4,3	0,2658	0,7984	5751	3,5	0,1474	0,5385	13977	5,2
95	0,3451	0,9263	3183	2,9	0,4138	1,0169	1160	2,4	0,2771	0,8185	6451	3,4
100	0,3644	1,0000	235	2,7	0,3146	1,0000		3,2	0,4007	1,0000	1171	2,5

**Annexe 1.14 :** Table de mortalité de la région du Worodougou

x	Sexes confondus				Sexe masculin				Sexe féminin			
	nMx	nqx	lx	ex	nMx	nqx	lx	ex	nMx	nqx	lx	ex
0	0,1497	0,1362	100000	51,1	0,1654	0,1489	100000	48,9	0,1306	0,1204	100000	54,0
1	0,0148	0,0569	86380	58,1	0,0165	0,0631	85110	56,4	0,0130	0,0503	87960	60,4
5	0,0039	0,0192	81465	57,6	0,0040	0,0197	79738	56,1	0,0038	0,0188	83534	59,5
10	0,0024	0,0121	79898	53,6	0,0028	0,0140	78170	52,2	0,0020	0,0098	81966	55,6
15	0,0036	0,0177	78935	49,3	0,0042	0,0209	77079	47,9	0,0028	0,0140	81165	51,1
20	0,0036	0,0180	77537	45,1	0,0042	0,0208	75470	43,9	0,0031	0,0155	80030	46,8
25	0,0055	0,0270	76142	40,9	0,0068	0,0332	73899	39,7	0,0044	0,0216	78787	42,5
30	0,0054	0,0264	74086	36,9	0,0052	0,0258	71443	36,0	0,0055	0,0271	77083	38,4
35	0,0068	0,0336	72128	32,9	0,0067	0,0328	69599	31,9	0,0071	0,0347	74995	34,4
40	0,0072	0,0355	69704	28,9	0,0077	0,0377	67317	27,9	0,0066	0,0324	72395	30,5
45	0,0127	0,0615	67228	24,9	0,0120	0,0581	64782	23,9	0,0138	0,0665	70051	26,5
50	0,0169	0,0810	63096	21,4	0,0184	0,0881	61016	20,2	0,0149	0,0718	65390	23,2
55	0,0199	0,0950	57982	18,0	0,0216	0,1026	55641	16,9	0,0178	0,0851	60692	19,8
60	0,0348	0,1600	52475	14,7	0,0351	0,1612	49935	13,6	0,0344	0,1585	55526	16,4
65	0,0444	0,1997	44080	12,0	0,0489	0,2179	41885	10,7	0,0394	0,1795	46725	14,0
70	0,0782	0,3271	35276	9,4	0,0916	0,3728	32759	8,0	0,0649	0,2792	38338	11,5
75	0,0876	0,3592	23736	7,7	0,1146	0,4453	20547	6,2	0,0608	0,2638	27634	10,0
80	0,1601	0,5718	15210	5,6	0,2229	0,7157	11399	4,2	0,1083	0,4262	20343	7,7
85	0,1786	0,6173	6513	4,8	0,2495	0,7683	3240	3,6	0,1148	0,4459	11672	6,5
90	0,2557	0,7800	2492	3,4	0,4107	1,0132	751	2,5	0,1393	0,5167	6467	4,8
95	0,6201	1,2157	548	1,6	0,8960	1,3827	4	1,1	0,4408	1,0486	3126	2,3
100	0,6285	1,0000		1,6	0,8406	1,0000		1,2	0,4681	1,0000		2,1

**Annexe 1.15 :** Table de mortalité de la région du Loh-Djiboua

x	Sexes confondus				Sexe masculin				Sexe féminin			
	nMx	nqx	lx	ex	nMx	nqx	lx	ex	nMx	nqx	lx	ex
0	0,0551	0,0528	100000	63,7	0,0676	0,0642	100000	61,4	0,0398	0,0385	100000	66,8
1	0,0074	0,0289	94720	66,3	0,0085	0,0332	93580	64,6	0,0062	0,0243	96150	68,4
5	0,0017	0,0087	91984	64,2	0,0019	0,0093	90476	62,7	0,0016	0,0080	93812	66,1
10	0,0015	0,0075	91185	59,8	0,0017	0,0084	89631	58,3	0,0013	0,0066	93063	61,6
15	0,0022	0,0110	90497	55,2	0,0027	0,0132	88881	53,8	0,0017	0,0084	92449	57,0
20	0,0029	0,0143	89502	50,8	0,0032	0,0159	87709	49,5	0,0025	0,0126	91673	52,5
25	0,0042	0,0206	88225	46,5	0,0047	0,0231	86314	45,2	0,0037	0,0182	90522	48,1
30	0,0038	0,0189	86412	42,4	0,0046	0,0226	84321	41,2	0,0031	0,0152	88870	44,0
35	0,0049	0,0242	84780	38,2	0,0048	0,0235	82412	37,1	0,0051	0,0250	87516	39,6

x	Sexes confondus				Sexe masculin				Sexe féminin			
	nMx	nqx	lx	ex	nMx	nqx	lx	ex	nMx	nqx	lx	ex
40	0,0056	0,0276	82727	34,1	0,0058	0,0284	80475	32,9	0,0054	0,0266	85329	35,6
45	0,0072	0,0354	80443	29,9	0,0077	0,0379	78191	28,8	0,0065	0,0319	83056	31,5
50	0,0117	0,0568	77597	26,0	0,0125	0,0606	75231	24,9	0,0107	0,0520	80409	27,4
55	0,0131	0,0635	73190	22,4	0,0144	0,0697	70673	21,3	0,0114	0,0555	76227	23,8
60	0,0224	0,1060	68544	18,7	0,0231	0,1091	65747	17,7	0,0215	0,1021	71997	20,0
65	0,0229	0,1081	61277	15,6	0,0240	0,1133	58575	14,6	0,0213	0,1011	64644	17,0
70	0,0415	0,1882	54654	12,2	0,0506	0,2247	51940	11,1	0,0308	0,1429	58108	13,7
75	0,0614	0,2662	44369	9,5	0,0698	0,2970	40268	8,6	0,0520	0,2300	49803	10,5
80	0,1022	0,4071	32558	7,0	0,1208	0,4639	28308	6,2	0,0851	0,3509	38350	7,9
85	0,1518	0,5501	19304	5,1	0,1879	0,6393	15175	4,5	0,1239	0,4730	24893	5,8
90	0,2362	0,7426	8685	3,3	0,2726	0,8106	5474	2,9	0,2080	0,6842	13119	3,8
95	0,7769	1,3203	2236	1,4	1,0906	1,4633	1037	1,0	0,5351	1,1444	4142	1,6
100	0,3015	1,0000		3,3	0,3154	1,0000		3,2	0,2909	1,0000		3,4

**Annexe 1.16 :** Table de mortalité de la région du Agneby-Tiassa

x	Sexes confondus				Sexe masculin				Sexe féminin			
	nMx	nqx	lx	ex	nMx	nqx	lx	ex	nMx	nqx	lx	ex
0	0,0418	0,0404	100000	63,8	0,0363	0,0352	100000	62,6	0,0481	0,0463	100000	65,3
1	0,0064	0,0251	95962	65,4	0,0067	0,0263	96482	63,9	0,0061	0,0239	95369	67,5
5	0,0019	0,0093	93549	63,1	0,0019	0,0097	93940	61,5	0,0018	0,0088	93094	65,1
10	0,0016	0,0080	92684	58,6	0,0020	0,0097	93033	57,1	0,0012	0,0062	92273	60,6
15	0,0023	0,0113	91938	54,1	0,0025	0,0124	92130	52,7	0,0020	0,0099	91701	56,0
20	0,0031	0,0156	90902	49,7	0,0032	0,0161	90986	48,3	0,0030	0,0150	90793	51,5
25	0,0047	0,0231	89487	45,4	0,0049	0,0244	89523	44,0	0,0044	0,0218	89433	47,3
30	0,0046	0,0226	87418	41,5	0,0048	0,0239	87338	40,1	0,0043	0,0213	87484	43,3
35	0,0054	0,0265	85438	37,4	0,0049	0,0242	85247	36,0	0,0059	0,0292	85623	39,2
40	0,0062	0,0307	83171	33,3	0,0060	0,0298	83187	31,8	0,0065	0,0317	83121	35,3
45	0,0095	0,0463	80621	29,3	0,0098	0,0478	80708	27,7	0,0090	0,0442	80483	31,4
50	0,0116	0,0562	76892	25,6	0,0128	0,0618	76853	24,0	0,0101	0,0490	76929	27,7
55	0,0136	0,0657	72569	22,0	0,0161	0,0775	72101	20,4	0,0106	0,0516	73156	24,0
60	0,0208	0,0990	67803	18,3	0,0248	0,1165	66513	16,9	0,0163	0,0781	69382	20,2
65	0,0254	0,1192	61093	15,1	0,0272	0,1272	58761	13,8	0,0231	0,1092	63961	16,7
70	0,0513	0,2272	53811	11,8	0,0581	0,2535	51284	10,5	0,0432	0,1949	56974	13,4
75	0,0621	0,2688	41584	9,5	0,0790	0,3300	38283	8,2	0,0463	0,2076	45871	11,0
80	0,1075	0,4236	30407	7,1	0,1360	0,5074	25649	6,0	0,0861	0,3542	36348	8,3
85	0,1671	0,5892	17527	5,4	0,1994	0,6653	12635	4,5	0,1435	0,5281	23473	6,4
90	0,1595	0,5702	7200	4,6	0,2262	0,7224	4229	3,5	0,1188	0,4581	11077	5,8
95	0,4288	1,0348	3094	2,3	0,7125	1,2809	1174	1,2	0,2888	0,8386	6003	3,6
100	0,3122	1,0000		3,2	0,4853	1,0000		2,1	0,2312	1,0000	969	4,3

**Annexe 1.17 :** Table de mortalité de la région du Goh

x	Sexes confondus				Sexe masculin				Sexe féminin			
	nMx	nqx	lx	ex	nMx	nqx	lx	ex	nMx	nqx	lx	ex
0	0,0454	0,0438	100000	63,8	0,0418	0,0404	100000	62,4	0,0493	0,0474	100000	65,4
1	0,0068	0,0268	95620	65,7	0,0077	0,0302	95962	64,0	0,0059	0,0233	95260	67,7

x	Sexes confondus				Sexe masculin				Sexe féminin			
	nMx	nqx	lx	ex	nMx	nqx	lx	ex	nMx	nqx	lx	ex
5	0,0017	0,0085	93055	63,5	0,0021	0,0105	93063	62,0	0,0013	0,0065	93045	65,2
10	0,0015	0,0076	92260	59,0	0,0019	0,0094	92087	57,6	0,0011	0,0055	92443	60,6
15	0,0021	0,0105	91562	54,4	0,0022	0,0111	91222	53,1	0,0020	0,0097	91936	56,0
20	0,0030	0,0148	90602	50,0	0,0034	0,0170	90207	48,7	0,0025	0,0125	91042	51,5
25	0,0040	0,0197	89260	45,7	0,0049	0,0243	88675	44,5	0,0032	0,0157	89906	47,1
30	0,0045	0,0225	87499	41,6	0,0046	0,0228	86524	40,6	0,0045	0,0221	88494	42,8
35	0,0055	0,0269	85534	37,5	0,0060	0,0294	84552	36,4	0,0049	0,0243	86534	38,7
40	0,0064	0,0317	83233	33,4	0,0060	0,0295	82068	32,5	0,0070	0,0344	84432	34,6
45	0,0085	0,0415	80595	29,4	0,0085	0,0414	79643	28,4	0,0085	0,0416	81526	30,8
50	0,0146	0,0703	77250	25,6	0,0150	0,0721	76346	24,5	0,0140	0,0678	78133	27,0
55	0,0132	0,0639	71821	22,4	0,0149	0,0719	70837	21,2	0,0112	0,0543	72832	23,8
60	0,0223	0,1056	67230	18,7	0,0236	0,1114	65746	17,7	0,0207	0,0985	68876	20,0
65	0,0249	0,1170	60129	15,6	0,0272	0,1273	58421	14,6	0,0219	0,1037	62089	16,9
70	0,0445	0,2004	53094	12,4	0,0500	0,2222	50985	11,3	0,0380	0,1735	55652	13,6
75	0,0586	0,2556	42456	9,8	0,0684	0,2920	39658	8,8	0,0489	0,2181	45994	10,9
80	0,0972	0,3909	31604	7,4	0,1232	0,4710	28077	6,4	0,0784	0,3279	35965	8,3
85	0,1376	0,5119	19249	5,5	0,1550	0,5584	14852	4,9	0,1236	0,4720	24172	6,1
90	0,2107	0,6899	9396	3,6	0,2864	0,8345	6558	3,0	0,1581	0,5667	12762	4,3
95	0,7316	1,2930	2913	1,1	0,9761	1,4187	1085	0,7	0,5638	1,1700	5530	1,6
100	0,4443	1,0000		2,3	0,5920	1,0000		1,7	0,3509	1,0000		2,8

**Annexe 1.18 : Table de mortalité de la région du Cavally**

x	Sexes confondus				Sexe masculin				Sexe féminin			
	nMx	nqx	lx	ex	nMx	nqx	lx	ex	nMx	nqx	lx	ex
0	0,0461	0,0444	100000	56,1	0,0472	0,0454	100000	55,6	0,0442	0,0426	100000	56,7
1	0,0073	0,0286	95562	57,7	0,0080	0,0313	95460	57,2	0,0065	0,0256	95740	58,2
5	0,0029	0,0143	92830	55,3	0,0031	0,0155	92469	55,0	0,0026	0,0129	93293	55,7
10	0,0024	0,0118	91505	51,1	0,0026	0,0131	91039	50,9	0,0020	0,0101	92086	51,4
15	0,0031	0,0155	90427	46,7	0,0035	0,0173	89843	46,5	0,0027	0,0132	91153	46,9
20	0,0034	0,0168	89025	42,4	0,0035	0,0174	88292	42,3	0,0033	0,0162	89949	42,4
25	0,0049	0,0244	87528	38,0	0,0052	0,0254	86758	38,0	0,0047	0,0232	88494	38,1
30	0,0050	0,0249	85394	33,9	0,0047	0,0234	84550	33,9	0,0054	0,0268	86444	33,9
35	0,0076	0,0374	83267	29,7	0,0072	0,0354	82570	29,7	0,0083	0,0405	84126	29,8
40	0,0091	0,0443	80153	25,8	0,0087	0,0424	79643	25,7	0,0098	0,0477	80718	26,0
45	0,0158	0,0761	76604	21,9	0,0149	0,0717	76269	21,7	0,0176	0,0841	76868	22,1
50	0,0267	0,1251	70772	18,5	0,0249	0,1173	70800	18,2	0,0297	0,1381	70401	18,9
55	0,0304	0,1411	61917	15,8	0,0299	0,1391	62493	15,2	0,0311	0,1441	60675	16,6
60	0,0447	0,2012	53184	12,9	0,0444	0,2000	53801	12,3	0,0452	0,2032	51932	14,0
65	0,0522	0,2307	42481	10,6	0,0556	0,2442	43042	9,8	0,0466	0,2088	41381	11,9
70	0,0927	0,3763	32681	8,0	0,1062	0,4196	32530	7,1	0,0750	0,3159	32741	9,3
75	0,1143	0,4446	20384	6,3	0,1385	0,5144	18879	5,4	0,0874	0,3588	22399	7,5
80	0,2055	0,6787	11321	4,3	0,2675	0,8016	9168	3,6	0,1477	0,5394	14363	5,3
85	0,3099	0,8731	3638	3,2	0,3525	0,9369	1819	2,8	0,2694	0,8049	6616	3,6
90	0,3575	0,9439	462	2,7	0,4621	1,0721	115	2,3	0,2915	0,8431	1291	3,1
95	1,0018	1,4293	26	0,7	1,3738	1,5490	5	0,5	0,7545	1,3071	203	1,1
100	0,6038	1,0000		1,7	0,8154	1,0000		1,2	0,4527	1,0000		2,2

**Annexe 1.19 : Table de mortalité de la région du Bafing**

x	Sexes confondus				Sexe masculin				Sexe féminin			
	nMx	nqx	lx	ex	nMx	nqx	lx	ex	nMx	nqx	lx	ex
0	0,1401	0,1282	100000	54,3	0,1416	0,1293	100000	52,3	0,1364	0,1253	100000	56,8
1	0,0123	0,0478	87179	61,2	0,0145	0,0559	87068	59,0	0,0100	0,0390	87470	63,9
5	0,0030	0,0147	83015	60,2	0,0031	0,0156	82198	58,4	0,0028	0,0138	84055	62,4
10	0,0023	0,0117	81792	56,1	0,0027	0,0133	80916	54,3	0,0019	0,0097	82897	58,2
15	0,0042	0,0209	80837	51,7	0,0051	0,0252	79836	50,0	0,0032	0,0159	82094	53,8
20	0,0039	0,0191	79145	47,7	0,0049	0,0242	77825	46,2	0,0029	0,0145	80787	49,6
25	0,0051	0,0251	77636	43,6	0,0059	0,0292	75942	42,3	0,0043	0,0215	79614	45,3
30	0,0055	0,0271	75688	39,7	0,0060	0,0297	73726	38,5	0,0049	0,0244	77903	41,2
35	0,0067	0,0330	73639	35,7	0,0070	0,0344	71539	34,6	0,0064	0,0314	75999	37,2
40	0,0069	0,0340	71207	31,9	0,0064	0,0315	69075	30,7	0,0076	0,0374	73614	33,3
45	0,0116	0,0563	68783	27,9	0,0140	0,0674	66900	26,7	0,0085	0,0415	70863	29,5
50	0,0184	0,0881	64907	24,4	0,0180	0,0863	62390	23,4	0,0189	0,0903	67925	25,7
55	0,0146	0,0706	59192	21,5	0,0187	0,0891	57007	20,4	0,0100	0,0486	61792	23,0
60	0,0230	0,1086	55012	18,0	0,0264	0,1237	51927	17,1	0,0193	0,0920	58788	19,0
65	0,0334	0,1543	49038	14,8	0,0316	0,1466	45505	14,2	0,0355	0,1629	53379	15,7
70	0,0418	0,1893	41471	12,1	0,0460	0,2063	38834	11,2	0,0378	0,1728	44684	13,3
75	0,0768	0,3222	33622	9,3	0,0811	0,3372	30821	8,5	0,0721	0,3055	36963	10,6
80	0,0858	0,3532	22788	7,6	0,1019	0,4059	20428	6,5	0,0680	0,2907	25672	9,1
85	0,1474	0,5386	14740	5,4	0,2220	0,7138	12136	4,2	0,0795	0,3315	18209	6,8
90	0,2000	0,6666	6801	3,8	0,2466	0,7628	3473	3,5	0,1612	0,5744	12172	3,9
95	0,5662	1,1720	2267	1,3	0,5027	1,1138	824	1,7	0,6342	1,2264	5180	0,9
100	0,2103	1,0000		4,8	0,2118	1,0000		4,7	0,2093	1,0000		4,8

**Annexe 1.20 : Table de mortalité de la région de la Bagoué**

x	Sexes confondus				Sexe masculin				Sexe féminin			
	nMx	nqx	lx	ex	nMx	nqx	lx	ex	nMx	nqx	lx	ex
0	0,1405	0,1286	100000	59,4	0,1395	0,1276	100000	56,9	0,1401	0,1284	100000	62,2
1	0,0122	0,0474	87145	67,1	0,0132	0,0509	87242	64,1	0,0112	0,0436	87163	70,3
5	0,0025	0,0126	83014	66,3	0,0024	0,0120	82798	63,5	0,0026	0,0131	83361	69,5
10	0,0021	0,0105	81970	62,1	0,0022	0,0111	81801	59,2	0,0020	0,0099	82266	65,4
15	0,0022	0,0108	81106	57,8	0,0025	0,0126	80893	54,9	0,0018	0,0089	81451	61,0
20	0,0029	0,0144	80226	53,4	0,0034	0,0169	79874	50,5	0,0024	0,0121	80725	56,5
25	0,0031	0,0156	79069	49,1	0,0038	0,0187	78526	46,4	0,0025	0,0126	79752	52,2
30	0,0033	0,0162	77837	44,9	0,0034	0,0170	77054	42,2	0,0031	0,0153	78747	47,8
35	0,0044	0,0219	76579	40,6	0,0043	0,0211	75746	37,9	0,0046	0,0227	77539	43,5
40	0,0061	0,0301	74902	36,4	0,0065	0,0322	74145	33,6	0,0056	0,0275	75776	39,5
45	0,0055	0,0270	72649	32,5	0,0063	0,0309	71756	29,7	0,0045	0,0223	73695	35,5
50	0,0084	0,0410	70687	28,3	0,0095	0,0462	69536	25,6	0,0072	0,0354	72052	31,3
55	0,0121	0,0588	67787	24,4	0,0155	0,0747	66326	21,7	0,0088	0,0429	69499	27,3
60	0,0190	0,0906	63799	20,8	0,0241	0,1136	61368	18,2	0,0145	0,0701	66518	23,5
65	0,0197	0,0940	58020	17,6	0,0274	0,1283	54398	15,2	0,0129	0,0626	61857	20,0
70	0,0355	0,1630	52566	14,1	0,0530	0,2338	47419	12,1	0,0221	0,1049	57984	16,2

x	Sexes confondus				Sexe masculin				Sexe féminin			
	nMx	nqx	lx	ex	nMx	nqx	lx	ex	nMx	nqx	lx	ex
75	0,0400	0,1818	43999	11,4	0,0489	0,2177	36331	10,0	0,0328	0,1517	51900	12,8
80	0,0811	0,3371	36002	8,4	0,1002	0,4005	28423	7,1	0,0677	0,2897	44027	9,7
85	0,0968	0,3896	23864	6,4	0,1520	0,5507	17039	5,2	0,0587	0,2561	31273	7,6
90	0,1094	0,4295	14567	3,9	0,1676	0,5905	7656	3,6	0,0656	0,2818	23265	4,3
95	1,0040	1,4302	8310	1,0	1,1709	1,4907	3136	0,1	0,8282	1,3486	16709	0,0
100	0,2865	1,0000		3,5	0,4261	1,0000		2,3	0,2178	1,0000		4,6

**Annexe 1.21 :** Table de mortalité de la région du Bélier

x	Sexes confondus				Sexe masculin				Sexe féminin			
	nMx	nqx	lx	ex	nMx	nqx	lx	ex	nMx	nqx	lx	ex
0	0,0230	0,0225	100000	58,8	0,0210	0,0206	100000	56,0	0,0249	0,0244	100000	61,9
1	0,0073	0,0286	97750	59,2	0,0081	0,0318	97937	56,2	0,0064	0,0252	97560	62,5
5	0,0017	0,0086	94952	56,9	0,0017	0,0084	94819	54,0	0,0018	0,0088	95097	60,1
10	0,0015	0,0073	94138	52,4	0,0017	0,0086	94023	49,5	0,0012	0,0057	94263	55,6
15	0,0027	0,0134	93452	47,7	0,0029	0,0144	93211	44,9	0,0025	0,0122	93721	50,9
20	0,0047	0,0231	92198	43,3	0,0061	0,0302	91872	40,5	0,0031	0,0152	92574	46,5
25	0,0068	0,0334	90066	39,3	0,0076	0,0372	89096	36,7	0,0060	0,0295	91163	42,2
30	0,0076	0,0372	87053	35,6	0,0078	0,0384	85782	33,0	0,0073	0,0359	88470	38,4
35	0,0087	0,0427	83817	31,9	0,0086	0,0422	82488	29,2	0,0088	0,0431	85294	34,7
40	0,0125	0,0605	80241	28,2	0,0140	0,0675	79006	25,4	0,0108	0,0527	81615	31,2
45	0,0161	0,0773	75387	24,8	0,0185	0,0883	73673	22,0	0,0135	0,0652	77313	27,7
50	0,0258	0,1212	69563	21,7	0,0323	0,1495	67168	18,9	0,0198	0,0943	72273	24,5
55	0,0212	0,1007	61131	19,3	0,0281	0,1314	57124	16,8	0,0156	0,0750	65456	21,8
60	0,0332	0,1532	54978	16,2	0,0439	0,1979	49616	14,0	0,0242	0,1143	60545	18,4
65	0,0348	0,1601	46554	13,7	0,0429	0,1937	39797	11,8	0,0282	0,1316	53625	15,4
70	0,0573	0,2507	39099	10,8	0,0734	0,3100	32088	9,1	0,0463	0,2075	46566	12,4
75	0,0694	0,2956	29298	8,6	0,1017	0,4056	22140	7,0	0,0494	0,2200	36905	9,9
80	0,1398	0,5180	20638	6,2	0,1739	0,6060	13161	5,1	0,1192	0,4592	28788	7,1
85	0,1594	0,5699	9947	5,1	0,2215	0,7128	5185	4,1	0,1275	0,4833	15569	5,9
90	0,2030	0,6732	4278	3,6	0,2817	0,8265	1489	3,0	0,1633	0,5797	8045	4,1
95	0,8212	1,3449	1398	0,8	1,2016	1,5005	258	0,2	0,6348	1,2269	3381	1,3
100	0,4045	1,0000		2,5	0,4601	1,0000		2,2	0,3714	1,0000		2,7

**Annexe 1.22 :** Table de mortalité de la région du Bere

x	Sexes confondus				Sexe masculin				Sexe féminin			
	nMx	nqx	lx	ex	nMx	nqx	lx	ex	nMx	nqx	lx	ex
0	0,2046	0,1803	100000	50,2	0,1963	0,1735	100000	48,9	0,2124	0,1866	100000	51,9
1	0,0144	0,0556	81972	60,1	0,0163	0,0624	82653	58,1	0,0124	0,0482	81340	62,7
5	0,0032	0,0159	77413	59,6	0,0036	0,0179	77494	57,8	0,0028	0,0137	77421	61,8
10	0,0023	0,0116	76179	55,5	0,0029	0,0145	76105	53,8	0,0017	0,0082	76358	57,6
15	0,0027	0,0136	75293	51,1	0,0033	0,0164	75004	49,6	0,0020	0,0101	75729	53,1
20	0,0045	0,0223	74273	46,8	0,0051	0,0250	73775	45,4	0,0040	0,0197	74966	48,6
25	0,0049	0,0241	72618	42,8	0,0058	0,0287	71930	41,5	0,0040	0,0199	73487	44,5

x	Sexes confondus				Sexe masculin				Sexe féminin			
	nMx	nqx	lx	ex	nMx	nqx	lx	ex	nMx	nqx	lx	ex
30	0,0047	0,0233	70868	38,8	0,0043	0,0212	69866	37,6	0,0051	0,0253	72023	40,4
35	0,0046	0,0225	69218	34,7	0,0044	0,0216	68388	33,4	0,0048	0,0236	70199	36,3
40	0,0077	0,0377	67658	30,4	0,0078	0,0381	66908	29,1	0,0076	0,0372	68545	32,2
45	0,0113	0,0548	65107	26,5	0,0116	0,0563	64357	25,1	0,0108	0,0528	65998	28,3
50	0,0179	0,0856	61540	22,9	0,0198	0,0943	60732	21,5	0,0158	0,0758	62515	24,7
55	0,0156	0,0751	56272	19,8	0,0197	0,0938	55008	18,5	0,0110	0,0533	57775	21,6
60	0,0311	0,1443	52046	16,2	0,0354	0,1625	49850	15,1	0,0269	0,1260	54693	17,6
65	0,0290	0,1352	44539	13,5	0,0304	0,1414	41750	12,6	0,0275	0,1288	47801	14,8
70	0,0642	0,2767	38518	10,3	0,0728	0,3078	35847	9,2	0,0555	0,2436	41646	11,6
75	0,0683	0,2917	27860	8,2	0,0817	0,3392	24813	7,2	0,0542	0,2386	31499	9,6
80	0,1442	0,5299	19732	5,6	0,1738	0,6057	16396	4,6	0,1178	0,4549	23983	6,8
85	0,2299	0,7300	9275	4,0	0,3471	0,9292	6465	2,9	0,1390	0,5157	13073	5,4
90	0,2149	0,6989	2505	3,2	0,3097	0,8728	458	2,8	0,1526	0,5523	6331	3,5
95	1,4826	1,5751	754	1,0	2,1516	1,6865	58	1,0	1,1118	1,4708	2834	1,0
100	0,4541	1,0000		2,2	0,6968	1,0000		1,4	0,3070	1,0000		3,3

**Annexe 1.23 : Table de mortalité de la région du Bounkani**

x	Sexes confondus				Sexe masculin				Sexe féminin			
	nMx	nqx	lx	ex	nMx	nqx	lx	ex	nMx	nqx	lx	ex
0	0,0788	0,0745	100000	54,9	0,0773	0,0731	100000	52,3	0,0797	0,0753	100000	58,0
1	0,0164	0,0630	92554	58,3	0,0183	0,0700	92690	55,4	0,0144	0,0556	92469	61,7
5	0,0036	0,0180	86725	58,1	0,0042	0,0209	86203	55,4	0,0030	0,0148	87330	61,2
10	0,0029	0,0145	85166	54,1	0,0036	0,0178	84401	51,6	0,0021	0,0106	86034	57,1
15	0,0035	0,0175	83934	49,9	0,0043	0,0212	82901	47,4	0,0027	0,0136	85119	52,7
20	0,0045	0,0224	82466	45,7	0,0052	0,0257	81144	43,4	0,0039	0,0193	83959	48,4
25	0,0064	0,0313	80615	41,7	0,0084	0,0409	79061	39,5	0,0046	0,0227	82338	44,3
30	0,0056	0,0275	78093	38,0	0,0059	0,0289	75825	36,1	0,0053	0,0263	80472	40,2
35	0,0072	0,0355	75942	34,0	0,0080	0,0391	73631	32,1	0,0065	0,0318	78355	36,3
40	0,0098	0,0479	73247	30,2	0,0103	0,0503	70755	28,3	0,0093	0,0455	75864	32,4
45	0,0126	0,0609	69737	26,6	0,0148	0,0714	67196	24,6	0,0099	0,0485	72416	28,8
50	0,0159	0,0766	65491	23,1	0,0192	0,0914	62396	21,4	0,0125	0,0607	68902	25,1
55	0,0186	0,0886	60475	19,8	0,0214	0,1014	56691	18,2	0,0156	0,0753	64717	21,6
60	0,0307	0,1427	55114	16,5	0,0349	0,1606	50942	15,0	0,0269	0,1261	59844	18,1
65	0,0372	0,1702	47248	13,9	0,0444	0,1998	42763	12,4	0,0304	0,1412	52301	15,4
70	0,0491	0,2185	39204	11,2	0,0596	0,2594	34218	9,9	0,0402	0,1825	44918	12,5
75	0,0723	0,3061	30637	8,6	0,0916	0,3727	25341	7,5	0,0545	0,2399	36723	9,8
80	0,1079	0,4250	21258	6,3	0,1425	0,5254	15896	5,5	0,0798	0,3328	27911	7,1
85	0,1746	0,6078	12223	4,1	0,2345	0,7391	7544	3,7	0,1250	0,4762	18623	4,3
90	0,1065	0,4205	4794	1,7	0,1501	0,5457	1968	2,3	0,0695	0,2960	9755	1,0
95	2,3716	1,7114	2778	3,0	3,6200	1,8010	894	3,0	1,5753	1,5950	6868	3,0
100	0,1540	1,0000		6,5	0,2261	1,0000		4,4	0,1049	1,0000		9,5

**Annexe 1.24 : Table de mortalité de la région du Folon**

x	Sexes confondus				Sexe masculin				Sexe féminin			
	nMx	nqx	lx	ex	nMx	nqx	lx	ex	nMx	nqx	lx	ex
0	0,1918	0,1703	100000	50,9	0,1779	0,1590	100000	49,5	0,2058	0,1815	100000	52,7
1	0,0138	0,0533	82974	60,3	0,0149	0,0573	84101	57,7	0,0127	0,0490	81846	63,3
5	0,0033	0,0162	78549	59,6	0,0034	0,0170	79281	57,2	0,0031	0,0155	77835	62,5
10	0,0025	0,0122	77273	55,6	0,0027	0,0135	77936	53,1	0,0021	0,0106	76632	58,5
15	0,0029	0,0144	76331	51,2	0,0035	0,0175	76884	48,8	0,0021	0,0106	75817	54,1
20	0,0023	0,0115	75231	46,9	0,0025	0,0123	75542	44,6	0,0022	0,0108	75014	49,6
25	0,0047	0,0231	74364	42,5	0,0057	0,0280	74614	40,2	0,0038	0,0187	74207	45,1
30	0,0044	0,0218	72643	38,4	0,0047	0,0230	72524	36,2	0,0042	0,0207	72822	41,0
35	0,0059	0,0292	71057	34,2	0,0062	0,0303	70854	32,0	0,0057	0,0279	71314	36,8
40	0,0068	0,0333	68982	30,2	0,0073	0,0358	68704	28,0	0,0062	0,0304	69321	32,8
45	0,0094	0,0459	66687	26,1	0,0109	0,0533	66244	23,9	0,0076	0,0371	67214	28,7
50	0,0177	0,0846	63625	22,3	0,0206	0,0978	62714	20,1	0,0142	0,0687	64720	24,7
55	0,0219	0,1036	58240	19,1	0,0247	0,1161	56578	17,0	0,0186	0,0890	60271	21,4
60	0,0304	0,1413	52205	16,0	0,0354	0,1626	50010	13,9	0,0263	0,1234	54906	18,2
65	0,0457	0,2052	44830	13,2	0,0590	0,2572	41877	11,1	0,0336	0,1549	48131	15,4
70	0,0681	0,2910	35630	11,0	0,1020	0,4062	31106	9,1	0,0448	0,2013	40677	12,8
75	0,0708	0,3006	25262	9,5	0,0691	0,2947	18469	8,7	0,0723	0,3062	32490	10,4
80	0,1042	0,4132	17668	7,5	0,1458	0,5343	13026	6,2	0,0681	0,2908	22543	8,8
85	0,1076	0,4239	10367	6,0	0,1074	0,4234	6066	5,5	0,1078	0,4244	15987	6,4
90	0,2333	0,7367	5972	3,5	0,3456	0,9271	3498	2,8	0,1526	0,5524	9201	4,3
95	0,5985	1,1988	1572	1,5	0,6400	1,2308	255	1,3	0,5736	1,1783	4119	1,6
100	0,3693	1,0000		2,7	0,3504	1,0000		2,9	0,3838	1,0000		2,6

**Annexe 1.25 : Table de mortalité de la région du Gboklè**

x	Sexes confondus				Sexe masculin				Sexe féminin			
	nMx	nqx	lx	ex	nMx	nqx	lx	ex	nMx	nqx	lx	ex
0	0,0563	0,0539	100000	63,1	0,0645	0,0615	100000	61,3	0,0455	0,0439	100000	65,3
1	0,0072	0,0284	94611	65,6	0,0079	0,0308	93855	64,3	0,0065	0,0257	95609	67,3
5	0,0023	0,0116	91929	63,5	0,0025	0,0122	90963	62,3	0,0022	0,0109	93153	65,1
10	0,0020	0,0098	90865	59,2	0,0023	0,0114	89851	58,0	0,0016	0,0080	92141	60,8
15	0,0027	0,0134	89973	54,8	0,0030	0,0147	88827	53,6	0,0024	0,0117	91408	56,2
20	0,0031	0,0155	88766	50,5	0,0040	0,0196	87519	49,4	0,0022	0,0109	90337	51,9
25	0,0042	0,0209	87388	46,2	0,0052	0,0259	85807	45,3	0,0032	0,0160	89356	47,4
30	0,0037	0,0185	85559	42,2	0,0045	0,0225	83585	41,5	0,0029	0,0144	87925	43,1
35	0,0050	0,0245	83980	37,9	0,0053	0,0264	81706	37,4	0,0045	0,0222	86657	38,7
40	0,0041	0,0204	81924	33,8	0,0045	0,0222	79551	33,3	0,0036	0,0177	84733	34,6
45	0,0075	0,0370	80256	29,5	0,0073	0,0358	77783	29,0	0,0080	0,0391	83234	30,1
50	0,0099	0,0484	77284	25,5	0,0112	0,0543	75001	25,0	0,0078	0,0381	79984	26,3
55	0,0136	0,0656	73546	21,7	0,0131	0,0636	70928	21,3	0,0143	0,0692	76933	22,2
60	0,0214	0,1016	68724	18,0	0,0236	0,1115	66418	17,6	0,0173	0,0827	71610	18,7
65	0,0281	0,1314	61742	14,8	0,0249	0,1171	59015	14,5	0,0349	0,1603	65687	15,1
70	0,0420	0,1902	53627	11,6	0,0460	0,2061	52104	11,1	0,0353	0,1623	55155	12,5

x	Sexes confondus				Sexe masculin				Sexe féminin			
	nMx	nqx	lx	ex	nMx	nqx	lx	ex	nMx	nqx	lx	ex
75	0,0756	0,3181	43425	8,8	0,0879	0,3603	41364	8,3	0,0572	0,2504	46201	9,5
80	0,0774	0,3244	29613	6,7	0,0639	0,2753	26459	6,5	0,0960	0,3870	34634	6,8
85	0,2428	0,7555	20008	3,7	0,3208	0,8901	19174	3,0	0,1700	0,5964	21230	4,5
90	0,3382	0,9163	4892	2,5	0,4010	1,0013	2108	2,5	0,2755	0,8157	8568	2,5
95	4,2887	1,8294	409	2,0	6,2197	1,8791	2	2,0	2,5640	1,7301	1579	2,0
100	0,3014	1,0000		3,3	0,3337	1,0000		3,0	0,2504	1,0000		4,0

**Annexe 1.26 : Table de mortalité de la région du Grands-Ponts**

x	Sexes confondus				Sexe masculin				Sexe féminin			
	nMx	nqx	lx	ex	nMx	nqx	lx	ex	nMx	nqx	lx	ex
0	0,0560	0,0536	100000	61,8	0,0301	0,0293	100000	66,5	0,0442	0,0426	100000	63,9
1	0,0056	0,0222	94637	64,3	0,0053	0,0210	97068	67,5	0,0055	0,0216	95737	65,8
5	0,0019	0,0093	92536	61,7	0,0017	0,0083	95027	64,9	0,0018	0,0088	93666	63,2
10	0,0020	0,0097	91677	57,3	0,0009	0,0045	94243	60,4	0,0015	0,0073	92843	58,7
15	0,0027	0,0136	90785	52,8	0,0019	0,0095	93814	55,7	0,0023	0,0117	92169	54,1
20	0,0033	0,0165	89554	48,5	0,0020	0,0101	92925	51,2	0,0027	0,0135	91094	49,7
25	0,0048	0,0236	88075	44,3	0,0047	0,0232	91986	46,7	0,0047	0,0234	89868	45,4
30	0,0040	0,0200	85998	40,3	0,0039	0,0191	89850	42,7	0,0039	0,0195	87765	41,4
35	0,0060	0,0296	84280	36,1	0,0048	0,0236	88132	38,5	0,0054	0,0266	86049	37,2
40	0,0077	0,0378	81789	32,1	0,0057	0,0279	86056	34,4	0,0068	0,0335	83757	33,1
45	0,0102	0,0499	78694	28,3	0,0074	0,0364	83655	30,3	0,0090	0,0441	80949	29,2
50	0,0116	0,0561	74766	24,6	0,0133	0,0643	80612	26,3	0,0123	0,0597	77383	25,4
55	0,0166	0,0799	70568	20,9	0,0124	0,0603	75427	23,0	0,0147	0,0709	72761	21,9
60	0,0216	0,1024	64929	17,5	0,0199	0,0947	70881	19,3	0,0208	0,0989	67603	18,4
65	0,0348	0,1602	58280	14,2	0,0222	0,1054	64167	16,1	0,0290	0,1354	60919	15,1
70	0,0428	0,1933	48942	11,5	0,0527	0,2327	57404	12,7	0,0476	0,2128	52672	12,1
75	0,0779	0,3262	39482	8,6	0,0507	0,2252	44047	10,7	0,0640	0,2757	41464	9,7
80	0,1173	0,4535	26604	6,6	0,0863	0,3550	34129	8,1	0,1001	0,4004	30033	7,4
85	0,1496	0,5445	14540	5,0	0,1345	0,5031	22013	6,2	0,1401	0,5188	18009	5,7
90	0,3205	0,8897	6623	3,0	0,1237	0,4723	10937	5,0	0,1905	0,6453	8666	4,1
95	0,5116	1,1224	730	2,0	0,4469	1,0554	5771	2,2	0,4717	1,0822	3074	2,1
100	0,6649	1,0000		1,5	0,3335	1,0000		3,0	0,4584	1,0000		2,2

**Annexe 1.27 : Table de mortalité de la région du Guémon**

x	Sexes confondus				Sexe masculin				Sexe féminin			
	nMx	nqx	lx	ex	nMx	nqx	lx	ex	nMx	nqx	lx	ex
0	0,0426	0,0411	100000	52,4	0,0498	0,0478	100000	51,2	0,0329	0,0320	100000	53,9
1	0,0115	0,0446	95889	53,6	0,0120	0,0467	95215	52,8	0,0109	0,0424	96798	54,7
5	0,0029	0,0144	91610	52,1	0,0031	0,0155	90773	51,3	0,0027	0,0132	92694	53,0
10	0,0033	0,0164	90288	47,8	0,0034	0,0170	89364	47,0	0,0032	0,0157	91471	48,7
15	0,0041	0,0201	88808	43,5	0,0042	0,0206	87847	42,8	0,0039	0,0195	90036	44,4
20	0,0065	0,0320	87022	39,4	0,0074	0,0362	86041	38,7	0,0055	0,0272	88278	40,3
25	0,0121	0,0587	84241	35,6	0,0142	0,0686	82925	35,0	0,0101	0,0491	85877	36,3

x	Sexes confondus				Sexe masculin				Sexe féminin			
	nMx	nqx	lx	ex	nMx	nqx	lx	ex	nMx	nqx	lx	ex
30	0,0076	0,0372	79296	32,7	0,0076	0,0373	77232	32,4	0,0076	0,0371	81658	33,1
35	0,0106	0,0518	76349	28,8	0,0112	0,0543	74355	28,6	0,0100	0,0489	78632	29,2
40	0,0117	0,0568	72392	25,3	0,0102	0,0497	70318	25,1	0,0138	0,0667	74784	25,6
45	0,0172	0,0823	68281	21,7	0,0165	0,0793	66822	21,2	0,0183	0,0874	69793	22,3
50	0,0261	0,1225	62662	18,4	0,0261	0,1224	61525	17,9	0,0261	0,1227	63692	19,2
55	0,0351	0,1614	54987	15,6	0,0381	0,1739	53995	15,0	0,0306	0,1420	55878	16,5
60	0,0434	0,1959	46113	13,1	0,0402	0,1828	44606	12,6	0,0482	0,2152	47946	13,8
65	0,0514	0,2278	37080	10,7	0,0528	0,2334	36454	9,9	0,0493	0,2196	37627	11,9
70	0,0850	0,3507	28635	8,1	0,0957	0,3861	27947	7,1	0,0737	0,3111	29362	9,6
75	0,1247	0,4753	18593	6,1	0,1597	0,5705	17156	5,1	0,0886	0,3626	20228	7,7
80	0,2040	0,6756	9755	4,4	0,2728	0,8109	7368	3,5	0,1446	0,5310	12894	5,7
85	0,2884	0,8378	3165	3,3	0,3939	0,9923	1393	2,5	0,1941	0,6533	6047	4,4
90	0,3238	0,8946	513	2,6	0,4395	1,0470	11	2,5	0,2427	0,7553	2096	2,9
95	2,6638	1,7389	54	2,0	3,3650	1,7875	0	2,0	2,1202	1,6826	513	2,0
100	0,4127	1,0000		2,4	0,3637	1,0000		2,7	0,4571	1,0000		2,2

**Annexe 1.28 :** Table de mortalité de la région du Hambo

x	Sexes confondus				Sexe masculin				Sexe féminin			
	nMx	nqx	lx	ex	nMx	nqx	lx	ex	nMx	nqx	lx	ex
0	0,1125	0,1048	100000	58,4	0,1207	0,1116	100000	55,6	0,1016	0,0952	100000	62,1
1	0,0112	0,0434	89525	64,2	0,0126	0,0488	88835	61,5	0,0096	0,0375	90482	67,6
5	0,0028	0,0137	85642	63,1	0,0031	0,0156	84496	60,6	0,0024	0,0117	87093	66,2
10	0,0021	0,0104	84468	58,9	0,0024	0,0120	83182	56,5	0,0017	0,0085	86071	61,9
15	0,0025	0,0124	83592	54,5	0,0025	0,0125	82184	52,2	0,0025	0,0123	85337	57,4
20	0,0031	0,0152	82555	50,2	0,0036	0,0177	81158	47,8	0,0025	0,0125	84288	53,1
25	0,0042	0,0210	81301	45,9	0,0054	0,0268	79726	43,6	0,0030	0,0150	83231	48,8
30	0,0047	0,0233	79592	41,8	0,0051	0,0250	77585	39,8	0,0043	0,0215	81979	44,5
35	0,0046	0,0228	77741	37,8	0,0045	0,0223	75647	35,7	0,0048	0,0235	80218	40,4
40	0,0078	0,0382	75964	33,6	0,0081	0,0397	73963	31,5	0,0074	0,0363	78330	36,3
45	0,0079	0,0388	73066	29,8	0,0096	0,0471	71029	27,7	0,0058	0,0284	75488	32,6
50	0,0146	0,0706	70233	25,9	0,0177	0,0849	67685	23,9	0,0112	0,0545	73347	28,5
55	0,0163	0,0784	65272	22,7	0,0204	0,0972	61937	20,9	0,0118	0,0575	69352	25,0
60	0,0242	0,1140	60157	19,4	0,0253	0,1190	55916	17,9	0,0230	0,1088	65364	21,3
65	0,0250	0,1176	53299	16,6	0,0277	0,1297	49263	15,0	0,0223	0,1055	58253	18,6
70	0,0344	0,1584	47032	13,5	0,0419	0,1895	42875	11,8	0,0278	0,1299	52109	15,5
75	0,0464	0,2080	39580	10,6	0,0639	0,2757	34752	9,0	0,0307	0,1427	45341	12,5
80	0,0969	0,3902	31346	7,7	0,1127	0,4395	25173	6,5	0,0848	0,3500	38870	9,1
85	0,1343	0,5027	19116	6,0	0,1918	0,6482	14109	4,6	0,0977	0,3926	25266	7,7
90	0,1418	0,5234	9507	4,6	0,2019	0,6708	4964	3,6	0,1064	0,4201	15347	6,1
95	0,4767	1,0874	4530	1,9	0,7233	1,2878	1634	0,8	0,2964	0,8513	8900	3,7
100	0,2309	1,0000		4,3	0,3083	1,0000		3,2	0,1771	1,0000	1323	5,6

**Annexe 1.29 : Table de mortalité de la région de La Mé**

x	Sexes confondus				Sexe masculin				Sexe féminin			
	nMx	nqx	lx	ex	nMx	nqx	lx	ex	nMx	nqx	lx	ex
0	0,0262	0,0256	100000	68,4	0,0285	0,0278	100000	66,1	0,0232	0,0228	100000	71,3
1	0,0049	0,0194	97437	69,2	0,0052	0,0205	97224	67,0	0,0046	0,0182	97723	72,0
5	0,0014	0,0072	95546	66,6	0,0016	0,0081	95235	64,3	0,0012	0,0061	95941	69,3
10	0,0011	0,0052	94863	62,0	0,0012	0,0057	94464	59,8	0,0009	0,0047	95353	64,7
15	0,0018	0,0090	94366	57,3	0,0018	0,0092	93921	55,2	0,0018	0,0088	94908	60,0
20	0,0023	0,0112	93516	52,8	0,0025	0,0126	93060	50,6	0,0019	0,0096	94071	55,5
25	0,0038	0,0188	92467	48,4	0,0043	0,0215	91890	46,3	0,0032	0,0160	93163	51,0
30	0,0037	0,0184	90727	44,3	0,0040	0,0198	89914	42,2	0,0034	0,0169	91677	46,8
35	0,0046	0,0227	89060	40,1	0,0046	0,0226	88131	38,0	0,0046	0,0228	90130	42,6
40	0,0060	0,0294	87038	35,9	0,0060	0,0295	86137	33,8	0,0059	0,0293	88076	38,5
45	0,0066	0,0327	84478	31,9	0,0068	0,0335	83594	29,8	0,0064	0,0317	85498	34,6
50	0,0111	0,0541	81717	27,9	0,0116	0,0562	80793	25,7	0,0106	0,0517	82788	30,6
55	0,0143	0,0691	77295	24,4	0,0191	0,0911	76251	22,1	0,0095	0,0465	78509	27,2
60	0,0175	0,0838	71953	21,0	0,0202	0,0960	69303	19,1	0,0147	0,0708	74858	23,4
65	0,0203	0,0965	65920	17,7	0,0229	0,1085	62648	15,9	0,0174	0,0832	69561	20,0
70	0,0342	0,1573	59559	14,3	0,0439	0,1979	55850	12,5	0,0240	0,1131	63776	16,6
75	0,0533	0,2352	50188	11,6	0,0721	0,3055	44798	9,9	0,0363	0,1664	56560	13,3
80	0,0788	0,3291	38385	9,3	0,0994	0,3980	31114	8,2	0,0650	0,2795	47149	10,5
85	0,1046	0,4146	25752	7,7	0,1082	0,4259	18731	7,0	0,1017	0,4055	33969	8,6
90	0,1019	0,4060	15076	6,4	0,1021	0,4066	10754	5,3	0,1018	0,4056	20195	7,8
95	0,2717	0,8089	8955	4,0	0,4294	1,0354	6381	2,3	0,1618	0,5759	12004	6,4
100	0,1811	1,0000	1711	5,5	0,2287	1,0000		4,4	0,1489	1,0000	5091	6,7

**Annexe 1.30 : Table de mortalité de la région de l'Iffou**

x	Sexes confondus				Sexe masculin				Sexe féminin			
	nMx	nqx	lx	ex	nMx	nqx	lx	ex	nMx	nqx	lx	ex
0	0,0416	0,0402	100000	61,6	0,0470	0,0453	100000	58,3	0,0350	0,0340	100000	65,6
1	0,0094	0,0366	95980	63,2	0,0094	0,0367	95475	60,0	0,0093	0,0365	96596	66,9
5	0,0022	0,0110	92463	61,6	0,0024	0,0120	91967	58,2	0,0020	0,0100	93068	65,4
10	0,0013	0,0064	91447	57,2	0,0012	0,0062	90868	53,9	0,0013	0,0066	92141	61,0
15	0,0023	0,0115	90865	52,6	0,0027	0,0132	90308	49,2	0,0019	0,0094	91532	56,4
20	0,0033	0,0163	89817	48,2	0,0044	0,0219	89117	44,9	0,0020	0,0099	90669	51,9
25	0,0058	0,0286	88352	43,9	0,0071	0,0349	87162	40,8	0,0045	0,0220	89767	47,4
30	0,0060	0,0294	85828	40,1	0,0072	0,0352	84123	37,2	0,0048	0,0235	87789	43,4
35	0,0070	0,0344	83308	36,3	0,0078	0,0384	81159	33,5	0,0061	0,0300	85726	39,4
40	0,0098	0,0479	80441	32,5	0,0092	0,0452	78042	29,7	0,0105	0,0511	83152	35,6
45	0,0108	0,0524	76588	29,0	0,0125	0,0608	74517	26,0	0,0087	0,0426	78906	32,3
50	0,0164	0,0789	72575	25,4	0,0204	0,0970	69986	22,5	0,0125	0,0607	75547	28,7
55	0,0154	0,0743	66850	22,4	0,0173	0,0830	63199	19,7	0,0138	0,0666	70960	25,4
60	0,0255	0,1200	61881	19,0	0,0331	0,1528	57952	16,2	0,0193	0,0920	66235	22,0
65	0,0237	0,1119	54457	16,3	0,0305	0,1416	49100	13,7	0,0176	0,0845	60139	19,0

x	Sexes confondus				Sexe masculin				Sexe féminin			
	nMx	nqx	lx	ex	nMx	nqx	lx	ex	nMx	nqx	lx	ex
70	0,0441	0,1987	48364	13,0	0,0650	0,2795	42148	10,5	0,0295	0,1373	55057	15,5
75	0,0391	0,1783	38753	10,6	0,0607	0,2636	30368	8,6	0,0260	0,1221	47500	12,6
80	0,0897	0,3662	31845	7,3	0,1293	0,4885	22363	5,8	0,0647	0,2785	41700	9,0
85	0,1558	0,5605	20184	5,2	0,2189	0,7073	11439	4,0	0,1121	0,4377	30085	6,5
90	0,2008	0,6684	8870	3,5	0,3064	0,8675	3348	2,8	0,1441	0,5296	16916	4,5
95	0,8940	1,3818	2941	1,7	1,6772	1,6149	444	1,0	0,5225	1,1328	7958	1,8
100	0,4107	1,0000		2,4	0,4305	1,0000		2,3	0,3977	1,0000		2,5

**Annexe 1.31 :** Table de mortalité de la région de la Nawa

x	Sexes confondus				Sexe masculin				Sexe féminin			
	nMx	nqx	lx	ex	nMx	nqx	lx	ex	nMx	nqx	lx	ex
0	0,0571	0,0546	100000	62,8	0,0622	0,0593	100000	61,2	0,0503	0,0483	100000	65,2
1	0,0076	0,0297	94536	65,5	0,0080	0,0315	94073	64,0	0,0070	0,0277	95170	67,6
5	0,0022	0,0107	91732	63,4	0,0026	0,0127	91109	62,1	0,0017	0,0086	92538	65,4
10	0,0015	0,0076	90749	59,1	0,0018	0,0088	89953	57,8	0,0012	0,0062	91744	61,0
15	0,0020	0,0101	90062	54,5	0,0021	0,0105	89158	53,3	0,0019	0,0097	91180	56,3
20	0,0027	0,0132	89149	50,0	0,0034	0,0169	88221	48,9	0,0018	0,0091	90297	51,9
25	0,0037	0,0186	87975	45,7	0,0045	0,0221	86733	44,7	0,0030	0,0151	89476	47,3
30	0,0035	0,0175	86342	41,5	0,0036	0,0180	84820	40,6	0,0034	0,0170	88125	43,0
35	0,0044	0,0216	84833	37,2	0,0051	0,0252	83296	36,3	0,0036	0,0176	86629	38,7
40	0,0058	0,0286	82997	33,0	0,0060	0,0294	81196	32,2	0,0056	0,0275	85100	34,4
45	0,0079	0,0385	80624	28,9	0,0077	0,0380	78808	28,1	0,0080	0,0393	82759	30,3
50	0,0113	0,0547	77521	24,9	0,0125	0,0604	75816	24,1	0,0096	0,0468	79510	26,4
55	0,0147	0,0711	73279	21,2	0,0163	0,0783	71236	20,5	0,0124	0,0599	75792	22,6
60	0,0235	0,1110	68070	17,6	0,0244	0,1148	65656	17,0	0,0220	0,1042	71249	18,8
65	0,0283	0,1323	60517	14,5	0,0305	0,1419	58119	13,9	0,0238	0,1123	63825	15,7
70	0,0494	0,2198	52513	11,4	0,0544	0,2394	49873	10,8	0,0401	0,1822	56659	12,4
75	0,0639	0,2757	40970	8,9	0,0700	0,2980	37932	8,4	0,0535	0,2361	46335	9,6
80	0,1202	0,4623	29676	6,3	0,1372	0,5108	26629	5,9	0,0955	0,3855	35394	6,8
85	0,1811	0,6234	15958	4,5	0,1791	0,6185	13026	4,5	0,1840	0,6302	21751	4,5
90	0,2830	0,8286	6010	2,9	0,2829	0,8286	4969	2,8	0,2830	0,8287	8042	3,0
95	1,1648	1,4888	1030	1,0	1,6199	1,6039	852	1,0	0,7299	1,2920	1378	0,6
100	0,2855	1,0000		3,5	0,3316	1,0000		3,0	0,2394	1,0000		4,2

**Annexe 1.32 :** Table de mortalité de la région du Tchologo

x	Sexes confondus				Sexe masculin				Sexe féminin			
	nMx	nqx	lx	ex	nMx	nqx	lx	ex	nMx	nqx	lx	ex
0	0,1128	0,1048	100000	55,9	0,1200	0,1113	100000	61,0	0,1166	0,1083	100000	58,1
1	0,0106	0,0412	89516	61,4	0,0094	0,0368	88872	67,6	0,0100	0,0391	89174	64,1
5	0,0032	0,0160	85826	60,0	0,0026	0,0130	85597	66,1	0,0029	0,0146	85686	62,7
10	0,0026	0,0127	84454	55,9	0,0014	0,0068	84482	62,0	0,0020	0,0099	84439	58,6
15	0,0030	0,0147	83382	51,6	0,0019	0,0094	83905	57,4	0,0024	0,0121	83601	54,1
20	0,0031	0,0153	82159	47,3	0,0023	0,0113	83120	52,9	0,0027	0,0133	82585	49,8

x	Sexes confondus				Sexe masculin				Sexe féminin			
	nMx	nqx	lx	ex	nMx	nqx	lx	ex	nMx	nqx	lx	ex
25	0,0051	0,0250	80906	43,0	0,0040	0,0197	82177	48,5	0,0045	0,0222	81488	45,4
30	0,0047	0,0233	78885	39,1	0,0037	0,0185	80557	44,4	0,0042	0,0208	79679	41,4
35	0,0061	0,0299	77045	34,9	0,0052	0,0258	79064	40,2	0,0057	0,0279	78019	37,2
40	0,0069	0,0338	74742	30,9	0,0059	0,0291	77022	36,2	0,0064	0,0316	75844	33,2
45	0,0106	0,0517	72217	26,9	0,0068	0,0335	74778	32,2	0,0089	0,0435	73446	29,2
50	0,0168	0,0804	68480	23,3	0,0103	0,0503	72275	28,3	0,0137	0,0664	70249	25,4
55	0,0204	0,0970	62974	20,1	0,0116	0,0562	68642	24,6	0,0163	0,0781	65585	22,1
60	0,0270	0,1265	56863	17,0	0,0173	0,0831	64782	20,9	0,0222	0,1054	60461	18,7
65	0,0375	0,1716	49671	14,1	0,0255	0,1198	59400	17,6	0,0317	0,1468	54090	15,6
70	0,0590	0,2571	41148	11,5	0,0363	0,1664	52286	14,7	0,0477	0,2131	46147	12,9
75	0,0678	0,2900	30571	9,6	0,0444	0,1997	43586	12,1	0,0562	0,2465	36314	10,7
80	0,0961	0,3874	21705	7,5	0,0642	0,2767	34883	9,5	0,0784	0,3277	27364	8,4
85	0,1371	0,5104	13297	5,6	0,1212	0,4649	25232	7,1	0,1291	0,4879	18398	6,3
90	0,1385	0,5145	6510	3,8	0,0699	0,2973	13501	6,2	0,1002	0,4007	9422	4,9
95	0,7686	1,3154	3161	0,2	0,3757	0,9686	9486	2,7	0,5299	1,1397	5647	1,4
100	0,2157	1,0000		4,6	0,1830	1,0000	298	5,5	0,1988	1,0000		5,0

**Annexe 1.33 : Table de mortalité de la région du Moronou**

x	Sexes confondus				Sexe masculin				Sexe féminin			
	nMx	nqx	lx	ex	nMx	nqx	lx	ex	nMx	nqx	lx	ex
0	0,0353	0,0343	100000	66,6	0,0347	0,0337	100000	64,7	0,0356	0,0345	100000	68,7
1	0,0068	0,0268	96575	67,9	0,0067	0,0264	96628	66,0	0,0069	0,0273	96546	70,1
5	0,0013	0,0066	93982	65,7	0,0013	0,0062	94076	63,7	0,0014	0,0069	93909	68,1
10	0,0015	0,0072	93365	61,2	0,0016	0,0082	93488	59,1	0,0012	0,0061	93258	63,5
15	0,0023	0,0112	92689	56,6	0,0024	0,0118	92723	54,6	0,0021	0,0104	92690	58,9
20	0,0022	0,0110	91651	52,2	0,0027	0,0134	91630	50,2	0,0016	0,0078	91722	54,5
25	0,0039	0,0191	90645	47,8	0,0040	0,0200	90398	45,8	0,0036	0,0181	91005	49,9
30	0,0037	0,0182	88911	43,6	0,0034	0,0169	88587	41,7	0,0040	0,0198	89360	45,8
35	0,0051	0,0250	87290	39,4	0,0050	0,0247	87094	37,4	0,0051	0,0252	87591	41,6
40	0,0052	0,0256	85112	35,3	0,0052	0,0255	84942	33,3	0,0052	0,0259	85379	37,7
45	0,0090	0,0441	82929	31,2	0,0093	0,0454	82779	29,1	0,0087	0,0424	83169	33,6
50	0,0128	0,0620	79273	27,5	0,0151	0,0727	79022	25,4	0,0103	0,0502	79645	30,0
55	0,0155	0,0747	74354	24,2	0,0183	0,0873	73278	22,1	0,0129	0,0623	75647	26,4
60	0,0171	0,0818	68797	20,9	0,0202	0,0960	66879	19,0	0,0142	0,0687	70934	23,0
65	0,0267	0,1251	63167	17,6	0,0269	0,1260	60461	15,8	0,0265	0,1242	66059	19,5
70	0,0307	0,1427	55266	14,7	0,0356	0,1633	52846	12,7	0,0264	0,1240	57856	16,9
75	0,0417	0,1888	47380	11,8	0,0601	0,2613	44214	9,7	0,0275	0,1289	50684	14,0
80	0,0616	0,2669	38436	8,9	0,0878	0,3600	32660	7,2	0,0452	0,2031	44153	10,7
85	0,1196	0,4603	28178	6,3	0,1826	0,6269	20902	4,9	0,0773	0,3241	35186	7,8
90	0,1200	0,4615	15208	4,5	0,1198	0,4609	7798	3,9	0,1201	0,4618	23783	5,3
95	0,5695	1,1748	8190	1,2	0,9235	1,3955	4204	0,1	0,3865	0,9828	12800	2,7
100	0,2008	1,0000	1432	5,0	0,2887	1,0000	1663	3,5	0,1417	1,0000	221	7,1

Annexe 2 : Indicateurs de la mortalité maternelle.

<b>Region administrative</b>	<b>TMM (%)</b>	<b>RMMG (pour 100 000)</b>
District Autonome d'Abidjan	0,38	272,7
Haut-Sassandra	1,04	623,2
Poro	0,68	351,9
Gbèkè	0,74	382,6
Indenie-Djuablin	0,63	355,7
Tonkpi	2,23	897,1
District Autonome De Yamoussoukro	0,70	430,6
Gontougo	1,09	567,1
San-Pedro	0,67	353,2
Kabadougou	1,39	659,8
N'Zi	0,93	352,2
Marahoué	1,00	544,6
Sud-Comoe	0,58	362,5
Worodougou	1,09	426,8
Loh-Djiboua	0,72	365,1
Agneby-Tiassa	1,11	593,3
Goh	0,64	300,0
Cavally	1,40	636,5
Bafing	1,56	732,9
Bagoué	1,04	515,6
Belier	1,18	464,8
Bere	1,15	471,7
Bounkani	1,21	554,0
Folon	1,07	494,9
Gboklé	0,81	404,6
Grands-Ponts	0,69	349,7
Guemon	2,15	1147,8
Hambol	0,57	285,8
La Me	0,68	486,2
Iffou	0,83	338,5
Nawa	0,69	366,8
Tchologo	0,74	408,0
Moronou	0,54	312,9
Abidjan Ville	0,39	284,8
Autres Villes	0,65	391,4
Urbain	0,54	354,1
Rural	1,23	556,4
<b>Côte D'Ivoire</b>	<b>0,76</b>	<b>460,2</b>



Siège social : Abidjan, Cocody, Riviera Bonoumin  
lot 1883, ilot 84774

Adresse postale : 01 BP V 55 Abidjan 01  
Téléphone : 27 22 59 96 10

E-mail : [statistiques@stat.plan.gouv.ci](mailto:statistiques@stat.plan.gouv.ci).